

**YILDIZ TEKNİK ÜNİVERSİTESİ
FEN BİLİMLERİ ENSTİTÜSÜ**

128802

**BİR CAM FABRİKASINDAKİ ENERJİ TÜKETİMİNİN
BİLGİSAYAR DESTEKLİ SİMÜLASYONU VE
OPTİMİZASYONU**

Endüstri Yük. Müh. Barbaros BATUR

**F.B.E Makina Mühendisliği Anabilim Dalı İşi Proses Programında
Hazırlanan**

DOKTORA TEZİ

Tez Savunma Tarihi : 13/02/2002

Tez Danışmanı : Prof. Dr. Eralp ÖZİL

Üye : Prof. Dr. Doğan ÖZGÜR (YTÜ)

Üye : Prof. Dr. Mahir Arikol (BÜ)

İSTANBUL, 2002

**TEC TÜRKİYE KİTAPLARI
BİLGİSAYARLA OPTİMİZASYON
DESTEKLİ SİMÜLASYON
PROSES PROGRAMI**

128802

	Sayfa
İÇİNDEKİLER	
İÇİNDEKİLER.....	ii
SİMGE LİSTESİ.....	v
KISALTMA LİSTESİ	vi
ŞEKİL LİSTESİ	vii
ÇİZELGE LİSTESİ	viii
ÖNSÖZ.....	x
ÖZET	xi
ABSTRACT.....	xii
1. GİRİŞ	1
2. CAM OLUŞUMU VEYAPISI	2
2.1 Camın Tarihçesi	2
2.2 Camı Özellikleri.....	4
2.3 Cam Üretimi	5
2.4 Cam Çeşitleri	7
2.4.1 Bileşim ve Özelliklerine Göre	7
2.4.2 Üretim Şekline ve Yapılarına Göre	10
2.5 Hammaddeler	11
2.5.1 Hammaddelerin Sınıflandırılması.....	11
2.5.2 Kullanılan Belli Başlı Hammaddeler	12
2.5.3 Cam Rengine Etki Eden Faktörler	14
2.5.4 Hammaddelerin Taşınması ve Depolanması.....	14
3. CAM ELDESİ PROSESİ	15
3.1 Harman Besleme.....	17
3.2 Harmanın Ergiltilmesi.....	18
3.3 Camın Afinasyonu	18
3.4 Camın Şartlandırılması	20
3.5 Yanma	20
3.6 Bekler	22
3.7 Reflektör Malzemeleri	23
4. FIRINLAR	25
4.1 Yapılarına Göre Fırın Tipleri	25
4.1.1 Karşı Yanmalı, Çok Geçişli Rejeneratif Fırınlar	29
4.2 Cam Fırınlarının Bölümleri.....	43

4.2.1	Havuzlar (tanklar)	43
4.2.2	Besleme Ağızları (doghouse)	46
4.2.3	Portlar	46
4.2.4	Baca Kanalları	46
4.2.5	Boğazlar (throat)	47
4.2.6	Camla Teması Olan Diğer Bölümler	47
4.2.7	Fırın Üst Yapısı, Yan ve Arka Duvarları	48
4.2.8	Fırın Destek Yapısı	48
4.2.9	Fırının Genel Çelik Yapısı	48
4.2.10	Cam Seviyesi Hattının Soğutulması	48
4.2.11	Eski Fırın Yapıları	48
5.	CAM SANAYİNDE ENERJİ KULLANIMI	50
5.1	Literatürde Cam Sanayinde Enerji Dağılımı	50
5.2	Dünyada Cam Sanayi ve Enerji	54
5.2.1	Belçika' da Cam Sanayinin Enerji Dağılımı	54
5.2.2	Britanya' da Cam Sanayinin Enerji Dağılımı	56
5.3	Cam Ergitme Fırınlarının Performansları	58
6.	TRAKYA CAM FABRİKASI' NDA İSİL ENERJİ TÜKETİMİNDE MEVCUT DURUM	75
6.1	Giriş	75
6.2	Kojenerasyon Sistemi ve Buhar Üretim ve Tüketimi	76
6.3	Cam Ergitme Fırının ve Banyo	77
6.4	Otoklav	79
6.5	Hidrojen Eldesi Prosesi	81
6.6	Azot Eldesi Prosesi	82
7.	.BİLGİSAYAR PROGRAMININ TANITIMI	85
7.1	Giriş	85
7.2	Ergitme Fırını Modülü	85
7.3	Otoklav Modülü	93
7.4	Hidrojen Eldesi Modülü	95
8.	DEĞERLENDİRME VE SONUÇLAR	100
8.1	Sonuçların ve Değerlendirmenin Tartışılması	100
8.2	Cam Ergitme Fırının Sonuçları	100
8.3	Otoklav Sonuçları	105
8.4	Hidrojen Üretim Sonuçları	108
8.5	Bir Cam Fabrikasında Isıl Enerji Tüketimini Azaltıcı ve Enerji Verimliliğini Arttırıcı Önlemler	109
KAYNAKLAR	114	
EKLER	116	

Ek 1	Britanya' da Enerji Bakanlığının Cam Ergitme Fırınlarında Enerji Tasarrufu Amacı İle Aldığı Bazı Önlemler.....	117
Ek 2	Cam Ergitme Fırınındaki Oluşum Entalpileri ve Diğer Termofiziksel Bilgi.....	118
Ek 3	Cam Ergitme Fırının Tam Kapasitede Çalışması Durumunda Bilgisayar Programı Çıktıları.....	119
Ek 4	Cam Ergitme Fırının Yarım Kapasitede Çalışması Durumunda Bilgisayar Programı Çıktıları.....	128
Ek 5	Cam Ergitme Fırının Boşta Çalışma (Stand-by) Durumunda Bilgisayar Programı Çıktıları.....	137
Ek 6	2000 ve 2001 Yıllarına Ait Bazı Ayların Üretim Rakamları.....	146
Ek 7	Cam Ergitme Fırının Boyutları.....	155
ÖZGEÇMİŞ.....		156

SİMGE LİSTESİ

A	yüzey alanı, m^2
d	Çap, m
h_r	Işinim ile ısı geçiş katsayısı, kcal/ $m^2 h ^\circ C$
h_t	Taşınım ısı geçiş katsayısı, kcal/ $m^2 h ^\circ C$
K	Havanın ısı iletim katsayısı, $kJ/m^2 h^\circ C$
T_{cam}	Cam sıcaklığı, K
$T_{iç}$	İç yüzey sıcaklığı, K
T_{ortam}	Ortam sıcaklığı, K
$T_{yüzey}$	Yüzey sıcaklığı, K
Q	Toplam ısı
Q'	İzalasyonlu durumda
Q_A	Ön ısıtılmış havanın enerjisi
Q_{A0}	Isı geri kazanım sistemine giren enerji
Q_F	Yakit enerjisi
Q_G	Cama geçen enerji
Q_L	Isı geri dönüş sistemi yapısından ortama geçen enerji
Q_R	Fırın yapısından çevreye yitirilen enerji
$Q_{r1_firinyuze}$	Fırın yüzeyinden yitirilen radyasyon enerjisi
$Q_{r1_aralıklar,kapaklar}$	Fırın yüzeyindeki aralık ve kapaklardan yitirilen radyasyon enerjisi
Q_w	Baca gazından atmosfere atılan enerji
Q_{w0}	Sistemden atık gazla atılan enerji
Q_r	Işinim (radyasyon) ile olan ısı kaybı, kcal/h
v	Hız, m/s
ϵ	Fırın verimi
ρ	Isı geri dönüşüm etkenliği
σ	Ön ısıtma oranı

KISALTMA LİSTESİ

- AZS Alüminazirkonyasilik
LPG Sıvılaştırılmış petrol gazı
OEC Oksijenle zengileştirilmiş yanma (oxygen-enriched combustion)
PVB Polivinilbütilaldehit

ŞEKİL LİSTESİ

	Sayfa
Şekil 3.1 Tipik bir sürekli firmanın enine kesiti.....	16
Şekil 4.1 Tipik rejeneratör düzenlemeleri.....	30
Şekil 4.2 Yanma havası ön ısıtmasının yakıt tüketimine etkisi.....	33
Şekil 4.3 SEPR programı kullanarak bulunan ön ısıtma sıcaklığı.....	35
Şekil 4.4 Değişik rejeneratör paketlerinin fiyat verimlerinin karşılaştırılması.	37
Şekil 4.5 Kanal inversiyonu.....	47
Şekil 5.1 Fırın sisteminde enerji akış diyagramı.....	59
Şekil 5.2 Fırın sisteminde Sankey diyagramı.....	60
Şekil 5.3 Fırın tiplerine göre spesifik enerji tüketimi.....	62
Şekil 5.4 Fırın performansları için limit faktörlerinin adım adım Uygulanması.....	66
Şekil 5.5 Beş ayrı baca gazı sıcaklığı için geri dönüşüm etkenliği.....	71
Şekil 5.6 Sürekli tank fırınında yükleme test sonuçları I.....	72
Şekil 5.7 Sürekli tank fırınında yükleme test sonuçları II.....	73
Şekil 6.1 Sematik otoklav çizimi.....	80
Şekil 6.2 Hidrojen eldesi prosesi.....	82
Şekil 6.3 Claude Yöntemi ile N ₂ üretimi.....	84
Şekil 7.1 Ergitme firını modülü akış şeması.....	88
Şekil 7.2 Cam ergitme firınına giren/çıkan madde ve enerjiler.....	92
Şekil 7.3 Otoklav akış şeması.....	94
Şekil 7.4 Otoklava giren/çıkan madde ve enerjiler.....	95
Şekil 7.5 Hidrojen üretim (reformer) akış şeması.....	98
Şekil 7.6 Reformere giren/çıkan madde ve enerjiler.....	99
Şekil 8.1 Örnek alınan firmanın değerlerinin firmanızın spesifik enerji tüketimleri ile karşılaştırılması.....	104
Şekil 8.2 Örnek alınan firmanın harmanında kullanılan cam kırığı oranına göre enerji tüketimi.....	109

ÇİZELGE LİSTESİ

	Sayfa
Çizelge 2.1 Soda-kireç-silis camının bileşenlerinin yaklaşık değerleri.....	8
Çizelge 2.2 Borosilikat camının bileşenlerinin yaklaşık değerleri	8
Çizelge 2.3 Kurşunlu camın bileşenlerinin yaklaşık değerleri	9
Çizelge 2.4 Çeşitli camlarda tavlama, çalışma ve ergime sıcaklıkları.....	10
Çizelge 2.5 Bazı cam renklendirici oksitler ve soda-kireç-silis camına verdiği renkler.....	13
Çizelge 3.1 Çeşitli yakıtlar için yanma havası ön ısıtma sıcaklığına göre alev sıcaklığı.....	21
Çizelge 4.1 Üretim kapasitesine bağlı olarak kullanılan fırın tipleri	26
Çizelge 4.2 Fırın tiplerinin pozitif ve negatif yönleri	26
Çizelge 4.3 Değişik ön ısıtma sıcaklıklarında fırın ısıl verimi	32
Çizelge 4.4 Jeneratör parametrelerinin karşılaştırılması.....	34
Çizelge 4.5 Değişik örgü şekillerinde ve farklı geçiş sayılarında atık gaz hızları.	36
Çizelge 4.6 Şekil 4.3' de bulunan ön ısıtma eğrilerinin verileri.....	36
Çizelge 4.7 %100 Oksijenli yanmada (%100 OEC) enerji değerleri I	40
Çizelge 4.8 %100 Oksijenli yanmada enerji değerleri II.....	41
Çizelge 5.1 Örnek alınan bir şşe-cam fabrikasında enerji tüketiminin proses ve yakit türüne göre dağılımı.....	50
Çizelge 5.2 Farklı tipte cam üretiminde tüketilen enerjinin proseslere dağılımı..	51
Çizelge 5.3 Üç farklı cam için ergitme işleminden gerekli olan teorik enerji ihtiyacı.....	52
Çizelge 5.4 Değişik cam türleri için özgül enerji tüketimi değerleri.....	52
Çizelge 5.5 Belçika'da cam üretimi maliyeti.....	55
Çizelge 5.6 Belçika' da düz cam üretiminde enerji dağılımı.....	55
Çizelge 5.7 Çeşitli tür camların üretiminde gerçekleşen enerji tüketimi.....	56
Çizelge 5.8 Britanya' da cam sanayinde enerji kullanımı.....	57
Çizelge 5.9 Hesapları yapılan fırınlar (Şekil 5.3)larındaki bilgiler.....	69
Çizelge 6.1 Otoklav program süreleri.....	80
Çizelge 7.1 Çeşitli Cam Türleri İçin Kullanılan Hammaddeler.....	89
Çizelge 7.2 Trakya Cam Fabrikası' ndaki cam ergitme fırınlarının boyutları....	91
Çizelge 7.3 Trakya Cam Fabrikası' ndaki cam ergitme fırınlarının hesap değerleri.....	91
Çizelge 8.1 Beyaz yüzə (float) cam için harman bileşenlerinin oranları.....	101
Çizelge 8.2 Cam ergitme fırını özellikleri.....	101
Çizelge 8.3 Fırınlarının tipik çalışma şartlarındaki fırın kapasiteleri.....	102
Çizelge 8.4 Fırına giren ve çıkan küt勒lerin sıcaklıkları.....	102
Çizelge 8.5 Üç ayrı kapasitede cam ergitme firmında ısı tüketim noktaları.....	103
Çizelge 8.6 Fırının bilgisayar programı sonuçları ile gerçek tüketimin karşılaştırılması.....	103
Çizelge 8.7 Otoklav özellikleri.....	105
Çizelge 8.8 Otoklava yüklenen ve çıkan maddelerin sıcaklıkları	106
Çizelge 8.9 Otoklava giren/çıkan küt勒lerin özgül ısları.....	106
Çizelge 8.10 Otoklav programlarında kullanılan kütleler	107
Çizelge 8.11 Otoklav programlarında kullanılan süreler	107

Çizelge 8.12	Otoklavda enerji tüketiminin detayı.....	107
Çizelge 8.13	Reformer özellikleri.....	108
Çizelge 8.14	Reformerde enerji tüketiminin detayı.....	108



ÖNSÖZ

Uzun bir tez çalışmasının sonunda bu önsözü yazarken iç rahatlığı ve yorgunluğu bir arada yaşıyorum. Biliyorum ki tezimin hiç bir zaman istediğim şekilde girdiği göremeyeceğim. Ne yaparsam yapayım, hep bir şeylerin eksik olduğu hissini üzerinden atamayacağım. Doktora tez çalışmamı yaparken bir çok sevdigimden destek aldım. Bununla birlikle en büyük desteği tez danışmanımdan öte bana bir ağabey gibi yardım eden sayın Prof. Dr. Erapl ÖZİL' e, gerek okulda çalışmam gerekse Trakya Cam Fabrika ziyaretlerim için bana gerekli zamanı sağlayan hocam Prof. Dr. Doğan ÖZGÜR ve tezimle yakından ilgilenen sayın Prof. Dr. Mahir Arikol' dan aldım.

Bana tezimin her aşamasında yardım eden sayın Oya MİNEZ' e, en sıkışık zamanımda makaleleri çevirmekte yardımcı olan sayın Erol İZBULAN'a,

fabrikada ki çalışmalarımnda bana her türlü desteği veren Trakya Cam Fabrikası 'nın bütün çalışanları adına, sayın Ali YÖNDEM' e, Şişe Cam Fabrikası Eğitim Bölümü' nden sayın Lale ÖNSEL' e

Hesaplarımı yaparken bana destek olan sayın Prof. Dr. Hasan HEPERKAN, sayın Doç. Dr. Dürüye BİLGE ve sayın Doç. Dr. Galip TEMİR' e,

Bilgisayar programları yazarken bana yol gösteren sayın Levent HELVACIOĞLU' na

Misafirperverliği ile sayın İffet DOĞAN' a

Bana gerekli hoşörüyü gösteren Araştırma Görevlilere arkadaşımı,

Artık araştırma görevlisi olmayan sayın Dr. Handan ÇUBUK' a

Benden hiç bir konuda desteğini esirgemeyen aileme çok teşekkür ederim.

ÖZET

Bu tezin amacı düz cam üreten bir fabrikada üretime bağlı olarak enerji tüketimini bilgisayar ortamında tahmin eden bir model geliştirmektir. Literatürde mevcut teorik çalışma ve uygulamaları içeren bilgilere dayanılarak üretilen model kullanıcıyla arkadaş bir mantıkta düzenlenmiştir. Model sonuçlarının irdelenmesi için de Türkiye Şişe ve Cam Fabrikaları A.Ş.'nin Trakya Cam Fabrikası seçilmiş, ve model sonuçları ile bu fabrikanın sonuçları karşılaştırılmıştır.

Modelden elde edilen sonuçlar, modelin uyarlandığı fabrika için tasarruf olanaklarını ve önceliklerini de ortaya koymaktadır. Ayrıca kojenerasyon için ne kadar kurulu güce ihtiyaç olduğu bilgisayar programı yardımıyla daha gerçekçi olarak tahmin edilebilecektir.

Yaklaşık olarak toplam 1400 ton/gün üretim kapasitesi olan iki firmi bulunan Trakya Cam Fabrikası'nda düz cam üretilmekte olup, bu fabrika ülkemiz tüketiminin önemli bir kısmını yaşadığı gibi önemli miktarda ihracat da yapmaktadır. Trakya Cam Fabrikası arazisinde ise ayna ve güvenlik camı üreten bir fabrika ile azot üretimi ve hidrojen üretimi yapılan bölümler de bulunmaktadır. Bu tezdeki modelleme çalışmasına güvenlik camı fabrikası ve azot üretim birimi de dahil edilmiştir.

ABSTRACT

This thesis focuses on developing a computerized mathematical model, which will be used in forecasting energy consumption of a float glass producing factory.

This user friendly model that is based on current theoretical studies and their applications has been run by using data obtained from Trakya Glass Factory (Trakya Cam Fabrikası), a glass factory belonging to Turkish Bottle and Glass Factories Co. (Türkiye Şişe ve Cam Fabrikaları A.Ş) Consequently the output of this application has been compared with real figures of the above mentioned factory.

Outputs can also be used in determining energy saving possibilities and priorities in the plant and in calculating the necessary power amount for cogeneration unit more precisely.

Trakya Glass Factory that supplies significant amount of domestic market need and some amount for export, has two glass melting furnaces whose total production capacity is 1.400 tons/day. Furthermore the factory premises contains also a mirror and security glass factory.

In modelling work of this thesis latter mentioned factory and nitrogen production unit (reformer) have also been included.

1. GİRİŞ

Bu tezin amacı düz cam üreten bir fabrikada üretime bağlı olarak enerji tüketimini bilgisayar ortamında tahmin eden bir model geliştirmektir. Literatürde mevcut teorik çalışma ve uygulamaları içeren bilgilere dayanılarak üretilen model kullanıcıyla arkadaş bir mantıkta düzenlenmiştir. Model sonuçlarının irdelenmesi için de Türkiye Şişe ve Cam Fabrikaları A.Ş.'nin Trakya Cam Fabrikası seçilmiş, ve model sonuçları ile bu fabrikanın sonuçları karşılaştırılmıştır.

Modelden elde edilen sonuçlar, modelin uyarlandığı fabrika için tasarruf olanaklarını ve önceliklerini de ortaya koymaktadır. Ayrıca kojenerasyon için ne kadar kurulu güce ihtiyaç olduğu bilgisayar programı yardımıyla daha gerçekçi olarak tahmin edilebilecektir.

Yaklaşık olarak toplam 1400 ton/gün üretim kapasitesi olan iki firmı bulunan Trakya Cam Fabrikası'nda düz cam üretilmekte olup, bu fabrika ülkemizin önemli bir kısmını karşıladığı gibi önemli miktarda ihracat da yapmaktadır. Kurulduğu günden beri sürekli olarak yenilenen fabrikanın bugünkü düzeyine gelmesinde yurt dışından teknoloji transferi ve gelişmiş olan Ar-Ge bölümünün katkısı vardır.

Sürekli üretim sistemi ile çalışan fabrikaya 2 km uzaklıkta yine Türkiye Şişe ve Cam fabrikalarına ait züccaciye üretimi bulunan Kırklareli Cam Fabrikası bulunmaktadır. Trakya Cam Fabrikası arazisinde ise ayna ve güvenlik camı üreten bir fabrika ile azot üretimi ve hidrojen üretimi yapılan bölümler de bulunmaktadır.

2. CAMIN OLUŞUMU VE YAPISI

Cam, en basit anlatımla oksitlerin bir karışımı olarak tanımlanabilir. Camın yapısının temel özelliği bir düzensizlik durumunda olmasıdır. Bir oksitin cam oluşturabilmesi için katyon oksijen bağıının düzensiz bir yapıya olanak verecek şekilde esnekliğe sahip olması ve bu düzensiz yapıyı koruyacak kadar sağlam olması gereklidir. Ergime sonucu oluşan düzensiz yapı, camın soğuma aşamasında ve oda sıcaklığındaki katı durumunda bile korunabilmelidir.

Ergimiş yada sıvı haldeki cam, yüksek bir viskositeye sahiptir. Örneğin, 1000°C civarında olan normal ergimiş yada sıvı haldeki camın viskositesi, çok yüksektir (Tooley, 1953; Kuşcuoğlu vd., 1993a). Böyle bir cam soğutulduğunda sıvı durumdaki moleküller, yüksek viskosite, ağır molekül hareketleri ve yetersiz süre nedeniyle, moleküller yapı düzlemindeki katı durumun düzgün kristal yapısına geçemezler.

Bu olayların sonucunda sıvı durumdaki cam molekülleri, sıvı maddelerin moleküller yapı düzeni içinde sabit hale geçerler. Cam yapısı, sıvı gibi kalmasına karşın, katı madde görünümündedir ve kristallenmesine engel olacak kadar yüksek bir viskositeye ($>10^{13}$ poise) sahiptir (Tooley, 1953; Kuşcuoğlu vd., 1993). Diğer bir deyişle, cam soğutulduğunda bir katı madde gibi davranışır; sıklıkla “aşırı soğutulmuş sıvı” olarak tanımlanır. Özettür, camın davranışını katı madde özelliklerini gösterirken molekül yapısı sıvılardaki gibidir ve bazı hallerde sabit bir ergime noktası olmayan amorf bünyeli bir silikat bileşimi olarak da tanımlanabilir.

Cam ısıtıldığında viskositesi kademeli olarak düşer ve tersine; soğutulduğunda kademeli olarak yükselir. Camın katılaşmaya kadar soğutulması ile viskositesindeki kademeli artış, cama arzu edilen ürün şeclinin verilmesine fırsat yaratır. İstenirse cam, ısıtma ile yumuşatılabilir, istenildiği kadar şekillendirilebilir ve soğutulabilir.

2.1 Camın Tarihçesi

Camın ilk kez M.Ö. 3000 yıllarında Mezopotamya ve Mısır'da üretiliği bilinmektedir. Bazı kaynaklara göre cam üretimini M.Ö. 4000' li yıllara dayandırılmaktadır. İlk camı üretenler

arasında Fenikeliler de yer almaktadır. Bugünkü anlamda yapılarda cam kullanımını çok eski olmayıp, kökeni Romalılara dayanmaktadır.

Cam levha yapımı ise ilk olarak 11. yüzyılda şişirilmiş silindir yöntemiyle gerçekleştirılmıştır. Demir bir boru ile alınan erimiş cam, borudan hava üflenerek ve döndürülerek silindir şekline getiriliyordu. Ancak, bu yöntemde elde edilen cam levha yüzeyi yeterince büyük olmadığı gibi, yeterince düzgün olamıyordu.

Silindir yöntemi daha da geliştirerek, 19. yüzyılda A.B.D. 'de endüstriyel olarak uygulanmıştır. Bu yöntemde, cam eriyiğinden düşey olarak emilen cam içine hava üflenerek, silindir şeklinde cam elde edilerek, cam levha yapılmış ve makina başına $1000\text{ m}^2/\text{gün}$ cam üretilebilmiştir. Daha sonra bulunan modern üretim yöntemleri ile silindir yöntemi terk edilmiştir.

A.B.D' de cam üretim 1608 yılında Jamestown ve 1639 Salem' de başlamıştır. Bu tarihten 300 yıl sonrasında kadar proses hemen hemen tamamen el işi olarak yapılmıştır. Bu süre içinde en önemli gelişme, cam harmanını oluşturan maddelerin saflaştırılması ve yakıt ekonomisinin artırılması ile sınırlı kalmıştır.

Sürekli bir şekilde levha halinde cam üretimi için kullanılan Fourcault prosesi, 1914 yılında Belçika'da geliştirilmiştir. Bunu izleyen 50 yıl, mühendis ve bilim adamlarının levha camın optik bozukluklarını giderme, buzlu ve parlatılmış cam levhaların üretim giderlerini azaltma amaçlı çalışmaları ile geçmiştir. Bütün bu çalışmalar, düz cam üretim teknolojisine büyük katkıda bulunmuştur. Bir düz cam üretim yöntemi olan yüzər cam (float) üretimi Avrupa Kıtasında ilk defa 1902, 1905 yılları arasında A.B.D. patentiyle başlamış, günümüz'e kadar yaygınlaşarak sürdürmüştür. Şişe, elektrik ampülü gibi çok kullanılan ürünler için otomatik makinalar geliştirilmiştir. Sonuç olarak, cam sanayii günlük yaşamdaki önemi, ham madde ve enerji tüketimleri ile günümüzün başlıca sanayii dallarından biri olmuştur.

Ülkemizde cam üretimi Selçuklular döneminde başlamış, Osmanlılar döneminde büyük gelişme göstermiştir. 19. yüzyılda Beykoz'daki kristal fabrikasının ürünleri büyük beğeni kazanmıştır. Cumhuriyet döneminde ilk olarak 1937 yılında Paşabahçe' de Türkiye Şişe ve Cam Fabrikası

açılmış; bunu 1964 yılında Çayırova' da üretime başlayan pencere camı fabrikası izlemiştir. Float cam üreten Trakya Cam Fabrikası ise 1983/84 yılında üretime başlamıştır.

2.2 Camın Özellikleri

Camın özellikleri çeşitli başlıklar altında incelenebilir. Bunlardan başlıcaları;

a) Yoğunluk ve Isıl Genleşme Özellikleri

Çeşitli cam türlerinin yoğunlukları bileşimlerine göre $2,2 \text{ gr/cm}^3$ ile $3,0 \text{ gr/cm}^3$ arasında değişmektedir. Bazı özel cam türlerinde 8 gr/cm^3 gibi yoğunluğa ulaşmaktadır. (Shank E.B., 1958)

Camın termik genleşmesi aynı zamanda termik şoka dayanıklılığını da belirtmektedir. Isıl genleşme katsayısı düşük olan cam türleri (borosilikat cam, duracam, vycor gibi) termal şoka dayanıklılık gösterirler.

b) Mekanik Özellikler

Cam, kırlabilir nitelikte bir cisimdir. Darbe, vurma ve basınçla belirgin şekil değişiklikleri elde edilmesine uygun değildir. Cam cisimlerin dayanıklılığı, çekme mukavemeti (dayanıklılığı) ile belirlenmektedir. Camın çekme mukavemeti $\%5$ ile 14 kg/mm^2 dir. Bu dayanıklılık dış yüzeydeki bozulmalarla (Griffith Çatlakları denilen belli belirsiz mikrondan küçük küçük çatlaklar) önemli oranda azalmaktadır. Cam elyafın dayanıklılığı normal cam eşyalardan yaklaşık 100 kez fazladır.

Cam yüzeyinde basınç gerilimi (ön gerilimli cam, sekurit cam gibi) olduğu taktirde, basınç dayanıklılığı artmaktadır. Camın basınç dayanıklılığı, çekme dayanıklılığından fazla olup $\%5$ ile 120 kg/mm^2 kadardır (Kuşcuoğlu vd. 1993b).

Camın sertliği, Mosh sertlik göstergesine göre 5-7 arasındadır. Bunun dışında cam dekorcuları ve gravürcüler için kesme, yontma ve aşınma sertlikleri önem taşımaktadır. Ancak bu anlamdaki sert camın teknik anlamda sık sık kullanılan "sert cam" veya "sertleştirilmiş cam" terimleriyle karıştırılmaması gereklidir. Bu anlamda sertleştirilmiş cam, zor eriyen, kimyasal veya termik

etkilenmelere daha dayanıklı hale getirilmiş (Duracam gibi) veya öngerilimli camlardır (emniyet camları).

Cam eritilmiş halde çok kolay biçimlendirilebilen ve şekillendirilebilen bir maddedir. Camın yumuşama sıcaklığı 500°C-800°C arasında değişmektedir (Eğitim Müd., 1993). Camın ısı ve elektrik iletkenliği son derece zayıftır.

c) Kimyasal Özellikler

Cam kimyasal açıdan bir çok maddeye karşı dayanıklıdır, etkilenmez. Yalnızca hidroflorik asit ve bazı alkalik çözeltiler camı etkilémektedir. Su ise yalnızca uzun zaman sürelerinde camı etkilemektedir. Camın sudan etkilenmeye karşı direncini hidrolik sınıfı belirler. Genel olarak dört hidrolik sınıfından söz edilir.

Sınıf 1: Suya dayanıklı

Sınıf 2: Sudan biraz etkilenir

Sınıf 3: Sudan fazlaca etkilenir

Sınıf 4: Suya karşı duyarlı

(Eğitim Müd., 1993)

d) Optik Özellikler

Camın en önemli ve en değerli özelliği çok yüksek seviyedeki ışık geçirgenliği, başka söylemle saydamlığıdır. Bunun dışında cam ışığı yansıtır ve kırar, güneş ışığını renk tayfına (spektrumuna) ayırrı.

2.3 Cam Üretimi

Camın yapımında kullanılan üç ana madde şunlardır:

- a) Cam Yapıcılar
- b) Ağ Yapı Düzenleyiciler
- c) Ara Oksitleyiciler

a) Cam Yapıcılar:

Camın temel yapısını oluşturan maddelere "cam yapıcılar" adı verilir. Çoğunlukla bilinen cam yapıçı, silisyumdioksit yada silistir (SiO_2).

Eğer silis kristalleri, ergime noktası olan 1730°C ' a ısırılırsa, kristal ağı daha düzensiz bir yapıya dönüşür. Hızlı soğumada düzeni bozulan atomik yapı, kristal yapının düzenli hale geçebilmesi için yeterli süreyi tanımaz, sonuçta silis düzensiz bir atomik yapı ile katlaşırlar.

Dolayısıyla silis soğutulduğunda diğer cam yapıçı maddeler gibi düzensiz bir atomik ağ yapı oluşturur. Silis, soğuyarak birlikte, rijit hale gelir, katı madde görünümü verir ama gerçekte aşırı soğutulmuş bir sıvıdır. Bu yapıya cam gibi silis anlamına gelen "camsı silis" adı verilir.

Diğer bir cam yapıçı madde bor metalinin oksididir (boroksit- B_2O_3). Fosfor oksitleri, arsenik ve germanium da cam yapıçı madde sınıfına girerler. Cam yapıçı maddeler soğuma sırasında atomik ağ yapı oluşturma niteliğine sahiptir.

b) Ağ Yapııcı Düzenleyiciler (Tadil Ediciler):

Silis'e sodanın (sodyumoksit- Na_2O) eklenmesi, iki madde arasında kimyasal bir reaksiyona neden olur. Soda ve silis karışımı, silisin ergime noktasından çok daha düşük bir sıcaklıkta reaksiyon verir. Soda-silis karışımının sıvı faza geçtiği sıcaklık soda miktarının arttırması ile 1000°C ' nin altına düşülebilir. Soğutulduğunda, soda-silis karışımı da silis camı gibi bir cam oluşturulur.

Soda bir ağ yapı düzenleyicisi olarak hareket eder. Başlıca özelliği ise aynı zamanda bir ergitici olmasıdır ve ergime sıcaklığını düşürücü rol oynar. Diğer bir taraftan soda, daha kolay ergiyen bir ürün oluşturarak, silisin daha düşük bir sıcaklıkta akıcı hale gelmesini sağlar. Soda-kireç-silis camındaki soda miktarı artırıldığı taktirde, camın su tarafından kimyasal olarak etkilenmesi de artar. Bu nedenle kolay ergitilebilen ve kolaylıkla şekillendirilebilen kullanışlı bir cam üretmek için, cam kompozisyonunda bazı ilaveler ile düzeltmeler yapmak gereklidir.

Yaygın kullanılan bir başka ağ yapı düzenleyici madde kireçtir (Kalsiyumoksit- CaO). Kireç eklenmesi camın kimyasal etkilere dayanıklılığını artırır. Bu nedenle kireç cama bozulmazlık

kazandıran ağ yapı düzenleyici madde özelliğindedir. Magnezyum (MgO)' de camın dayanıklılığı arttırmır, fakat kireç kadar etkili değildir. Diğer ağ yapı düzenleyiciler, potasyumoksit (K_2O), lityumoksit (Li_2O) ve çinkooksit (ZnO)' tir. Bunlardan K_2O ve Li_2O , Na_2O yerine kullanılabilen oksitlerdir. ZnO ve CaO ise MgO ' e benzer şekilde hareket ederek kararlılık kazandıran maddelerdir.

c) Ara Oksitleyiciler (Aracılar):

Bu maddelerin bir kısmı cam yapıcı ve ağ yapı düzenleyicisi gibi hareket eder. Alümina (alüminyumoksit- Al_2O_3) ara oksitlere bir örnektir. Ara oksitin rolü; camın devitrifikasyonu (kristalleşme) eğilimini azaltmak ve sağlamlığını artırmaktır. Camın atomik ağ yapısına bir cam yapıcı gibi katılırlar. Kurşunoksit, ara oksit gibi hareket eden diğer bir maddedir. Böylece camın daha kolay işlenebilir hale getirilmesi ve uygulanacağı alana göre gerekli görülen niteliklerin kazandırılması için, cam yapıcılara başka maddeler ilave edilir. Bu maddeler ağ yapı düzenletici ya da ara oksitlerdir. Ara oksitler, cam yapıcı ve ağ yapı düzenleyici maddelerin rolünü birlikte oynayarak, cam özelliklerini etkiledikleri gibi aynı zamanda, atomik ağ yapısını zenginleştirirler.

Normal cam yapımında, kristaller oluşursa, camın içinde bir hata olduğu düşünülür. Ancak bazı durumlarda belli şartlar altında kontrol edilerek kısmen yada tamamen kristalleşmiş cam kullanılır. Eğer sıcaklık, soğuma esnasında kristal oluşumunun meydana geldiği nokta düzeyinde tutulursa ve kristallerin tekrar düzenli bir yapıya girmesi için gerekli süre verilirse, kristal oluşur. Cam seramikleri ve bazı opak camlarda belirli görünümlerin oluşturulması için kristalleşme kontrollü bir şekilde gerçekleştirilir (Kuşçuluoğlu vd., 1993b).

2.4 Cam Çeşitleri

2.4.1 Bileşim ve Özelliklerine Göre

Soda-kireç-silis camı; bütün cam kap çeşitleri, düz cam, sofra çeşitleri, bazı elyaf camları, bazı elektriksel camlarda (örneğin ampul camı) kullanılır.

Borosilikat camı; ısiya dayanıklı ve düşük çözünürlüğü olan bu camlar, bazı özel optik camlarda, radar valfleri gibi elektriksel güç kaybını düşüren camlarda, laboratuar kapları (örneğin kimyasal madde muhafazası) için kimyasal dayanıklılığı yüksek olan camlarda kullanılır.

Kurşunlu cam; yüksek kaliteli sofra eşyalarında, optik camlarda, yüksek elektriksel direnç göstermesi istenen camlarda örneğin aydınlatma ampulünün iç kısmında kullanılan, sızdırmazlık mührü), radyasyondan korunma amaçlı panolarında kullanılır.

Soda-kireç-silis camında silis miktarındaki artış camın ergime sıcaklığını yükseltici, sağlamlığını artıracı ve genleşmesini düşürücü etkisi olur. Soda miktarının artırılması, camın ergime sıcaklığını düşürür, sağlamlığını azaltır ve camın ıslı genleşmesini arttırır. Kalsiyum miktarı artırılırsa, kimyasal dayanıklılığı daha yüksek ve daha hızlı sertleşen bir cam elde edilir. Yüksek seviyedeki kalsiyumoksit devitrifikasyon (kristalleşme) problemine neden olur. Alüminyumoksit miktarının artırılması, camın sertleşmesini yavaşlatır. Aynı zamanda ergime sıcaklığını ve sağlamlığını da artırır. Soda-kireç-silis camının bileşenlerinin yaklaşık değerleri Çizelge 2.1' de gösterilmiştir.

Çizelge 2.1 Soda-kireç-silis camının bileşenlerinin yaklaşık değerleri

SiO_2	Na_2O	CaO	MgO	Al_2O_3
%71,1	%13	%11	%2,8	%1,5

(Tooley, 1953; Shand, 1958; Doyle, 1979; Kuşculoğlu vd., 1993a)

Borosilikat camında, silisin, sodanın ve alüminyumoksitin artırılmasının etkisi, soda-kireç-silis camı için geçerli olan etkiye benzer olur. Borosilikatteki artış, genleşmenin düşmesini, kimyasal dayanıklılığın artmasını sağlar; ancak bu artışın da bir limiti vardır. Borosilikat camının bileşenlerinin yaklaşık değerleri Çizelge 2.2' de gösterilmiştir.

Çizelge 2.2 Borosilikat camının bileşenlerinin yaklaşık değerleri

SiO_2	Na_2O	CaO	MgO	Al_2O_3
%80	%4	%12,5	%2,5	%1>

(Shand, 1958; Doyle, 1979; Kuşculoğlu vd., 1993(a))

Kurşunlu camda kurşunoksitin miktarı artırılırsa, camın yoğunluğu aynı zamanda kırılma indisi artar. Bu artış optik camlarda yüksek kırılma indisini artttırduğu gibi, kristal sofra eşyasında içten yansımıma nedeniyle yüksek ışılıtı vermesini sağlar. Kurşunlu camın bileşenlerinin yaklaşık değerleri Çizelge 2.3' de gösterilmiştir.

Çizelge 2.3 Kurşunlu camın bileşenlerinin yaklaşık değerleri

SiO_2	PbO	K_2O	B_2O_3
%56	%32	%11,5	%0,5

(Shand, 1958; Doyle, 1979; Kuşculuoğlu vd., 1993a)

Cam ergime prosesi ve düşük viskositenin önemini aşağıdaki belirtildiği gibidir. Cam yapım prosesi, hammaddenin karıştırılması ve ısıtılmasıyla başlar. Bu karıştırılmış hammaddelere harman, ısıtma işlemine ise ergime prosesi adı verilir. Ergime prosesi, kimyasal reaksiyonların meydana gelmesine neden olur. Ergime sırasında meydana gelen sıvı faz, harman bileşenleri arasındaki teması artırarak ergimeyi kolaylaştırmak ve konveksiyon akımlarının meydana gelmesini sağlamak için yeterince düşük viskositeli olması gereklidir. Ergime prosesi sırasında ergimiş camın içinde habbeler halinde gaz oluşur. Bu habbelerin camı terk edebilmesi için ergitilen camın yeterince düşük viskositeye sahip olması gereklidir.

Cam şekillendirme prosesi için fırından alındığı zaman, sıcaklığı düşürülür ve buna bağlı olarak viskositeti artırılır. Şekillendirme prosesinin başlangıç ve sonu arasındaki viskozite aralığına çalışma aralığı adı verilir.

Cam normal olarak soğumaya bırakılırsa, kırılabilir yada içinde daha sonra kırılmasına neden olacak gerilimler oluşur. Bu durum kesme, dekorlama ve kullanım sırasında tehlike yaratır. Gerilimlerin giderilmesi için soğutma hızı belirli bir sıcaklık aralığında kontrollü olmalıdır. Bu sıcaklık aralığına tavlama aralığı adı verilir. Çeşitli camlar için tavlama ve ergime sıcaklıklarını ve çalışma aralığı sıcaklığı Çizelge 2.4' de verilmiştir.

Çizelge 2.4 Çeşitli camların tavlama, çalışma ve ergime sıcaklıklarları

(°C)	Tavlama Noktası	Çalışma Aralığı	Ergime Noktası
Soda-Kireç-Silis Camı	560	700-1200	1370
Borosilikat Cam	570	790-1450	1600
Kurşunlu Cam	440	605-1200	1430

(Tooley, 1953; Shand, 1958; Kuşculoğlu vd., 1993a)

Herhangi bir sıvı karışımının soğutulması sırasında kristal oluşumunun başladığı sıcaklığı "kristalleşme" sıcaklığı adı verilir. Cam, sıvılaşma sıcaklığının tam altında belli süre tutulursa, içinde kristaller oluşur. Bu durum camın "devitrifiye olması" veya "devitrifikasyon" olarak adlandırılır. Kristal bir yapı oluşturmak için atomik yapının zamana ihtiyaçı vardır. Bu olayı engellemek için camın kristalleşme sıcaklığından hızla geçilmesi sağlanmalıdır. Böylelikle cam gittikçe daha yüksek viskoziteye sahip olurken, kristal oluşumlar meydana gelme olasılığı da azalır. Kristallenme sıcaklığı ve silisin viskozitesi, ağ yapı düzenleyici oksitlerin kompozisyonuna girmesi ile büyük ölçüde etkilenir. Genelde, bir cam kompozisyonuna yeni bir madde eklenirse camın söz konusu sıcaklıkta viskozitesi artacağından, kristallenme sıcaklığı düşer ve kristallerin oluşma eğilimi azalır (Shand, 1958; Kuşculoğlu vd., 1993a).

2.4.2 Üretim Şekline ve Yapısına Göre

a) Düz Cam

Ağızla üfleme düz cam (tabakalar haline getirilir), çekilmiş tabaka camlar, floatcam (yüzdürme), dökme cam kesintili ve kesintisiz dökme yöntemi ile çekme cam olarak imal edilebilir.

b) Çukur, Derin Cam Kaplar

Üfleme yöntemi ile, el imalat- ağız ile üfleme, yarı mekanize üfleme cam, tam mekanize üfleme cam, pres yöntemi ile, yarı mekanize pres, tam mekanize pres, savurma yöntemi ile, yarı mekanize savurma, tam mekanize savurma yöntemi ile çekme cam olarak imal edilebilir.

c) Özel Camlar, Sanayii ve Kimyasal Cam Kaplar (teknik amaçlı kullanılan camlar)

Optik amaçlı camlar, cam boru ve cam çubuk, cam elyaf, cam yünü, cam dokuma ve ince cam çubuk (küçük cam biblo, düğme, taş gibi eşyaların yapımında kullanılır) şeklindedir (Kuşculuoğlu, 1993b).

2.5 Hammaddeler

2.5.1 Hammaddelerin Sınıflandırılması

Cam hammaddeleri görevlerine göre iki sınıfa ayrılırlar :

a) Ana Hammaddeler

Bunlar camın ana bileşenlerini sağlayan ve harmana genellikle ağırlıkça %1' in üzerinde giren hammaddelerdir. Kum, kuvarsit, kalker, dolomit, feldpat, soda, boraks, asitborik, potasyum karbonat, sülyen ve cam kırığı bu grupta yer alır.

b) Yardımcı Hammaddeler

Bunlar genellikle harmanda ağırlıkça %1' in altında yer alan hammaddelerdir. Görevleri bakımından bazı alt başlıklara ayrılırlar.

Afinan maddeler: Camda afinasyonu (ergimiş camın gaz kabarcıklarından arınması) sağlamak için kullanılırlar. Belli başlıları; Na_2SO_4 , $(\text{CaSO}_4 \cdot \text{BaSO}_4)$, NaCl ' dir.

Renklendiriciler ve renk gidericilerdir: Bunlar genellikle cama renk vermek veya renksiz camda FeO , Fe_2O_3 nedeniyle oluşan istenmeyen renkleri maskelemek amacıyla kullanılırlar. Başlıcaları Co , CuO , NiO , NiO_2 , MnO_2 , Fe_2O_3 , metalik Se , Au , Pt , Ag , V , CdS gibidir.

Oksidan maddeler: Ana görevleri harmandaki organik karakterli kirlilikleri oksitlemek ve demiroksiti cama daha az renk veren Fe_2O_3 ' e çevirmektir. Belli başlı oksidan malzemeler Na_2SO_4 ' a ek olarak NaNO_3 ve Sb_2O_3 ile CeO_2 ' dir.

İndirgen maddeler: Ergitme işleminin indirgen koşullarda yapılmasını sağlayan maddelerdir. Belli başlıları, kömür (C), kükürt (S), yüksek fırın cürüfesi (calumite) dir (Tooley,1977; Kuşçuluoğlu vd., 1993a; Kuşçuluoğlu vd., 1993b).

2.5.2 Kullanılan Belli Başlı Hammaddeler

Silikta (SiO_2): En yaygın kullanılan cam yapıcı oksittir. Camın dayanım ve kimyasal dayanıklılık kazandırır. 1700°C 'nin üzerinde ergitir.

Soda (Na_2O): Ergime derecesini düşürmek amacıyla en sık kullanılan ağ yapı düzenleyici oksittir. Sahip olduğu akışkanlık kazandırma özelliğine "flanks oluşturucu" (ergitici) denilir. Bu nedenle soda bir flanks maddesi olarak anılır. Soda camın ergime derecesini düşürmek ile birlikte, kimyasal dayanıklılığını ve ısıl genleşme katsayısını azaltır.

Potasyumoksit (K_2O): Sodaya benzer biçimde ağ yapı düzenleyici bir oksittir. Soda kadar olmasa da flanks oluşturucu bir oksittir. Camın kırılma katsayısı ve Na_2O 'ya göre elektriksel direncini arttırmır. Na_2O ile birlikte kullanılmasıyla oluşturulan karışık alkali etkisi camların kimyasal dayanıklılığını ve elektriksel dirençlerini çok yükseltir.

Kireçtaşısı (CaO): Ağ yapı düzenleyici bir oksittir, ergimeye yardımcı olur, çalışma aralığını daraltır, kimyasal dayanıklılığı artırır. Fakat genellikle camın devitrifikasyon eğilimini yükseltir.

Mağnezyumoksit (MgO): Kalsiyumoksiteme benzer özellikler gösterir. Ancak devitrifikasyona karşı eğilimi daha azdır. Camın havaya karşı dayanıklılığını artırır.

Alümina (Al_2O_3): Az miktarda kullanılır. Ergime sıcaklığını yükseltir, camın çalışma aralığını genişletir, kimyasal dayanıklılığı artırır, devitrifikasyon olayını engeller. Ara oksitlerden biridir.

Boroksit (B_2O_3): Boroksit, ısıl genleşme katsayısı düşük olması istenen camlarda kullanılır. Bu durum fırın kaplarında ve diğer pek çok özel cam türünde istenen bir özelliklektir. Boroksit ikinci en önemli cam yapıcı oksittir. Camın ergime işlemini kolaylaştırır, kimyasal dayanıklılığını artırır.

Cam yapımında kullanılan bazı hammaddeler oksit formundadır. Örnek olarak SiO_2 , PbO , Al_2O_3 'i gösterilebilir. Ancak hammaddelerin hepsi oksit formunda değildir. En çok bilinen formlar karbonlar, nitratlar ve sülfatlardır. Bazı kompozisyonlarda birden çok oksit de bulunabilir.

Cam renklendirici oksitler: Temel renklendirici oksitler, bir sıvıda çözündüğünde kendi karakteristik rengini veren belli bir grup metalin bileşikleridir. Bazı durumlarda, örneğin demir bileşiklerinde, birden fazla renk meydana gelebilir. Renk demirin değerliliğine bağlıdır. Cam renklendirici oksitler ve bunların soda-silis-kireç camına verdiği renkler Çizelge 2.5' de gösterilmiştir. Bu renklendiriciler bir başka cam türünde farklı renk verebilirler.

Renk, ana cam kompozisyonundan etkilenmenin yanı sıra camın oksidasyon seviyesinden, ergitme sıcaklığından ve ergime süresinden de etkilenir.

Çizelge 2.5 Bazı cam renklendirici oksitler ve soda-kireç-silis camına verdiği renkler

Oksitler	Verdikleri Renkler
Demir (Fe^{+2})	Mavimsi yeşil
Demir (Fe^{+3})	Sarımsı yeşil
Bakır	Yeşilimsi mavi
Nikel	Dumanlı gri
Krom	Yeşil
Manganez	Mor
Kobalt	Mavi/Menkşe

(Kuşculuoğlu vd., 1993b)

Renksizleştirme: Cama istenmeyen renkleri veren maddelerin bulunması durumunda, renksizleştirme maddeleri denen ancak gerçekte kendileri de renklendirici olan maddeler kullanılarak cam renksizleştirilir. İlave edilen renklendirici maddelerin rengi, hammaddelerden gelen ve istenmeyen maddelerin neden olduğu rengi maskeler, böylece camın göze renksiz gözükmesi sağlanır.

Rengin başka renklerle maskelenmesi işlemine fiziksel renksizleştirme işlemi denir. Kimyasal renksizleştirme ise camın oksidasyon veya redüksyon durumu ayarlanarak, istenmeyen maddelerin veya ilave edilen renksizleştirici maddelerin yarattığı renk etkisi değiştirilmesidir.

Cam kırığı: Cam kırığı harmana oranla kolay ergir ve toplanıp fırına geri verilmesi çevre kirliliğini önler. Bu nedenle harmana mümkün olduğunca çok katılması istenir. Cam kırığı, üretim hattında kenar kesmelerden, hatalı üretimden veya kape kırıklarından sağlanır (Tooley, 1977; Kuşçuluoğlu vd., 1993b).

2.5.3 Cam Rengine Etki Eden Faktörler

- a) Ana cam kompozisyonu: Cam yapıcı ve modifiye edici iyonların birbirine olan oranı değiştiğinde, camda elde edilen renkler de değişimlidir.
- b) Ergitme sıcaklığı ve süresi: Aynı cam yüksek ve düşük sıcaklıklarda ergitildiğinde rengi farklılaşabilmektedir. Ergime süresinin de kısa veya uzun olması benzer sonuçlar doğurur.
- c) Ergitme koşulları-fırındaki oksidasyon seviyesi: Fırın oksidasyon seviyesinde, yükseltgene veya indirgene doğru olan herhangi bir değişim, cam rengini büyük ölçüde etkileyebilir.
- d) Sıcaklık profili: Bazı renkler için soğuma profili ve süresi büyük önem taşır.

2.5.4 Hammaddelerin Taşınması ve Depolanması

Üretimde kullanılan maddelerin kuru olarak saklanması gerektiğinden, yığınlar basit kapalı binalarda depolanır. Binanın zemini betondur ve geniş girişlere sahiptir. İşletmede, dağıtım noktasından depolamaya kadar hammaddelerin çoğunun taşınmasında konveyör ve vinçler kullanılır.

Kalitenin korunması için ilk önce kirlenme önlenmelidir. Taşıma sırasında ve işletme içinde gerekli özen gösterilmelidir. Hammaddelerin bozulması üretim için olası bir tehlikedir. Çoğu nem çeker, taşlaşırlar veya sertleşir. Bu yüzden stoklama doğru ve dikkatli bir biçimde yapılmalıdır. Hammadde taşıma esnasında segregasyona uğramamalıdır.

Harman, vinçler, konveyör ve vibratörlerle taşınıp fırına verilir. Tartım tek tek yapılır.

3. CAM ELDESİ PROSESİ

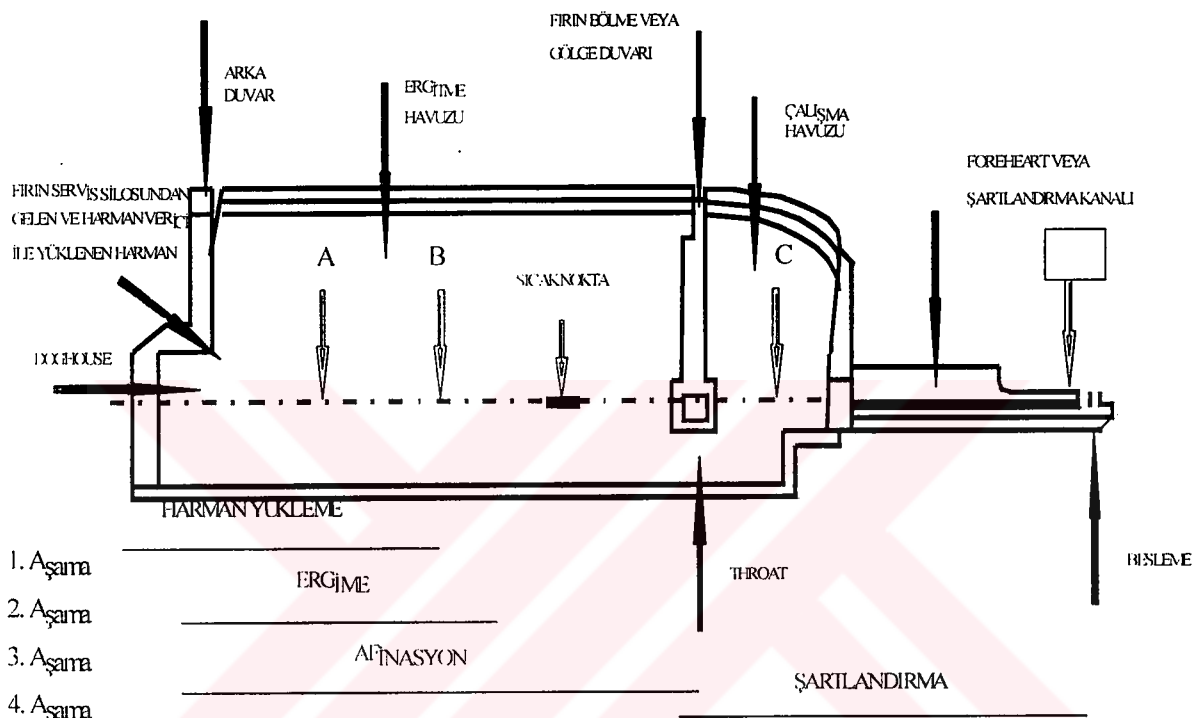
Camın üretiminde kullanılan ham maddeler bir reçeteye göre doğru oranlarda dikkatlice tartılıp harmanlandıktan (karıştırıldıktan) sonra fırın silosuna nakledilir. Ham maddeler silodan fırına düzenli olarak beslenir. Dekompozisyon yoluyla hammaddelerin oksitlerine dönüşmelerine yetecek sıcaklıklara kadar ısıtılırlar. Böylece önce dekompozisyon, ardından ergime yada daha önceden ergimiş bir başka hammaddenin içinde çözünme yoluyla oksitlerine dönüşürler.

Meydana gelen kimyasal reaksiyonlarda ortaya çıkan gazlar, yüzeye doğru yükselirken; ergimiş camı bir miktar karıştırır ve camı terk eder. Bütün bu olayların meydana gelmesi yüksek sıcaklık gerektirdiğinden, elde edilen camın işlenebilmesi ve son ürün olarak şekillenebilmesi için soğutulması gereklidir. Fırın içinde meydana işlemler, cam eldesi prosesi olarak tanımlanır. Bu proses dört ayrı aşamada incelenir:

- a) Harmanın fırına verilmesi (harman besleme)
- b) Harmanın çözülmesi, reaksiyona girmesi, ergimesi ve oksitler halinde çözünmesi (ergime)
- c) Habbelerin camdan uzaklaşması ve ayrı ayrı eriyiklerin birbiri ile karışması (afinasyon-arıtma). Bu süreç iki kısımda incelenir
 - i) Afinasyon: Habbelerin ergimiş camdan uzaklaşması
 - ii) Homojenizasyon: Ergimiş camın karışması
- d) Camın doğru bir şekilde çalışma sıcaklığına soğutulması (şartlandırma)

Tipik bir sürekli fırının boyuna kesiti Şekil 3.1 de gösterilmiştir. Aynı şekilde cam eldesi prosesi aşamalarının nerelerde olduğu da görülmektedir. Bu fırın tipi, üretilen tüm camların %60'ının elde edildiği fırın tipine bir örnek oluşturmaktadır.

Harman besleme ağızında (doghouse) başlar ve ergitme havuzunun ortasına gelmeden tamamlanır. Ergitme fırın arka duvarından başlar ve sıcak noktanın bulunduğu yerde tamamlanır. Afinasyon fırın arka duvarından başlar; “boğaz (throat) bölgesi” nde tamamlanır. Şartlandırma boğazda başlar ve şartlandırma kanalında tamamlanır.



Şekil 3.1 Tipik bir sürekli fırının enine kesiti

A Bölgesi: Bir miktar harman hala cam yüzeyinde yüzmektedir, bu nedenle harman besleme işleminin etkisi henüz bitmiş değildir. Ergime reaksiyonları hızlı bir şekilde devam etmektedir. Bu reaksiyonlar çeşitli gazların açığa çıkması ve camdan uzaklaşmasına neden olduğundan afinasyonun başladığı söylenebilir.

B Bölgesi: Yüzen harman tabakası artık görülmeyip harman besleme tamamlanmıştır. Fakat halen geriye kalan çözünmemiş hammadde parçacıkların çözünmesi için ergime işleminin bir süre daha devam etmesi gerekmektedir. Buna rağmen ergime havuzunda geriye kalan önemli iş,

afinasyonun tamamlanmasıdır. Böylece ergimiş camdaki habbelerin sayısı kabul edilebilir düşük bir seviyeye iner ve camın kimyasal açıdan homojen duruma gelmesi sağlanır.

C Bölgesi: Bu bölgede artık cam ergimesi ve afinasyonunu tamamlamıştır. Soğumakta (şartlandırılan) olan cam şekillendirme prosesi için henüz çok sıcaktır.

D Bölgesi: Cam şekillendirme aşamasına yaklaşırken, şartlandırma bu noktada kritik bir hal almaktadır. Sıcaklığın istediği gibi olması ve sıcaklık farklılıklarının görülmemesi gereklidir.

3.1 Harman Besleme

Harman besleme, verimli bir üretim için kontrollü olarak yapılmalıdır. Düzgün olmayan harman besleme işlemi, camın ergime ve afinasyonunun da düzgün olmamasına yol açar. Fırınlar harman besleme yöntemine göre iki grupta ele alınırlar:

- a) Aralıklı Beslenen Fırınlar: Pota fırınları ve günlük tank fırınları bu gruba girer. Aralıklı besleme, "harman verme", "rafine etme" ve "cam işleme" gibi proseslerin aynı bölgede birbiri ardına yapıldığı durumlarda kullanılır. Bu fırınlara harman elle yüklenir ve cam belirli bir seviyeye düşünceye kadar işlenir.
- b) Sürekli Beslenen Fırınlar: Fırının bir ucundan ergimiş camın çekilirken hammaddeler diğer uçtan çıkış hızına uyumlu olacak şekilde mekanik yöntemlerle fırına yüklenir.

Üretim makinalarının değişikliklerinden etkilenmemesi için fırın içindeki cam seviyesinin sabit tutulması gereklidir. Cam seviyesindeki oynamanın, mamul gramajı, fırın sıcaklığındaki değişim, camın kalitesi, şekillendirme, fırın yakıt tüketimi ve reflektör yapısı üzerinde olumsuz etkileri vardır. Bu nedenle cam seviyesi otomatik olarak kontrol edilir ve bu durum harman besleme hızının kontrolü ile sağlanır.

Harmanın fırına beslenmesi için dört temel mekanik yöntem vardır. Bunlar; vidalı, itici, vibratörlü ve katlamalı yükleyicilerdir.

3.2 Harmanın Ergitilmesi

Harmana Isı Transferi: Alevin sıcaklığı, fırın üst yapısı, harman kümecekleri ve ergimiş camın sıcaklığından daha fazladır. Alevden ısı geçişi temel olarak ışınım (radyasyon) yolu ile olur. Taşınımıla (konveksiyon) ısı geçişi ise sadece alev harmana temas ettiği bölümlerde oluşur. Benzer biçimde baca gazları sıcaklığı da harmandan daha yüksek olduğundan baca gazından harmana ısı geçişi yine taşınım yoluyla yapılır. Cam seviyesinin altındaki harman kümelerine ısı geçişi, ergimiş camdan ışınım (radyasyon), taşınım (konveksiyon) ve iletim (kondüksiyon) yolu ile olur.

Ergimiş Cama Isı Transferi: Isıl enerji, cama, fırın cam yüzeyindeki harman adacıklarından ve harman köpüğünden arınmış bölümünde, diğer bir ifade ile afinasyon bölgesinde verilir. Bu kısım, fırının ergitme bölümü uzunluğunun en az %20-%40'ı kadardır.

Cama isıl enerjinin geçişi başlıca iki yoldan gerçekleşir. Yollardan biri cam yüzeyinden ışınımıla, diğer ise baca gazları ile taşınımıla olur. Cam yüzeyinden giren ısı, cam kütlesi içinde ışınım, iletim ve taşınım yolu ile iletilir. Elektrikli fırnlarda ise karbon, molibden ve kalay oksitten yapılmış elektrotlar, ergimiş cama batmış durumdadır. Aralarından kontrollü bir şekilde iletilen elektrik akımı enerjiye dönüşerek cama geçer.

3.3 Camın Afinasyonu

Afinasyon prosesi, cam ergitilmesinin en önemli unsurlarından biridir. Bu prosesle amaç, ergitilmiş camın içinde genelde habbe olarak bulunan gazların atılması ve ergimiş camın homojenleştirilmesidir. Bu amaca ulaşmak için gerekli olan minimum süre, proses türüne bağlı olarak, bir saat dolayındadır. Afinasyon bölgesinde fırından çevreye olan isıl enerji kayıpları, cama verilecek ek enerji ile karşılanmalıdır. Aynı zamanda harmanın ergitilmesi işleminin tamamlanması için cam yüzeyi temiz tutulmalıdır. Harman artıklarının afinasyon bölgesine ulaşmaması için afinasyon bölgesinde bir termal bariyer oluşturulmalıdır. Bu bariyer yardımı ile şartlandırma bölgesinde ergimiş camın belli bir süre ve belirli bir sıcaklıkta kalması gereklidir.

Harmanın reaksiyona girmesi ve ergimiş camın oluşması için, sıcaklığın yeterli yüksekliğe çıkarılması gereklidir. Reaksiyon sonucu oluşan gazlar, ergimiş camın içinden yükselir ve cam yüzeyini terk eder. Camın şekillendirilebilmesi için, uygun sıcaklık düzeyine kadar soğutulması gereklidir.

Habbeler, harman tanecikleri arasındaki havadan, harman reaksiyonlarından ve hammadde ayrışmasından kaynaklanır. Havadan gelen oksijen ve azotla birlikte reaksiyonlardan çıkan gazların başlıcaları olan karbonatlar, karbondioksit, hidratlarlar habbelerin başlıca kaynağıdır. Bu gazlardan karbondioksit en yüksek yüzeye sahiptir. Çünkü karbonlar, en çok kullanılan gaz çıkartıcı harman maddeleridir.

Cam sıcaklığının arttırılması habbelerden kurtulmak için kullanılan yöntemlerden biridir. Sıcaklık arttıkça camın viskositesi düşer ve konveksiyon akımları kuvvetlenir. Ayrıca genleşme nedeniyle gaz habbelerinin büyülüklüğü ve yükselme hızları artar. Yaygın olarak kullanılan diğer yöntem ise, prosese afinasyon maddelerin eklenmesidir. Bunların başlıcaları boraks, boraks anhidritleri, boroksit, arsenikoksit, sodyumklorür, kriyolit, flospar, sodyumflorür, sodyumsülfat, alçı taşı, baryumsülfat, amonyumsülfat, potasyumnitrat ve sodyumnitrat' tır. Bu arıtma maddelerinin kullanılması sonucu oluşan üç etki aşağıda özetlenmiştir:

- a) Gaz Çıkarma Reaksiyonları: Reaksiyonları oluşturan maddelerinin başlıcaları sülfatlardır. En yaygınları sodyumsülfat ve kalsiyumsülfattır. Sülfatlar fırının ergime bölgesinde bozunurlar. Bozunma sonucunda ortaya çıkan SO_2 ve O_2 gibi gazlar, yolları üzerindeki daha küçük habbeleri toplayarak cam yüzeyine çıkarırlar. Bazıları da küçük habbelerin içine işleyerek onları büyütürler ve cam yüzeyine çıkışlarını hızlandırırlar.
- b) Camın Fiziksel Özelliklerinde Değişme: Fırındaki kum taneleri ve gaz kabarcıkları yüzey gerilimi ile bir araya gelerek birleşirler ve yüzeye doğru yükselirler. Kum tanecikleri ile zenginleşen cam yüzeyinde ergitici maddelerin azlığı nedeniyle ergime daha uzun zaman alır. Kum taneciklerinin oluşturduğu örtünün, cama olan ısı geçişini azaltması nedeniyle afinasyon süresi de daha uzun olur. Ortamda bir miktar sülfat bulunması, kum taneleri-gaz habbeleri-ergimiş cam ortak yüzeyindeki yüzey gerilimini düşürür. Ayrılan kum tanecikleri diğer maddeler ile daha kolay reaksiyona girer.

c) Gazların Camda Çözünmesi: Afinasyon aşamasından sonra gaz habbeleri yüzeye çıkmaya devam eder, ancak sıcaklığındaki azalma bu işlemi zorlaştırmır. Çünkü camın viskositesi yükselmiş, içindeki habbeler küçülmüştür. Cam soğudukça, daha fazla miktarda gaz çözünmüş olarak tutabilir ve bazı gaz habbeleri yeniden cam içinde absorbe edilir.

Fırının boğaz (throat) bölgesi de afinasyona iki şekilde yardım eder. Birincisi, bu bölgenin enine kesit alanı, fırın alanından çok daha küçük olduğundan, ergitme havuzundan gelen cam akımları çalışma havuzuna doğru geçerken birbirlerine yaklaşmak zorunda kalırlar. Boğaz öncesi cam akımlarının yaklaşarak birbirini sıkıştırması homojenizasyon olayına yardımcı olur. Boğazdan çıkış hızı nedeniyle hiç karışma olmaz yada çok az karışma meydana gelir, dibe çökmüş ergimeyen maddeler cama karışmaz (Kuşçuluoğlu vd., 1993b).

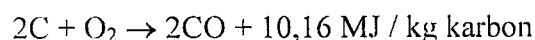
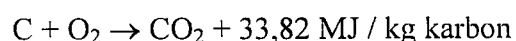
3.4 Camın Şartlandırılması

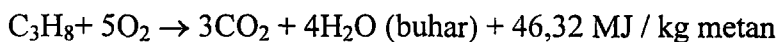
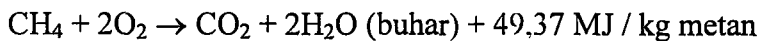
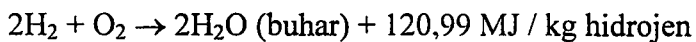
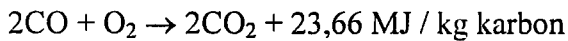
Ergitmenin ve afinasyonun başarılı bir şekilde gerçekleşebilmesi amacı ile camın üretim için yüksek sıcaklıklara kadar ısıtılması gereklidir. Bu nedenle yüksek sıcaklıkta bulunan ergimiş camın üretim prosesleri için uygun olan sıcaklığa kadar düzgün ve kontrollü olarak soğutulması zorunludur.

Şartlandırma, camın başarılı ve verimli bir şekilde şekillendirilmesi için uygun olan sıcaklığı kadar düzgün olarak soğutulmasıdır. Sürekli üretim yöntemi ile çalışan bir tank fırınında, şartlandırmancının tümü çalışma havuzunda gerçekleşir. Son şartlandırma ise kanal, boğaz veya çalışma havuzu ile bağlantıyi sağlayan diğer tipteki bağlantı yapıları içinde gerçekleşir.

3.5 Yanma

Fırılarda genelde doğal gaz, fuel-oil, LPG ve benzeri fosil kökenli yakıtlar kullanılmaktadır. Bu tür yakıtların kullanımında, yanma reaksiyonunda açığa çıkan ısıl enerji miktarı ise şunlardır:





Teorik ve Fazla Hava: 1m^3 gaz, 1lt sıvı yada 1 kg katı yakıtın tam ve mükemmel yanmasını sağlamak için gereken hava miktarına teorik hava miktarı denir. Pratikte, yanmanın fırın içinde tamamlanmasını sağlamak için her zaman bir miktar fazla hava kullanılır. Karbon, yeterli oksijen olmaksızın yanarsa karbonmonoksit dönüsür. Bu durumda, tam bir yanmada açığa çıkan ısının ancak %30'u elde edilebilir. Eğer az hava kullanılırsa yanma tamamlanmaz. Çok fazla hava kullanılırsa da atık gaz hacmi artar ve alev sıcaklığı düşer. Her iki durumda da yakıt tüketimi artar.

İş Transferi: Alevden oluşan, ısıl enerjiyi, harmana, cama ve fırın tuğlalarına taşınım ve ısınım yolu ile iletilir. Yüksek sıcaklıklarda ısınım taşınımıdan çok daha önemlidir.

Alev Sıcaklığuna Ön Isıtmanın Etkisi: Yanma havası ön ısıtmadan geçirilirse alev sıcaklığında artış meydana gelir. Çizelge 3.1' de 0°C ile 1250°C arasında değişen ön ısıtma aralıklarına göre üç temel yakıtın teorik alev sıcaklıklarını göstermektedir. Maksimum alev sıcaklığı teoriktir. Pratikte alev sürekli çevresine ısı verdiği için bu sıcaklığa erişmek mümkün değildir.

Çizelge 3.1 Çeşitli yakıtlar için yanma havası ön ısıtma sıcaklığına göre alev sıcaklığı

Yakıt	Alev Sıcaklığı ($^\circ\text{C}$)					
Doğal Gaz	1990	2110	2240	2390	2520	2660
Fuel-oil	2150	2260	2410	2550	2680	2800
Hava Gazı	1950	2080	2200	2340	2470	1590
Ön Isıtma Sıcaklığı ($^\circ\text{C}$)	Yok	250	500	750	1000	1250

(Kuşcuoğlu vd., 1993b)

Teorik alev sıcaklığı, ön ısıtma ile elde edilen hava sıcaklığının yarısı kadar artar. Yanma havası 600°C ısıtılsa, alev sıcaklığı 300°C artar. Ön ısıtılan yanma havası kullanmanın avantajları şunlardır:

- a) Alev sıcaklığındaki artış, ısı transferinde artışla sonuçlanır.
- b) Yanma için ihtiyaç duyulan aşırı hava miktarında azalma olur.
- c) Atık gazlardan kazanılan ısı, yanma havasının ısıtilmasında kullanılır.

Böylece baca gazlarıyla dışarıya atılacak olan ısıl enerjinin önemli bir bölümünün fırına geri dönüşü, yani enerji tasarrufu sağlanır.

Yüksek çekişli cam fırınlarında ihtiyaç duyulan yüksek sıcaklıktaki alevin üretilmesi için, yanma havasının ön ısıtılması bir zorunluktur.

Eğer çok yüksek oranda aşırı hava kullanımı olursa alev sıcaklığı düşer. Bunun sonucunda ışınımla (radyasyon) ısı transferinde önemli düşüşler gözlemlenir. Fırın çekişini artırmamanın veya rejenaratör örgülerindeki blokaj veya çökmeyi engellemenin bir yolu da, oksijen zenginleştirme yöntemidir. Yanma havasının bir kısmının veya tamamının oksijenle değiştirilmesi sonucu iki olay meydana gelir.

- a) Alev sıcaklığı artar.
- b) Sistemdeki azot çok daha az olduğundan ısıyı atmosfere taşıyacak atık gaz miktarı çok daha az olur.

3.6 Bekler

Tam bir yanma için yakıtın ve yanma havasının mümkün olduğu kadar iyi karışması gereklidir. İyi bir karışım sağlamak içinde bekler kullanılır. Fırınların gazla ateşlemesinden başka bir yöntem olan ön karıştırmalı bekler kullanılmaz. Gaz doğrudan portun kenarına doğru ateşlenir. Bu yöntemle iki veya daha fazla alev yerine bir tek geniş alev oluşturulur. Gazın düşük hızı nedeniyle, yanma öncesinde yanma havası ile yakın temas geçip, yanma havasının daha fazla ısınması sağlanır. Gazın ön ısıtmasında ağır hidrokarbonlar parçalanır ve daha parlak bir alev

elde edilir. Parlak alev, parlak olmayana göre daha fazla ışıma yapar, böylece cama geçen ısıl enerji miktarı artar. İyi dizayn edilmiş bir fırında bu fark, en fazla %1-2 oranında değişir. Çünkü parlak bir alevin tersine geçirgen olan bir alev, fırın üst yapısından geriye yansıtılan enerjinin içinden geçmesine izin verir. Sıvı yakıtın alevi, aynı şartlarda yakıldığında, gaz alevinden daha fazla parlaklığa sahiptir.

3.7 Reflektör Malzemeler

Reflektör malzemeler, yüksek sıcaklığa ve kimyasal etkilere dayanıklı malzemelerdir. Fırın yapısındaki reflektör malzemeler, yüksek sıcaklıklarda mekanik olarak dayanıklı, aşınmalara karşı dirençli, cam ve fırın gazları ile temas durumunda kararlı olmalıdır. Ayrıca ısıl ve elektrik iletkenliklerine sahip olmaları gereklidir. Reflektör malzeme yapımında kullanılacak malzemelerin seçiminde dikkate alınacak en önemli faktör malzemenin yüksek ergime noktasına sahip olmasıdır. Bu nedenle reflektör ürünlerinde çögünlük oksitler kullanılır. Bunların başlıcaları; alümina (Al_2O_3), kromoksit (Cr_2O_3), kromit ($\text{FeO} \cdot \text{Cr}_2\text{O}_3$), kireç (CaO), magnezit (MgO), silis (SiO_2), zirkonyumdioksit (ZrO_2) dur.

Reflektör kullanımı cam ve fırın çekişine göre değişir. Örneğin, soda-kireç-silos camının ergitildiği kısa ömürlü bir fırında ergitme bölümü yan duvarları silimanitten yapılırken, uzun ömürlü bir fırın için ergimiş AZS (alümina zirkonya silika) kullanılır. Düşük çekişli borosilikat fırının ergitme havuzu kemeri için silis kullanılırken, yüksek çekişli olan için mullit tercih edilir.

Bölgelere göre bir fırında kullanılan reflektör malzemeler aşağıda özetlenmiştir:

Silos: Fırın ana kemeri ve alın duvarı, çalışma bölgesi üst yapısı için kullanılır.

Ateş tuğası: Fırın taban yalıtımları, baca duvarları ve alt rejenarator sıcak yüzeylerinde veya üst rejenarator duvarlarındaki krom-magnezitlerin arkasında kullanılır.

Sillimanit: Soda-kireç-silos fırınlarında AZS yan duvarların arka bloğu, çalışma bölgesi yan duvar blokları, taban blokları, fırın bölme duvarı örtüsü, feeder kanalları, üst yapıda kullanılır.

Mullite: Soda-kireç-silis fırınlarının arka duvarlarında, besleme ağzı kemerlerinin üstünde, portlarda, rejeneratör kemerlerinde, duvarların üst kısmında, feeder kanallarında, bek bloklarında kullanılır.

Zirkon: Fırın taban kaplamasında, fırın üst yapısında AZS ve silis arasında tampon sıra olarak kullanılır.

Ergimiş AZS: Soda-kireç-silis fırınlarında ergitme bölgesi yan duvarları, taban kaplaması, üst yapıda, besleme ağzı kemerlerinde, boğazda, elektrod ve habbe blokajlarında, baraj duvarlarında, port ağızlarında, bek bloklarında kullanılır.

Krom-magnezit: Portların ikinci bölgelerinde, rejenaratör duvarlarında, kemerlerde kullanılır.



4. FIRINLAR

4.1 Yapılarına Göre Fırın Tipleri

Günümüzde kullanılan cam fırınlarının, ergitme bölümü, rafinasyon bölümü, ve çalışma bölümü olmak üzere üç temel bölümü vardır. İlk iki bölüm birbiriyle birleşik yapıdadır. Bundan sonra ergitme ve rafine bölümüne birlikte ergitme bölümü denilecektir. Buna göre fırınlar ergitme bölümü ile çalışma bölümü arasındaki bağlantıya göre sınıflandırılabilir.

- a) Boğazlı fırınlar
- b) Köprülü fırınlar
- c) Bir bölmeli fırınlar
- d) Günlük (pota) fırınlar (Günther 1958).

Küçük ölçekli üretimlerde pota fırınları kullanılır. Bunun dışında günümüzde yüksek kapasiteli üretimlerde boğazlı (throat) fırınlar kullanılır. Boğazlı fırınlar, yanma havasının ön ısıtmasına göre aşağıdaki gibi sınıflandırılabilir.

- a) Karşı yanmalı rejeneratif fırınlar
- b) Sondan yanmalı rejeneratif fırınlar
- c) Rekuperatif fırınlar
- d) Oksi-yakıtlı fırınlar
- e) Elektrikle ısıtılan fırınlar (Akgün ve Çoban, 1997).

Üretim kapasitesine göre optimum fırın tipleri Çizelge 4.1' de gösterilmiştir.

Çizelge 4.1 Üretim kapasitesine bağlı olarak kullanılan fırın tipleri

Kapasite (t/gün)	Karşı yanmalı rejeneratif	Sondan çıkışlı rejeneratif	Reküperatif üniteli	Oksi-yakıtlı	Elektrikli
>500	Kesin	-	-	-	-
100-500	Uygun	Tercih	Tercih	Tercih	Tercih
25-100	Tercih	Tercih	Tercih	Tercih	Tercih

(Akgün ve Çoban, 1997)

Bu fırınların birbirine göre pozitif ve negatif yönleri de Çizelge 4.2' de gösterilmiştir.

Çizelge 4.2 Fırın tiplerinin pozitif ve negatif yönleri

	Pozitif Yönler	Negatif Yönler
Tam Elektrikli Ergime	Yüksek kalite	Kısa kampanya ömrü
	Düşük devitrifikasyon / taş hataları	Düşük ergime kapasitesi ayarı
	Düşük habbe	Operasyona hassas
	NO _x düşük	Yüksek elektrik maliyeti
Gazlı Rejeneratif	Operatörle dost	Kısa rejeneratör dolgu ömrü
	Kapasite ayarı kolay	Yüksek taş hatası
	Orta derecede habbeli	Yüksek yatırım tutarı
	Düşük yakıt maliyeti	NO _x yüksek
Gazlı Reküperatif	Operatörle dost	Reküperatör aksaklıları
	Kapasite ayarı kolay	Daha yüksek taş hataları
	Orta derecede habbeli	NO _x yüksek
	Düşük fırın maliyeti	
Oksijenli Gaz Yanmalı (Oxy-fuel)	Operatörle dost	Oksijen tesisi yatırımı
	Kapasite ayarı kolay	Oksijen tüketimi
	Düşük habbeli	Çabuk reflektör bozunumu
	NO _x düşük	
	Yakıt tasarrufu	

Cam ergitme fırınlarında oksi-yakıt kullanımı son yıllarda artış göstermiştir. Bunun başlıca nedeni, klasik yanmalı fırnlara göre kirletici emisyonlardaki azalmadır. Bu azalma, NOx'de %85, partikül emisyonunda %30-70 kadardır. Fırın tipine bağlı olarak enerji tüketimindeki azalma ise, doğrudan yanmalı fırnlara göre %60, rekuperatif fırnlara göre %50-55, rejeneratif fırnlara göre %40-45 kadar olur. Böylece tonajda ise %25 ek bir kapasite artışı mümkün olur. Fırını daha kararlı işleteker kalite artışı sağlanır. İlk yatırım, rejeneratör için gerekli yatırımdan dolayı daha azdır.

Elektrikli fırınların en yaygın olarak kullanılan türleri ark, indüksiyon ve direnç fırınlarıdır. Ülkemizde elektrik enerjisinin pahalı olması nedeniyle, bu tür fırın uygulamaları ile ilgili örnekler azdır. Bileşik fosil yakıtlı-elektrikli fırınlar, fosil yakıtlı fırnlarda üretim kalitesini artırmak amacıyla ek enerji olarak elektrik enerjisi uygulamasıdır (boosting).

Cam sektöründe kullanılan pota fırınlarında alev alttan uygulanmakta ve atık gaz üstten atılmaktadır. Tek ve çift potalı fırınlar optik ve endüstriyel cam uygulamalarında, çok potalı fırınlar ise renkli ve kristal cam üretiminde kullanılır. Potalı fırınlar, günde 20 ton veya daha az miktarda cam üretilmesi ve cam formülünün sık değişmesi durumunda kullanılır. Isı geri kazanımı için rejeneratif sistemler çoğunlukta olmakla birlikte, rekuperatif sistemler de kullanılır. Potalı fırnlarda ısıl verim %3-10 arasındadır. Potalı fırnlarda cam ergime işleminin tüm aşamaları pota içinde gerçekleşmektedir. Tek bir potanın kapasitesi 0,5-1 ton olup, ergime periyodu 16-24 saatdir.

Ceşitli formlarda olabilen pota fırınları 1 ile 20 arasında pota içerebilir. 1, 10 ve 20 potalı fırnlara sıkça rastlanır. Pota fırınları cam sanayinde, küçük atölyelerden, ticari olarak el üretimi kristal cam eşyaların yapımının gerçekleştirdiği büyük boyutlu işletmelere kadar yaygın biçimde kullanılır. Pota fırınlarının kapasiteleri en fazla 2000 kg dolayındadır. Bu fırınların, dışı saç, iç kısımları ise ateş tuğlasından oluşmaktadır. Potaların üstü açık veya bir kapak ile kapatılmış olan iki tipi vardır. Genellikle 60-80 cm yükseklik ve 1 m genişlikte olup, bu ebatlarda 400-800 kg erimiş cam kapasitesine sahiptirler.

Potalı fırınlar kare veya dikdörtgen şeklinde olup sıvı veya gaz yakıtlı ısıtılırlar. Genel olarak bir seramik rekuperatör kullanılarak yanma havası ön ısıtması yapılır. Yanma havası ön ısıtma

yapılmiyorsa fırın yoğun olarak izole edilir. Tek pota fırınları elektrikle ısıtılabilir. Buradaki ısı ısınımı ana ısı transfer yöntemidir ve elektrodlar genellikle molibdendisilis' den yapılır. Dört veya daha fazla sayıda pota içeren fırınlar, genellikle dairesel formdadır Bu tip fırınların da genellikle seramik rekuperatörleri vardır. Alev genellikle fırın tabanındaki bir aralıktan girer ve dairenin dış tarafına doğru potalara yakın yerlere yerleştirilmiş baca kanallarından atılır.

Tank fırınları: İki tip tank fırını vardır. Birincisi aralıklı çalıştırılan günlük tank fırınları, ikincisi sürekli çalışan tank fırınlarıdır. Günlük tank fırınları, genellikle günlük cam ihtiyacının bir tek potanın sağlayabileceğinden daha fazla olduğu durumlarda kullanılır. Bu tip fırınlar, ayrıca özel camlar için kullanılır. Küçük atölyelerde kullanılan minyatür tipleri de vardır. Bu fırınlar, genellikle dikdörtgen prizma biçimindedir. Günlük fırınlar kırılabilecek potaları olmadığından pota fırınlarından daha dayanıklıdır.

Sürekli fırınların boğazlı veya boğazsız olan tipleri mevcuttur. Fosil yakıt kullanılan tüm sürekli fırınlar direkt ateşlemelidir, diğer bir deyişle alevler cama değer. Bu fırınlar, kullanılan yanma havası ön ısıtma sistemine göre üçe ayrılırlar.

- a) Ön ısıtmasız sistem
- b) Rekuperatörlü ön ısıtma sistemi
- c) Rejeneratörlü ön ısıtma sistemi

Ön ısıtmasız olan fırnlara “unit melter” denir. Bekler fırında karşılıklı olarak yanar ve atık gazlar fırının harman besleme tarafındaki bacadan atılır.

Rekuperatörlü fırınların en basit formları, fırının büyüklüğüne göre bir veya iki rekuperatör içeren unit melterlerdir. Rekuperatörlerin metalik veya seramik olması gereklidir. Yüksek seviyede çekişi olan fırnlarda genellikle bunların her ikisinin kombinasyonu kullanılır. Bu tip fırnlarda alevler fırın ön duvarına ve fırın arka duvarına doğru ilerleyerek dönüş yaparlar ve baca gazları daha sonra fırın arka duvarına yakın konuma yerleştirilmiş olan porttan tahliye edilirler.

Rekuperatörlü fırınlar genellikle küçük kapasitelidir. Büyük olanlar ise endüstriyel cam kap yapımında kullanılır ve kapasiteleri 200 ton/gün seviyesine ulaşabilir. Her ne kadar bir

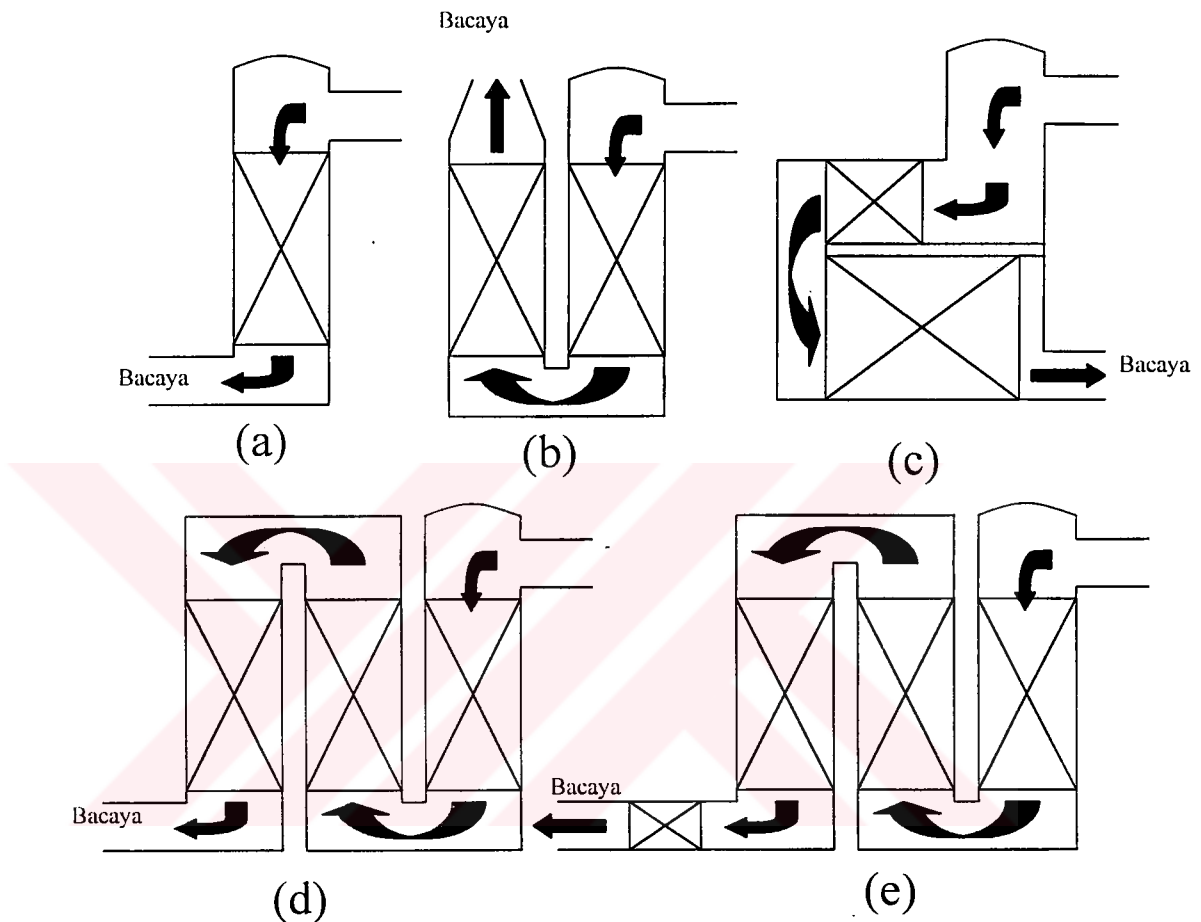
reküperatörde elde edilecek ön ısıtma sıcaklığı sabit olsa da, bu sıcaklık rejeneratörden elde edilecek sıcaklıktan daha düşük olur. Belli bir cam çekişti için gerek duyulan yakıt miktarı, yanma havasının ön ısıtma sıcaklığı yüksek olduğu oranda azalır. Böylece reküperatörlü fırınların ısıl verimin, rejeneratörlü fırnlardan daha az, maksimum çıktısının da daha küçük olduğu görülür.

Rejeneratörlü fırınlar ise ateşleme yöntemlerine göre iki tipe ayrırlar. Birinci tip fırnlarda ateşleme fırın boyunca olur ve arkadan ateşlemeli fırınlar adını alır, alev şekillerinden dolayı “at nali fırınlar” olarak da isimlendirilirler. Bu fırnlarda rejeneratörler dikey veya yatay konumdadır. İkinci tip fırınlar yanlardan ateşlenir ve yandan ateşlemeli fırın olarak anılır. Bu fırnlarda rejeneratörler dikey durumdadır.

Her ne kadar arkadan ateşlemeli fırınlar, yandan ateşlemeli fırınlar ile karşılaşıldığında daha verimli olarak gözüke de ender olarak günde 200 ton üzerinde üretim için kullanılırlar. Bunun nedeni, gereken uzunluktaki alevi oluşturma ve kontrol etmedeki güçlük ve atılacak baca gazlarında tek port kullanma zorunluluğundan kaynaklanan sınırlamalardır. Cam çekişindeki limit, elektrik yardımı kullanarak aşılabilir. Bu durumda ek olarak meydana gelecek baca gazları, fazladan harman kullanımından kaynaklanan gaz halindeki kimyasal reaksiyon ürünlerinden oluşur. Yandan ateşlemeli fırınlar daha yüksek çekiş sağlarlar.

4.1.1 Karşı Yanmalı, Çok Geçişli Rejeneratif Fırınlar

Rejenerasyonla ısı geri kazanımında eksoz gazları kullanarak tuğla örümleri ısıtılr, sonra bu ısı yanma havasına alınır. Bu yöntem uzun yıllardır cam sanayinde kullanılır. Rejeneratörde tuğla örümleri yatay ve dikey yerleştirilebilir. Şekil 4.1’ de tipik tuğla örum düzenlemeleri görülebilir. İstenirse dört geçişten fazlası da yapılabilir. Yatay ve düşey düzenlemelerden biri optimum şartlarda yerleştirilerek, baca bağlantısı yapılip gaz atılır. Oklar atık gaz akışının yönünü göstermektedir, yanma havası da ters yönde hareket eder.



- a)Tek Geçişli Dikey
- b)Çift Geçişli Dikey
- c)Çift Geçişli Yatay
- d)Üç Geçişli Dikey
- e)Dört Geçişli Yatay ve Dikey

Şekil 4.1 Tipik rejeneratör düzenlemeleri
(Turton. ve Argent, 1988; Turton. ve Argent, 1989a)

Son yıllarda dünya cam sanayiinde çok geçişli örüm sistemleri (multipass checker systems) yaygınlaşmaya başlamıştır. Bu sistem daha çok sondan yanmalı fırnlarda kullanılmaktadır. Bu uygulama ile eksozun bir porttan çıktıgı durumunda, fırının yatırım maliyeti çok azalır ve daha basit bir yapıya kavuşturur. Bir portlu fırnlar atık gaz, yanma havası ve yakıtın gerçek dağılımı problemini minimize eder. Çok portlu karşı yanmalı (multiport cross fired) fırnlarda ise düzgün dağılım daha zordur ve daha pahalıdır. Tam bir dağılım ve kontrol için portlar odacıklara bölünmüştür. Her birinin kendi geri dönüşümü (reversal) ve yanma havası girişi vardır. Bu yapı ve yerleşim sistemi pahalıdır. Maliyeti azaltmak için tuğla örtümlerinin sayısı azaltılır, baca gazi akışı ve bir geri dönüş sistemi kullanılabilir; fakat bu prosesin sorunu bütün portlarda yanma dengesinin yetersiz kalmasıdır. Pratikte bu sorunlar, yanma havası ön ısıtma sisteminin verimsiz olmasından çok daha önemlidir.

Toplam enerji gereksinimi, cama giden enerji, duvar kayipları ve baca kayiplarından oluşur. Cama giden enerji, cam kompozisyonuna bağlıdır. Duvar kayiplarının ise fırın dizaynı, reflektör ve yalıtmının birlikte ele alınması gereklidir. Yukarıda belirtilen iki ısı kaybının toplamı fırın için gereken toplam ısı miktarıdır. Bacadan atılan enerji ise, fırının içinde kullanılan enerjiye fazladan bir miktar enerji verildiğini gösterir.

Fırın içinde cama geçen toplam enerji faydalı ısı olarak adlandırılır. Isı geri dönüşümü, yanma havası ön ısıtması için baca kayiplarının bir kısmının geri çevirerek, fırın enerji ihtiyacının azaltılması nedeniyle önemlidir. Hava ön ısıtma sıcaklığı arttırdığı oranda ısı geri dönüştürülebilir. Isı geri kazanımı su ve karbondioksit gibi özellikle yüksek radyasyonlu gazların atık gaz kompozisyonunda ki oranları ile de etkilenir.

Çizelge 4.3' de gaz ve sıvı yakıtlar için, değişik ön ısıtma sıcaklıklarında ısı geri kazancını gösterir. Buradan fırnlar için ısıl verim hesaplanabilir. Şekil 4.2' de yanma havası ön ısıtma sıcaklığı ile değişen enerji tüketimini (10^6 kJ/h) görebiliriz. Dört portlu, karşı yanmalı, 264 ton/gün soda-kireç-silik ambalaj camı üreten fırının yanma havası ön ısıtmasını gösterir. Fırın doğal gaz yakar, 84 m^2 ergitme alanına sahiptir, harmana %25 oranında kırık camla eklendiğinde, $25 \cdot 10^6$ kJ/kg lik enerjiye tüketir. Fırın çatısı çalışma sıcaklığının 1570°C ulaşır, bu şartlarda duvar kayipları $15,53 \cdot 10^6$ kJ/h' e ulaşır. Sıvı yakıt alevinin radyasyonunun, gaz yakıt alevi radyasyonundan daha küçük olması, verimi azaltır. Sonuç olarak rejeneratör sıcaklığı ve buna

bağlı olarak önisıtma sıcaklığı, sıvı yakıt kullanıldığından daha düşük olacaktır. Bu fırında ön ısıtma sıcaklığını 980°C ' den 1130°C ' ye çıkarıldığında, enerji ihtiyacı 950 MJ/h azalır. Gazın fiyatının $33,8 \text{ \$/MJ}$ olduğu varsayılsa, günde 264 ton cam üretilen bu fırında yılda $274\,000\text{ \$}$ tasarruf sağlanır.

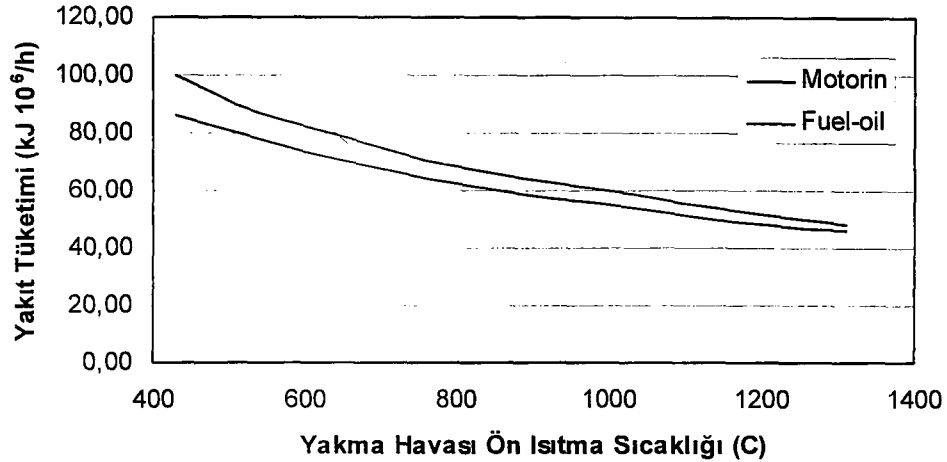
Birçok fırın yanma havasını tek geçişli rejeneratör ile ısıtılır, bu durumda yanma havası 1050°C ile 1150°C arasına çıkar. Bu tip firinların çok azında enerji ihtiyacı $47,5 \cdot 10^6 \text{ kJ/ton}$ ' un altında kalabilmiştir. Karşılaştırırsak iki yada üç geçişli rejeneratörde yanma havası ön ısıtması 1300°C civarında bir sıcaklığa ulaşır ve ısı ihtiyacı $37 \cdot 10^6 \text{ kJ/ton}$ altında kalır. Özel bir durum olmadığı sürece, sondan yanmalı firnlarda tek geçişli rejeneratör yapımı ekonomik değildir.

Çok geçişli rejeneratörlerin karşı yanmalı firnlarda çok az kullanılması sorusuna yanıt vermek gerekirse, bu uygulamanın ekonomikliğine bakmak gereklidir. Tipik rejeneratör dizaynına dönülüp, hangi parametrelerin gerekli olduğuna bakarsak; geçmişte çok yaygın olarak firının rejeneratif kapasitesini belirtmek için kutu örüm hacim oranı da olaraq da bilinen, ergime alanının kutu örüm hacmine olan oranı kullanılırdı. Daha yüksek orana sahip rejeneratörlerin daha iyi olduğuna inanılırdı. Bununla birlikte bu oran bize kesin bir sonuç vermez.

Çizelge 4.3 Değişik ön ısıtma sıcaklıklarında fırın ısıl verimi

Yanma Havası Sıcaklığı ($^{\circ}\text{C}$)	Isıl Verimi (%)	
	Gaz	Sıvı Yakıt
400	36.87	41.54
500	41.02	46.21
600	45.17	50.88
700	49.32	54.80
800	53.48	58.71
900	57.70	62.69
1000	62.00	66.73
1100	66.36	70.84
1200	70.80	75.02
1300	75.15	79.11

(Turton. ve Argent, 1989a)



Şekil 4.2 Yanma havası ön ısıtmasının yakıt tüketimine etkisi
(Turton. ve Argent, 1989a)

Rejeneratörden baca gazı geçişi sırasında, baca gazından duvara doğru ısı transferi olur. Daha sonra bu olayın ters yönünde duvardan yanma havasına ısı transferi olur. Rejeneratördeki ısı transferi temelde taşınımla olur. Eksoz çevriminde karbondioksit ve sudan bir miktar radyasyonla ısı transferi olsa da, genelde taşınım daha çok öne çıkar.

Taşınımla ısı transferi (h) ile gösterilirse, rejeneratör etkisinin ana parametreleri,

$$h_t \propto (v^{0.8} A \Delta T) / d^{0.2} \text{ olur (Turton ve Argent, 1989a).}$$

Burada (v) baca gazı hızı, (A) ısı transfer alanı, (ΔT) gaz ve duvar arasında sıcaklık farkı, (d) tuğla örüm akış çapını gösterir. Büyük baca gazı debisinin, daha fazla ısı transfer alanı ve sıcaklık farkına, bunun yanında daha küçük akış boyutuna ihtiyacı vardır.

Çizelge 4.4' de serbest akış kesişme bölgesinin uzunluğu ve en çok kullanılan rejeneratör paketi tipleri için elde edilen ısıtma yüzeyleri gösterilmiştir. Paketler, 10-20 cm boyutlarında ve 3,5-7,5 cm kalınlığında ve akışkanı saran tuğlalardan oluşmuştur. Bazı paketler tipleri ısı rejenerasyonu için, diğerlerinden daha iyi performans gösterirler. Önsekillendirilmiş bloklar en çok, sepet

örümü ise en az ısı transferi yapan örme şekillerdir. Kararlılık, blok direnci ve aşınma gibi diğer faktörler de paket seçiminde göz önüne alınması gereken faktörlerdir.

Pratikte baca gaz hızı, ısı transfer alanı ve akış çapı birbiriyle ilişkilidir. Bu ilişkiye belli ısı transfer alanı için, yüksek hızda küçük geçiş bölgesi alanlarından oluşan uzun paketlerde daha kolay görebiliriz. Örneğin, dört akışlı 15×15 cm boyutlarında ve 2,5 cm yüksekliğinde bir paket 600 cm^2 ısı transfer alanına sahip olur. Eğer iki akış olursa hız iki kat artar ve aynı ısı transfer alanı için 5 cm yükseklik gereklidir. Rejeneratör dizaynında başlıca göz önüne alınan faktörler, kullanılan baca gazi hızı ve ısı transfer alanıdır. Baca gazi hızı doğrudan akış boyutları ve akış sayısı ile ilişkilidir. Hızı optimize etmek için, akış boyutlarının olabildiği kadar küçük ve akış sayısının olabildiğince az olması gereklidir. Bu da sonuçta uzun rejeneratör paketiyle (packing) sonuçlanır. Bu çok geçişli (multipass) rejeneratörün avantajıdır.

Çizelge 4.4 Jeneratör parametrelerinin karşılaştırılması

Paketleme tipi	Tuğla ölçülerleri (m^3/m^3)	Serbest akış geçiş bölgesi (m^2/m^2)	Isıtma yüzeyi (m^2/m^2)
Preforme blok	0,27-0,40	0,58-0,62	4,10-5,10
Sepet örümü	0,34-0,61	0,32-0,53	2,50-3,70
Güvercin yuvası	0,25-0,42	0,32-0,56	3,30-4,60
Aksak güvercin yuvası	0,25-0,55	0,35-0,56	3,45-4,70

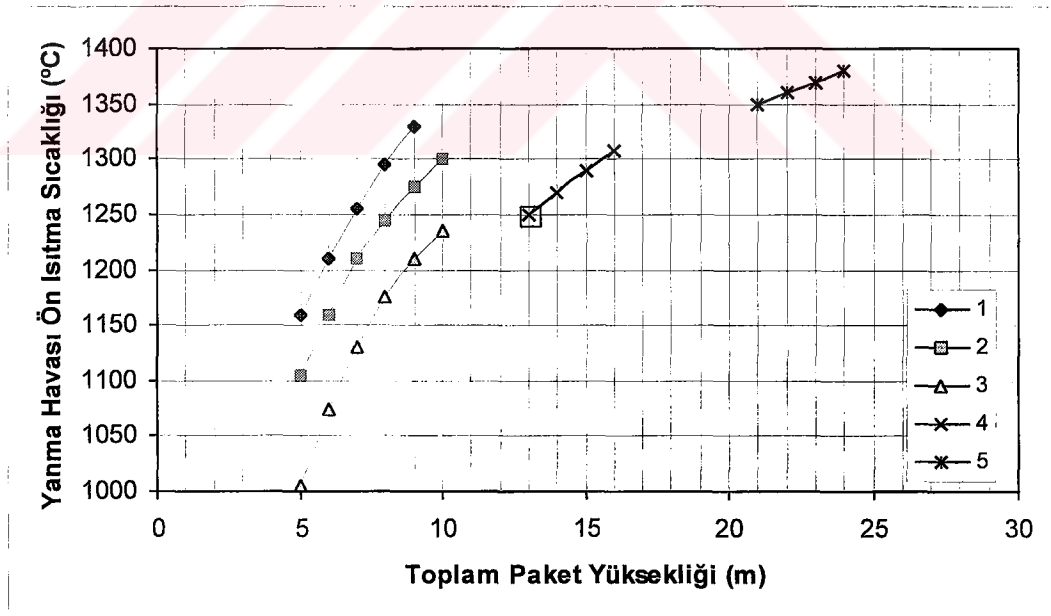
(Turton. ve Argent, 1989a)

Cok geçişli rejeneratör kullanıldığından, uygun atık gaz hızı sürdürülerek büyük bir ısı transfer alanı olan rejeneratör paketi yapılabilir. Kullanıcıların ve reflektör üreticilerinin deneyimleri, rejeneratör paket dizaynlarının değişik tiplerinin geliştirilmesinde rol oynamıştır. Jeneratör paketlerinde istenen en önemli özellik, zamanından önce blokaj olmadan ve çökmeden, ömrü ve verimin optimize edilmesidir (Turton ve Argent, 1989a; Turton ve Argent, 1989c).

Önemli bir sorun da, karşı yanmalı tek geçişli fırılarda rejeneratör paketinde gaz hızının çok sık olarak 0,5 metreye kadar düşmesidir. Paket boyları çok uzun değildir, 5,25 ila 7,75 metre arasında değişir. Bu ölçüler sondan yanmalı fırılarda 6 metre ile 11 metreyi bulur. Sonuç olarak yanma havası ön ısıtması sadece 1130°C civarındadır. Odaların (chamber) büyük geçiş bölgesi

alanına ihtiyaç duyması da hızın neden düşük olduğunu açıklayan nedenlerden biridir. Odalar bütün portları kaplamakla kalmayıp, herbirinin arkasına doğru en az 60cm lik kısmında çelik yapıyı destekler. Yüksek hızda atık gazın vuruntusu nedeniyle hedef duvarı (target wall) koymak için minimum 2,5 metre genişliğe ihtiyaç vardır. Bu konstrüktif zorlamalar sonucu büyük geçiş bölgesi alanları kullanılır. Optimum hız için yapılan küçük geçiş alanları kullanılamaz. Bu durum özellikle ambalaj (container) camı yapımında kullanılan küçük fırnlarda geçerlidir. Yüzer (float) gibi büyük fırnlarda ise geçiş bölgesi alanında hız optimum düzeye yakın olur.

Bu gerçek bize, karşı yanmalı fırnlarda çok geçişli rejeneratörlerin kullanılması gerektiğini gösterir. Fransız füzyon döküm rejeneratör üreticisi SEPR' in yaptığı bilgisayar programında, yanma havası ön ısıtması değişik rejeneratör yapıları için hesaplanmıştır. Şekil 4.3 ve Çizelge 4.5'de 1, 2 ve 3 eğrileri tek geçişli yapıyı, 1 ve 2 eğrisi SEPR'in ürettiği haç şeklinde döküm (fused cast criciform) paketini, 3 eğrisi ise geleneksel sepet örgüsü şeklinde birbirine şapla bağlanmış tuğlaları gösterir. Beklenildiği gibi, daha fazla ısı transfer alanı olan haç şeklinde (criciform) paketinin sepet örümüğe göre daha yüksek ön ısıtma sıcaklığına erişir. Şekil 4.4' de SEPR' in programı kullanılarak bulunan ön ısıtma sıcakları verilmiştir.



Şekil 4.3 SEPR programı kullanılarak bulunan ön ısıtma sıcaklığı
(Turton. ve Argent, 1989b)

Çizelge 4.5 Değişik örgü şekillerinde ve farklı geçiş sayılarında atık gaz hızları

Örülme tipi ve malzemesi	Baca gazi hızı			
	Çok hızlı			
	Tek geçişli	1. Geçiş	2. Geçiş	3. Geçiş
Bağlanmış tuğla örümü/sepel ölçümü	0,8-1,0	1,3	2,0	3,3
Bağlanmış blok örümü/Veitcher	1,0-1,1	1,6	2,6	-
Döküm blok örümü/Haç şeklinde	1,3-1,5	2,0	3,3	-

(Turton. ve Argent, 1989b).

Çizelge 4.6 bize Şekil 4.4' de verilen paketlerle ilgili verileri gösterir.

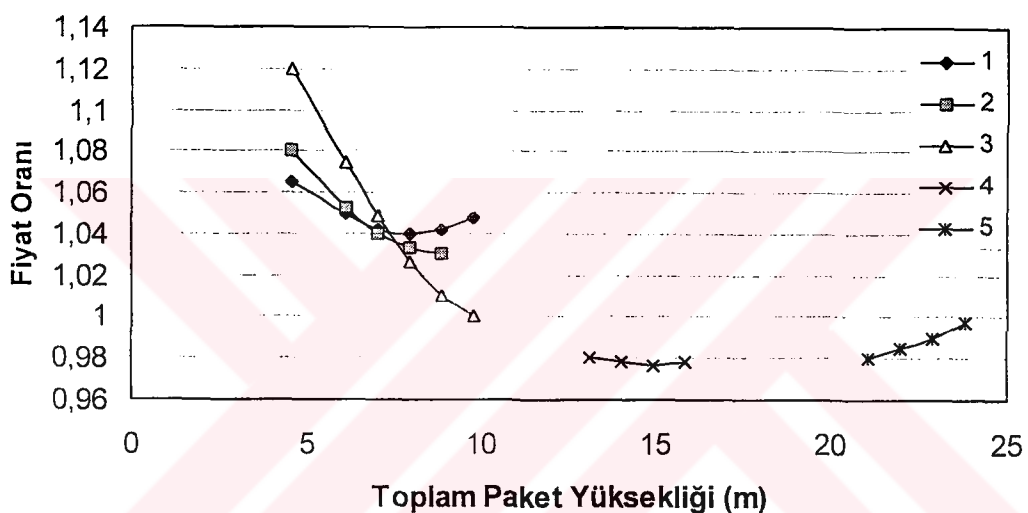
Çizelge 4.6 Şekil 4.3' de bulunan ön ısıtma eğrilerinin verileri

Eğri No	Atık Gaz Sıcaklığı (°C)	Paket Hızları (m/s)			Paket Malzemesi
		1.Gecis	2. Geçiş	3. Geçiş	
1	1450	0,3	-	-	14 x 14 mm haç örümülü
2	1450	0,4	-	-	14 x 14 mm haç örümülü
3	1450	0,3	-	-	16,5 x 16,5 mm sepet örgüsü
4	1450	0,6	0,8	-	14 x 14 mm haç örümülü ve güvercin yuvası
5	1450	0,6	0,8	1	14 x 14 mm haç örümülü ve güvercin yuvası

(Turton ve Argent, 1989b).

Bütün eğrilerde rejeneratör duvar kayipları %5, parasitrik hava girişi %10, rejeneratöre hava girişi 50°C, rejeneratör dönüş süresi 25 dakikadır. Şekil 4.4' de 1 eğrisi 2' den daha küçük gaz hızında dizayn edilmiştir. Bunun sonucunda, 1 eğrisinde ön ısıtma daha fazla olur. Aynı atık gaz devresinde ve aynı rejeneratör paketi yüksekliğinde hız 1,2 m/s den 0,9 m/s ye düştüğünde, geçiş bölgesi alanı % 33 artar buna bağlı olarak toplam ısı transferi de artar. 3 eğrisi ile gösterilen sepet (basket) örümülü rejeneratörün eşit hızda haç örümülü (cruciform) rejeneratörden daha fazla geçiş alanı vardır. Bunun nedeni sepet örümülü rejeneratörde 6 cm kalınlığında tuğla kullanırken haç

örümlü rejeneratörde 3,5 cm kalınlığında tuğla kullanılmasıdır. Bununla birlikte haç örümü şeklinde rejeneratör, sepet örümlü rejeneratöre göre daha fazla serbest akış alanına ve birim başına daha fazla akışa izin verir. Gerçek ısı transfer alanı sepet örümlü rejeneratörde daha azdır bu yüzden daha düşük ön ısıtma sıcaklığı oluşur. 4 eğrisi iki geçişli yapı içindir, burada ilk geçiş değişken yükseklikte haç şeklinde, ikincisi ise sabit yükseklikte güvercin yuvası (pigeon hole) şeklindedir. Uygun hız olarak alabileceğimiz 1,75 m/s hızda, ilk geçişin ısı transfer alanı 1 ve 2 eğrisine göre daha düşüktür. 5 eğrisi üç geçişli yapı içindir, burada ilk geçiş değişken yükseklikte haç örümlü, ikinci geçiş sabit yükseklikte haç örümlü, üçüncü geçiş sabit yükseklikte güvercin yuvası örümlüdür.



Şekil 4.4 Değişik rejeneratör paketlerinin fiyat verimlerinin karşılaştırılması
(Turton ve Argent, 1989b)

Paketlerin maliyeti, 60 aylık periyod için ilk yatırım ve işletme maliyetlerinin toplamı ile hesap edilerek yapılabilir. Örnek olarak 264 ton/gün üretimi olan 850 m^2 'lik bir fırın ve toplam gaz maliyeti olarak $9,38 \text{ \$/kW}$ bulunmuştur. Şekil 4.4' de her bir rejeneratör yapısının toplam maliyeti gösterilmiştir. Bu maliyet, 10 metre basket örüm paketinin fiyatı kullanılarak belirlenmiştir.

Bu olaydan çıkan önemli bir sonuçlardan biri, iki ve üç geçişli rejeneratörlerin bir geçişlilere göre daha ekonomik olduğunu söylemektedir. Fakat bu fark sadece çok küçüktür. Diğer bir önemli sonuç, sabit geçiş

alanlı ve yüksek hızlı atık gaz rejeneratör paket tipi için, optimum maliyet verimi yüksek olmalıdır. Önceden de tahmin edileceği gibi iki kat paket yüksekliği yaklaşık iki kat yatırım maliyeti getirir ve bu durumda yakıt harcaması sadece küçük oranlarda düşer. Böylece her ilk yatırım için en verimli rejeneratör paketi dikkatle hesap edilmelidir. Tek geçişli rejeneratörler (eğri 1, 2, ve 3), akışın düşük hızda haç örümlü durumda 4,6-6,7 metre, yüksek hızda haç örümlü durumda 6,7-7,9 metre ve basket örümünde ise 7,9 metrenin üstünde olduğunda daha verimli olur. Sepet örümelerinin iki geçişli olanları 16 metre yükseklikte optimum değere ulaşır. Üç geçişli örneklerin en küçük olanı bile yeterli değerleri sağlar. Bununla birlikte ikisi haç örümlü, biri güvercin yuvası olan üç geçişli sistemin, biri haç örümlü, biri güvercin yuvası olan iki geçişli sistem kadar verimli olmadığı gösterilmiştir (Turton ve Argent, 1989b) (Turton ve Argent, 1989c).

4.1.2 % 100 Oksijen Yanmalı Rejeneratif Fırınlar

Düşük düzeyde oksijen zenginleştirme, oksijen savurmak, ve yardımcı oksijen brülörü 1940' lardan beri cam ergitme fırınlarında, öncelikle de üretim miktarını artttırmak için kullanılır. Son yıllarda günlük tanklar ve ergitme birimlerinin bir çoğu oksi-yakit brülörleri kullanan %100 zenginleştirilmiş oksijenle yakma sistemine (OEC) (oxygen-enriched combustion) dönüştürülmüştür. Bazı durumlarda %100 OEC tek başına enerji tasarrufu bile sağlayabilir. %100 OEC' nin diğer avantajları, düşen NO_x ve emisyon partikülleri, ısı geri dönüşüm sistemlerinde yatırım ve işletme giderlerinin azaltılmasıdır.

Rejeneratif ergiticilerde, %100 OEC' ler, küçük ısı geri dönüştürüüsü kullanılanlara göre göreceli olarak daha az enerji tasarrufu sağlar. Bununla birlikte, oksi-yakit yanması sonucu ortaya çıkan yüksek enerji ve port (ağız) alanın azaltılması yoluyla eriyikten radyasyon ısı kaybının azaltılarak, enerji tasarrufu sağlanır. Bu enerji tasarrufu, yeni hava ayırma teknolojisile düşen oksijen fiyatları, baca gazı emisyonundaki düşüşler başta olmak üzere, cam üreticilerinin karşı karşıya kaldığı her gün artan çevresel kısıtlamalar %10 OEC' li çalışmayı daha çekici bir çözüm kılmaktadır. Oksijen miktarındaki herhangi bir büyük artış hatta %100 OEC ile çalışma sırasında dahi, üretim işleminde bozulma olmaz.

Amerikan Enerji Bakanlığı (U.S. Department of Energy) ve Union Carbide Endüstriyel Gaz Şirketi'nin (Union Carbide Industrial Gases Inc.) birlikte yaptığı bir araştırmaya göre %100 OEC kullanımı ortalama olarak %15 doğal gaz tasarrufu yaptırmıştır. Bu oran günde 40 ton cam üretildiğinde %10, 75 ton üretildiğinde %12 olmaktadır. 75 ton cam üretildiğinde, spesifik yakıt tüketimi $4,96 \cdot 10^6$ kJ' dan $4,32 \cdot 10^6$ kJ' a, toplam spesifik yakıt tüketimi $5,64 \cdot 10^6$ kJ' dan $5,01 \cdot 10^6$ kJ' a düşer. Daha basit port dizaynlarına geçilerek ek tasarruf elde edilir.

Enerji tasarrufu için ikinci temel etken, %100 OEC de eriyikten rejeneratöre doğru azalan radyasyondur. Çizelge 4.7 ve Çizelge 4.8' de gösterildiği gibi modeldeki alan küçülmesi, görüntü faktörleri ve sıcaklıkların hesaplanması sonucunda, radyasyon miktarı ilk durumun üçte birine düşer. Sürekli çalışma sırasında $4,90 \cdot 10^6$ kJ/ton'a düşen toplam spesifik enerji tüketimi ve 75 ton/günde %15'e çıkan enerji tasarrufu ile yeni port (ağız) alanı ile daha da azaltılabilir.

Yukarıdaki değerler ile ve diğer spesifik enerji değerleri bize yüksek hava infiltrasyonunun etkisini yansıtır. Eğer tahmin edilen hava infiltrasyon oranı %80 düşürülebilirse ve fırın %100 OEC ile çalışırsa, spesifik enerji tüketimi yukarıda belirtilen miktardan daha aşağıya, $4,54 \cdot 10^6$ kJ' a düşer.

Yukarıda verilen değerlerden yararlanılarak, klasik prosesin performansı ile %100 OEC ile çalışan prosesin performansı karşılaştırılabilir. Bir önceki klasik prosesile çalışmanın sonunda günde 65 ton cam üretildiğinde, spesifik yakıt enerjisi $5,06 \cdot 10^6$ kJ, elektrik enerjisi $1,67 \cdot 10^6$ kJ olmak üzere toplam enerji tüketimi $6,73 \cdot 10^6$ kJ olur.

Elektrik "boost" un çok daha fazla kullanılmasına rağmen son proses sistem çalışma ile karşılaştırıldığında, %100 OEC kullanımında toplam spesifik enerji tüketiminde %25' lik bir azalma gözükür.

Artan duvar kayipları yüzünden %100 OEC' li çalışma sırasında enerji performansında bazı düşüşler beklenebilir. Bununla birlikte yakma havası kullanılan sistemde büyük çapta rejeneratör kirlenmesine görülür. Bu kirlenme % OEC' de daha az olur.

Çizelge 4.7 %100 Oksijenli yanmada (%100 OEC) enerji değerleri I

Operasyon Şartları	Hava	Oksijen	Oksijen ve ek portla
Cam Üretimi (ton/gün)	75	75	75
Doğal Gaz Tüketimi (10^6 kJ/h)	15,5	13,6	13,2
Elektrik Tüketimi (kW)	590	590	590
Toplam Spesifik Enerji Tüket. (10^6 kJ/ton)	5,64	5,03	4,90
Brülörde A/F veya O ₂ /F Oranı	11,2	1,65	1,65
Oksijen Tüketimi (ton/gün)	-	21,5	20,9
Soğuk Hava İnfiltasyonu (m ³ /saat)	710	710	710
Ergitme eksoz Sıcaklığı (°C)	1455	1455	1455
Ön Isıtma Sıcaklığı (°C)	1165	1165	1165

(Tuson vd.,1992)

%100 OEC ile çalışan örnek çapraz yanmalı (cross-fired) fırında yakıt tüketimi $3,26 \cdot 10^6$ kJ, elektrik tüketimi $0,54 \cdot 10^6$ kJ olmak üzere toplam spesifik enerji tüketimi $1055 \cdot 10^6$ kW olarak bulunmuştur. Bu klasik prosese göre elektrik “boost” da %5 azalmayı gösterir. Söz konusu durumda %100 OEC ile çalışmada spesifik enerji tüketiminin, klasik çalışmaya göre %27 az olduğu görülmüştür. Değişen cam kırığı oranının ve elektrik “boost” ayarlarının fırın çalışmasında önemi büyüktür. Baca gazı partikül emisyonları da %100 OEC'de ortalama %25 azaltılmıştır.

76 ton/gün üretim gerçekleştiren %100 OEC' li çalışma sırasında, ölçülen baca gazı hacmi, 63 ton/gün, üretim gerçekleştiren klasik çalışmada baca gazı hacminin sadece %75' i kadardır (Tuson vd.,1992).

Çizelge 4.8 %100 Oksijenli yanmada enerji değerleri II

Operasyon Şartları	Hava	Oksijen	Oksijen ve ek portla
Girdiler (10^6 kJ/gün)			
Yakıt	371	327	317
Elektrik	51	51	51
Yanma Ürünleri	3	3	
Hava Ön Isıtması	14	14	0
Toplam Girdiler	609	391	368
Çıktılar (10^6 kJ/gün)			
Cama (harmandaki CO ₂ dahil)	194	194	194
Rejenratörden Radyasyonla	22	7	2
Duvar Kaybı	44	44	44
Eksoz Gazı (harman. CO ₂ hariç)	349	146	128
Toplam Çıktı	609	391	368
Yakıt Tasarrufu (10^6 kJ/gün) /gün		44	54
%		11,9	14,5
(10^6 kJ/gün) / ton O₂		2,05	2,57

(Tuson vd.,1992)

4.1.3 Elektrikli Sürekli Fırınlar

Fuel-oil ve doğal gaz kullananlar dışında elektrikle ısıtılan sürekli fırnlarda vardır. Ancak elektrik enerjisi pahalı olduğu için bu fırınlar sık kullanılmazlar. Elektrikli fırınların birim ısıtma yüzey alanı başına çekilen cam miktarı yüksek olduğu için yatırım maliyetleri düşüktür. Metodda, elektrodlar arasında yüksek sıcaklıklar yaratılarak cam homojenize edilir ve ısısı harman örtüsünün altına taşıyan kuvvetli dikey cam akımları oluşturulur. Camın özdirenci, sıcaklık yükseldikçe düşer, elektrod üzerinden cama akım verildiğinde, camın sıcaklığı artar. Bu durumda camın özdirenci düşerek akım iletme özelliği artar. Elektrodlar ayarlanabilir çubuklar

şeklinde olabildiği gibi, sabit plaka veya paneller şeklinde de olabilir. Elektrod tipinin seçimi ergitilen camın türüne bağlıdır.

Elektrikli fırınlarda ergitme elemanları olan elektrodlar en önemli elemanlardır. Elektrodlar; reflektörler, elektriksel iletme ve kimyasal kararlılık özelliklerine göre seçilir. Elektrodlar, grafit (C), molibden (Mo), wolfram (W), kalayoksit (SnO), gibi malzemelerden oluşur. Grafit ucuz olup, cama degen yüzeylerinde habbe oluşumuna yol açar. Molibden kararlı ve geçirdir, ancak oksijenli ortamda kararlılığı bozulur. Wolfram dayanıklı buna karşın pahalıdır. Kalayoksit ise aşınmaya dirençli, yarı iletken reflektör bir malzemedir.

Elektrodlu fırınlar elektrod yerleşimlerine göre üçe ayrılır.

- a) Tabandan elektrodlu fırınlar: Elektrodların tabana yerleştirildikten sonra, enerji verilmesiyle tabandan yüzeye doğru cam akımları oluşur. Fırndaki cam yüzeyi harmanla kaplı olup, harman alt yüzeyden ergimeye başlar. Bu şekilde yapılan ergitmede afinasyon prosesi zorlaşır.
- b) Yandan elektrodlu fırınlar: Elektrodların fırının yan tarafına yerleştirilmesi durumunda, harman tabakasının elektrodlara temas ettiği yüzeylerde yüksek sıcaklıklar oluşur. Elektrodların altından tabana kadar olan kısmında ise afinasyon gerçekleşir. Tabana doğru olan cam akımları engellendiği için, yandan plaka şeklinde elektrod yerleştirilir. Elektrod tipine göre kullanılan akım yoğunluğu farklı olup, en uygun yoğunluk 3 A/cm^2 civarındadır. Kullanılan akım yoğunluğu arttıkça elektrodların aşınma hızı da artar. Plaka tipi elektrodlar ısıyı daha homojen dağıttığı gibi aşınma hızı da düşüktür. Elektrodlar aşınarak küçülmesi durumunda tamirleri ancak fırının durdurarak yapılabilmesi, bu tip fırınların sakıncalı yönündür.
- c) Üstten elektrodlu fırınlar: Elektrodlar, harman üzerinden cam içine daldırılması prensibi ile çalışır. Bu tip fırınlarda, elektrodların hava ile temas eden yüzeylerinin iyi korunması gereklidir. Yaygın kullanılan bir fırın tipidir. Genellikle elektrodlarda aşınma uç kısımlardan başlar ve elektrodlargiderek kısalırlar. Bu yüzden fırınlara uzun elektrodlar konur ve kısalıkça içeri itilirler. Elektrodların içine konduğu reflektörler, dayanıklı olmalıdır. Özellikle molibden elektrodların, molibdenin oksijenli ortamlarda kararsız olmasından dolayı, reflektörler arasına, soğutma suyu ile beraber azot ve hidrojen gibi indirgen bir gaz verilerek, oksijenle teması önlenmelidir. Elektrodun reflektör dışındaki bölümünü kaplanarak, hava ile teması önlenmelidir.

Metal olan molibden elektrodlar, cam bileşimindeki sülfatları indirgiyerek camda habbeye neden olurlar. Molibden elektroolu fırınlarında, sülfat miktarı az olan cam bileşimlerin kullanılmaması durumunda habbe oluşmaz.

Konveksiyonel ateşlemeli fırnlarda olduğu gibi bütün elektrikli fırnlardan çekilen cam miktarı takviye ile arttırılabilir. Bu durumda genellikle takviye, harman örtüsü üstten ısıtılmak üzere, sıvı veya gaz yakıt kullanılarak yapılır. Bu tip fosil yakıt ve elektrik enerjisinin birlikte kullanılabildiği fırnlarda enerji kaynakları arasındaki oran %40/60 ile %60/40 arasında değişir.

4.2 Cam Fırınlarının Bölümleri

4.2.1 Havuzlar (tanklar)

a) Ergime Havuzu (melting chamber)

Ergime havuzu genellikle dikdörtgen olur. Uzunluğu ile genişliği arasındaki oran genellikle 1,3:1 ile 2:1 arasındadır. Karşı yanmalı fırınlar 3-4 m. den kısa olmamalıdır. Çatının (crown), eni en fazla 13-14 m. kadar olabilir. Daha geniş olması halinde fırın yapısı çatıyı kaldırıramaz. Sondan yanmalı fırnlarda ergime havuzunun boyunun enine oranı 1,5:1 daha fazladır. Büyük karşı yanmalı düz cam fırınlarında bu oran 2:1 civarında olabilir. Karşı yanmalı ambalaj fırınlarında boy/en oranı daha küçük olup, ortalama 1,3:1, en fazla ise 1,5:1 oranındadır. Havuzların çok uzun ve dar olması, duvar kayıplarının artması nedeniyle istenmez. Üçgen formlu ergime havuzlarına da rastlanabilir. Üçgenin iki köşesinde portlar diğerinde ise boğaz vardır. Burada alev U şeklini alır. Bu havuzlar sürekli cam üretiminde kullanılırlar. Bu sistemle sadece küçük bir çalışma havuzu gereklidir ve üçüncü köşeye kolayca inşa edilebilir. Harman, portların arasına yerleştirilen besleme ağızından gönderilir. Diğer port ile boğazın arasında ikinci bir besleme ağı önerilir (Günther R., 1958).

b) Çalışma Havuzu (working chamber)

Çalışma havuzunun amacı yeterli miktarda cam üretimini ve çalışma bölgesinde yeterli sıcaklığı sağlamak. Çalışma havuzu, ergitme havuzuna yakın bir yere konumlandırılır ve çevresinde gerekli işçi sayısının çalışabileceği yer sağlanır.

Düz camda üretiminde, çalışma havuzu ergitme havuzundan tamamen ayırt edilemez. Ergitme havuzunun standing-off veya rafine havuzu denilen bölgesi, havuzun çalışma havuzuna yakın kısmıdır. Burada hem rafine işlemi yapılır hem de işlem devam etmeden akışkan uzun süre bekler. Ambalaj fırınlarında çalışma havuzu toplam yüzeyin %25-%40' ı arasında bir yer işgal eder. Düz cam fırınlarında karşılığı olan rafine bölgesi %50'ye kadar çıkabilir.

Ergime havuzunun derinliği düz cam için 120-150 cm, yuvarlak cam için 90-105 cm, renksiz ve amber renkli şişe camı için 70-100cm, yeşil şişe camı için 60-75 cm kadardır. Renksiz camda havuz derinliği havuz boyutlarıyla birlikte artar. Derinlik sıcaklığı etkileyerek tabandaki akışın devamlılığı üzerine kesin etkisi olur. Cam rengi değiştirmede olduğu gibi çalışma şartlarındaki herhangi bir değişiklik için de havuz daha hızlı adapte olabilmelidir. Bu nedenle, tankın içерdiği camın azaltılması gerektiğinden, havuz yapısının evrimi derinliğin azaltılması yönündedir. Derinliğin azalması ile kısa devre taşınım (konveksiyon) akımları ve homojenlik de azalır.

Havuz yapısının dizaynı ve ergimiş cam içindeki çözülmüş reflektör malzemeleri de camı etkiler. Tamamlanmamış çözülme sonucu. camda ergimemiş iplikçik veya taş görülmesi camın kalitesini etkiler. Ateş tuğası malzemesi camda çözündüğü zaman, fırın duvarıyla temas eden cam bölgümlerinde alümina zenginleşir. Yüksek alüminalı cam, kalan camla yavaşça karıştığı için, camın havuzdan çıkış noktasına varlığında, düzenli dağılmayan farklı miktarda alümina içerir. Kırıcı indeksin farklığı neden ile bu kompozisyon değişimi iplikçikler olarak gözlemlenebilir. Reflektör malzemesinden kopan bu tür tanecikler kendi büyülüklük ve kendi çözünürlük direncine sahiptir, hızlı çözülemez ve camda taş parçacıkları olarak kalır.

Bu sorumlardan kaçınmak ve en uzun fırın ömrüne ulaşmak için tuğlaların aşınması engellenmelidir. Cam ve tuğlalar arasında sıcaklığın olabilen en düşük düzeyde tutulması sağlanmalıdır. Bu nedenle havuzun en sıcak parçaları asla yalıtılmaz. Buna ek olarak aşınmanın havuzda tuğlaları üzerinde en kuvvetli olduğu seviye olan cam yüzeyi seviyesinde, sürekli ve kuvvetli bir hava soğutma sistemi yerleştirilmiştir. Bunun en önemli nedeni en yüksek sıcaklığın burada oluşmasıdır. Aşınmanın nedeni tam olarak bilinmese de, bunun yüzeydeki kimyasal reaksiyonlardan olduğu düşünülmektedir.

Cam yüzeyinden itibaren tuğlada aşınma, havuzda yukarıdan aşağıya doğru inildikçe azalır. Cam yüzeyinden aşağı inildikçe sıcaklık hızla düşer. Renksiz cam havuzlarında derinlik boyunca yavaşça düşen sıcaklık gradyeniyle, aşamalı olarak tuğla çözülmesinde de düşüş gözlenir. Buna karşı açık yeşil ve düz cam havuzlarında aşağı bölgelerde de bir miktar aşınma oluşur. Yeşil camda ki aşınma yukarıdaki 30cm-40cm bir bölge ile sınırlandırılmıştır gibidir.

Kuvvetli cam aşındırmalarının çevresindeki savunmasız birleşim noktaları bulunmaması için, renksiz camlarda genellikle havuz boyunca dikey tuğlalar kullanılır. Aynı nedenle, düz cam havuzlarının en sıcak bölümleri olan havuzun üst parçalarında yerleştirilen ek duvarda, dikey tuğlalar kullanılır.

Eğer havuz tuğları yatay biçimde inşa edilirse, tuğların dikey kenarları her sırada yarınlı tuğla boyu kaydırılarak döşenir. Bütün tuğların yükseklikleri tam olarak eşit olmadığından, genel olarak tuğları döşerken uçları tam olarak birbirine bağlanamaz, bir çok tuğla bir alt sıra ile kısmi olarak bağlanır. Tam yerleştiremeyen kenar, camın aşındırmasına açıktır. Yatay kenarlardaki korozyon, desteklerle ve devamındaki düşey kenarlarla karşılaşır. Bununla birlikte cam seviyesindeki aşınma önlenemez.

Cam seviyesindeki havuz tuğları, cam seviyesi ne kadar sabit kalırsa, o kadar şiddetli aşınmaya maruz kalır. Bununla birlikte makinaların çoğu mümkün olabilen en sabit cam seviyesinde çalışmayı gerektirir. cam yüzeyi pozisyonu kolay değiştirilemez. Aşınmanın kesin olarak azaltılması mümkünür, bununla birlikte seviyenin sabit kalması bir perioddan uzun sürer ve aşınma ancak küçük miktarlarda azaltılabilir. Soğutmaya rağmen, ilk önce fırının en sıcak parçaları olan ilk porttan önce bulunan yüzey seviyesindeki tuğlalar eskir. Tankın daha uzun çalışabilmesi için, aşınmış bölgelerin dış tarafına genellikle ateş tuğları döşenir.

Havuz tuğlarının kalınlığı genellikle 30 cm dir. Sadece özel dayanıklı tuğlalar 20 cm den incedir. Derin havuzlarda, birden fazla ömür süresince kullanılabilmesi için alt seviyedeki tuğlalar 40 cm olur. Eğer iç taraflarda fazla aşınma olursa, kalan taban seviyesinin üstüne yeni seviyeler inşa edilebilir.

Bütün havuz, taban seviyesindeki tuğlalara, bazen de orta seviye tuğlalara oturan çelik çerçevelere bağlanır. Alt tuğlalar 30 cm kalınlığında, 80cm - 100cm boyunda kare veya aynı boyda, boyu eninin iki katı dikdörtgen şeklinde olabilir. Alt tuğlaların eğme gerilmesinin verilen limitleri içinde kalması için, iki destek noktası arasındaki genişlik 40 cm yi aşmamalıdır (Günther R., 1958).

4.2.2 Besleme Ağızları (doghouse)

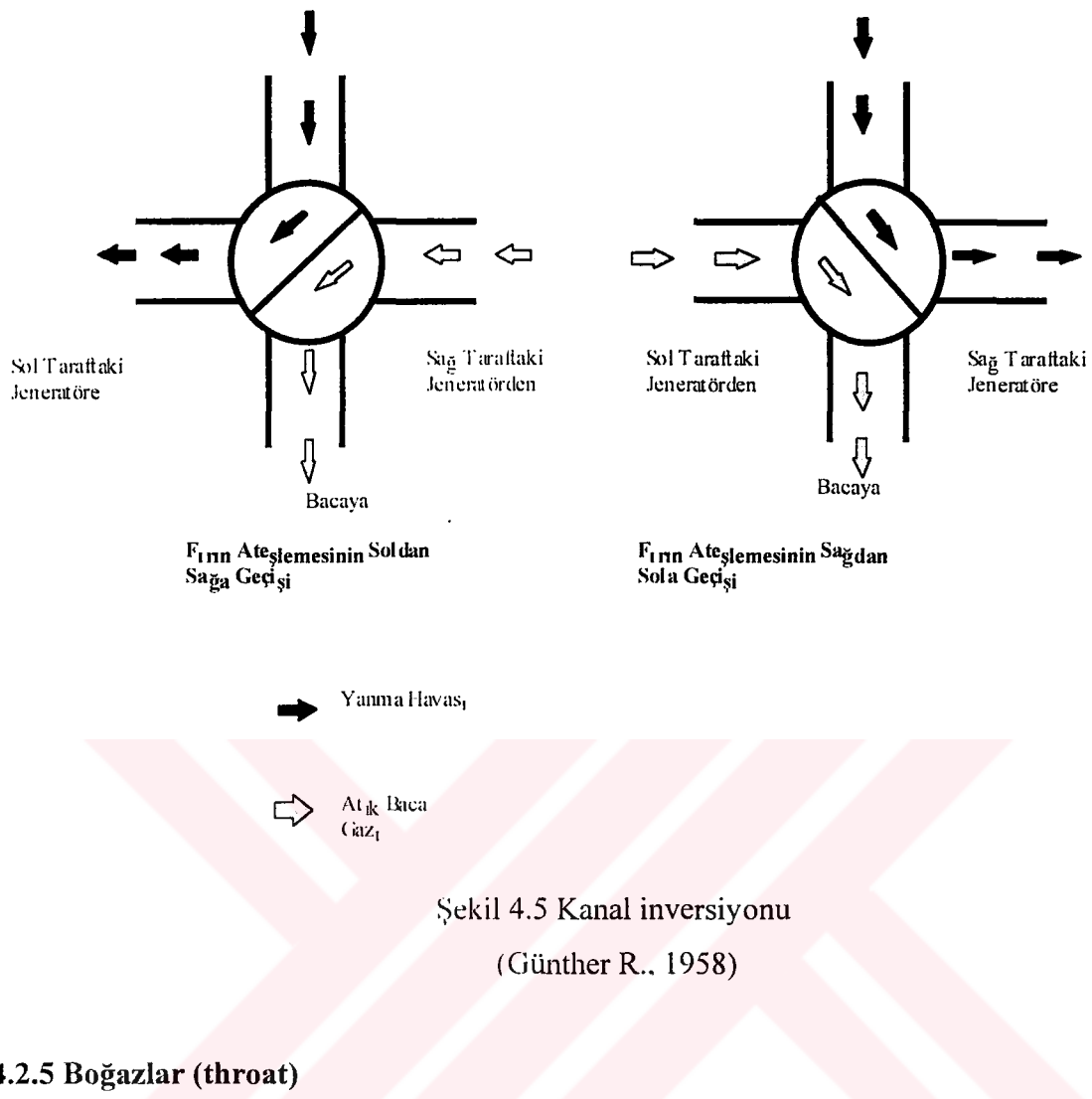
Harmanın firna atmaya yarayan bölümdür. Vidalı besleyiciler için kullanılan kapalı tip besleme ağızlarının üst yapısında, fırın silosunun açıklığından biraz daha büyük olan dairesel bir açıklık vardır. Harman besleyici bir kere yerleştirildikten sonra aradaki açıklık seramik elyaf ile kapatılır (Günther R., 1958).

4.2.3 Portlar

Yanma havasının firna girişine ve baca gazının firından atılmasına yarar. Kenarları birbirine paralel olan birinci bölüm ve kesit alanı firna yaklaştıkça daralan ikinci bölümden oluşur. Kesitteki bu daralma, hem yanma havası hızının artması hem de yakılacak yakıtla hızla karışması için yönlendirilmesine yarar (Günther R.. 1958).

4.2.4 Baca Kanalları

Baca kanalları, atık ısı geri kazanım sistemlerini bacaya bağlar. Rejeneratörlü fırnlarda, çıkış baca kanalının bacaya giden yolu üzerinde bir inversiyon klapesi bulunur. Herhangi bir anda atık gazları tehlİYE etmek üzere sadece bir tane kanal kullanılır, diğer kanal inversiyon klapesinden geçerek gelen hava içindir. Şekil 4.5' de rejeneratörlü bir fırının hangi taraftan ateşlendiğine bağlı olarak atık baca gazları ve yanma havasının geçtiği yollar görülmektedir.



4.2.5 Boğazlar (throat)

Ergitme havuzu ile çalışma havuzu arasında yer alan dar bir geçittir. Şarlandırılmış camda ergimemiş maddelerin bulunmamasını sağlar. Bütün camın bu geçitten geçmesi nedeni ile önemli ölçüde aşınma meydana gelir. Yapımında yüksek nitelikli reflektör malzeme kullanılmalı ve birleşim ara kesitlerinin sayısı minimumda tutulmalıdır (Günther R., 1958).

4.2.6 Camla Teması Olan Diğer Bölümler

Fırın tabanları, yan duvarları ve forehearth kanalları camla teması olan diğer bölümlerdir. Fırın tabanları birden fazla bloktan oluşmuştur. Birden fazla tabaka kullanılması halinde plakalar şasırtmalı olarak dizilmelidir. Fırın yan duvarlarını oluşturan bloklar uzunlamasına dik konumda yerleştirilen bloklardır. Foreheart kanalları yalıtım üzerine yerleştirilir (Günther R., 1958).

4.2.7 Fırın Üst Yapısı, Yan ve Arka Duvarları

Bu duvarlar, fırının yanma hacmini meydana getiren yapıyı oluştururlar ve hemen her zaman soda-kireç-silis camları için AZS, borosilikat camları için mullite reflektör malzemesinden yapılmış bloklarla örülürler (Günther R., 1958).

4.2.8 Fırın Destek Yapısı

Bu yapı fırını destekler ve blok örgülerindeki yatay kuvvetlerle fırın içindeki camın fırın yan duvarlarına yaptığı hidrostatik basıncı karşılar (Günther R., 1958).

4.2.9 Fırının Genel Çelik Yapısı

Fırın tabanı, kanal ve kesişim bölgelerinden oluşan çelik bir ızgara üzerine oturur. Fırın kemer ve üst yapısı belli aralıklarla yerleştirilmiş çelik yatay taşıyıcı saplamalarla, dikme ve kırışlere sabitlenmiştir (Günther R., 1958).

4.2.10 Cam Seviyesi Hattının Soğutulması

Bu işlem, cam banyosu içindeki taşının akımlarını arttırmak ve fırın yan bloklarındaki aşınmayı azaltmak için yapılır. Etkin bir soğutma için, her metre başına 150 mmss basıncındaki havanın en az $56 \text{ m}^3/\text{dak}$ bir debi ile kullanılması gereklidir. Soğutma kanallarının ucundaki "nozzle"lar özellikle fırındaki cam seviyesi hizasında fırının 100 mm uzağa yerleştirilirler.

4.2.11 Eski Fırın Yapıları

Sistem tabanı alt taraftan kontrolüne izin verecek şekilde, çelik bir çerçeveyenin üstüne inşa edilir. Eski tip fırnlarda ise, fırın tabanı doğrudan rejeneratörlerin üstüne inşa edilmekteydi. Havuzlar ve taban tuğlaları arasına soğutma kanalları yerleştirilirdi. Bu soğutma kanallarını düzenlemesinde bir fan veya baca çekiş sistemi kullanılırdı. Böylece taban tuğlaları ve özellikle bağlantı noktalarının sıcaklığını düşürmek için hava sirkülasyonu oluşturulurdu. Isının yerel

olarak birikmesini önlemek için soğutma kanalları duvarlarında tuğlaların birleşim noktaları mümkün olduğunca küçük şekilde tutulurdu. Çok kötü durumlarda ise iyi soğutulmayan birleşim noktalarında cam çok ısınır ve camdan daha az yoğunluğu olan taban tuğlalarını yerinden oynatır, havuzun içindeki bütün camın boşalmasına neden olabilirdi. Bu sorun genellikle eski fırılarda sıcaklık değişimleri sonucu bazı tuğlaların yerinden oynamasıyla meydana gelirdi. Bununla birlikte istisna olarak tabana sıkı sabitlenmeyen yeni yapılmış fırılarda da görülebilirdi. Ergimiş camın yatay olarak yan tuğlaların üstündeki hidrostatik basıncı, değişik yüksekliklerde tuğlalar arasında ortaya çıkan sürtünmeyle kısmen karşılaşırırdı. Yatay bağlantı noktalarına işleyen ve burada katılan cam, tuğlaların yerinde tutulmasına yardım ederdi. Bununla birlikte tuğlaların yerinde tutulmasında bu kuvvetler yetersiz ve güvenilmezdi. Bu nedenle bugün tuğlalar fırını tutan çelik çerçevelere vidalanarak veya sıkıştırılarak, güvenlik sağlanır. Çelik çerçeveler de çelik çubuklarla birbirine bağlanır (Günther R., 1958).

5. CAM SANAYİNDE ENERJİ KULLANIMI

5.1 Literatürde Cam Sanayinde Enerji Dağılımı

Cam eldesi enerji yoğun bir işlemidir. Bu yüzden, enerji kaynağı türü, ısıtma tekniği, ısı geri kazanım metodu gibi hususlar fırın tipi seçimi ve tasarımında önemli rol oynar. Genel olarak, ergime işleminde kullanılan enerji kaynakları aşağıda verilmiştir. Bir cam tesisisinde proses gereği farklı fuel-oil, doğal gaz, elektrik gibi kaynaklarının kullanılması gerekmektedir. Örneğin bir şışe-cam tesisi için enerji miktarları ve tüketilen miktarlar Çizelge 5.1'de verilmiştir.

Çizelge 5.1 Örnek alınan bir şışe-cam fabrikasında enerji tüketiminin proses ve yakıt türüne göre dağılımı

x10 MJ/ton cam							
	Fuel-oil	Gaz yağı	LPG	Hava Gazi	Elektrik	Toplam	%
Harman	-	-	-	-	6	6	0,58
Egitme	677	-	-	-	71	748	71,03
Forehearth	7	-	62	-	3	85	6,89
Şekillendirme	-	-	-	0,3	112	119	10,70
Tavlama	-	-	42	-	12	52	4,95
Baskı	-	-	26	0,4	6	33	3,16
Paketleme	-	-	-	-	2	2	0,19
Diğer	0,2	0,1	1	0,6	15	18	1,63
Toplam	685	0,1	130	1,3	237	1109	-
%	65,05	0,01	12,31	0,12	22,54	-	100.00

(Akgün ve Çoban, 1997)

Sektörde daha önceleri ağırlıklı olarak fuel-oil kullanmakta iken, son dönemde doğal gaz kullanımını artmaya başlamıştır. Bazı fırınlar hem fuel-oil hem de doğal gaz kullanabilecek şekilde tasarlanmaktadır.

Genel olarak, bir cam fabrikasında cam ergitme için kullanılan enerji, fabrika bünyesinde toplam

olarak tüketilen enerjinin yaklaşık %75-85'ini oluşturmaktadır. Farklı cam fabrikaları için enerji tüketim dağılımları Çizelge 5.2'de verilmiştir. Bu çizelgeden de görüleceği gibi cam türü ve fabrika işletme parametrelerine bağlı olarak enerji dağılımında büyük farklar olabilmektedir.

Çizelge 5.2 Farklı tipte cam üretiminde tüketilen enerjinin proseslere dağılımı

Enerji Tüketim Noktaları	Ambalaj Camı Üretimi (%)	Fiber Cam Üretimi (%)	Kristal Cam Üretimi (%)
Fırın	79	80	85
Ağız soğutma	2		
Foreheart	6		
Basınçlı hava	4		
Tavlama	2		3
Conversiyon		11	
Hacim ısıtma			6
Şekillendirme		4	2
Diğer	7	5	4
Toplam	100	100	100

(Akgün ve Çoban 1997)

Sektör geneline bakıldığından özellikle bu çalışmanın ana konusu olan ergime süresi için, ana enerji kaynağı olarak doğal gaz veya fuel-oil kullanılmaktadır. Elektrik kullanımı ise daha küçük bir yüzde oluşturmaktadır.

Cam ergitme prosesinin verimliliğini irdelemek için, ergitme işlemi teorik olarak ne kadar enerjiye gereksinim olduğunun bilinmesinde yarar vardır. Çok kullanılan üç ayrı cam türü için teorik enerji ihtiyaçları Çizelge 5.3 'de verilmiştir.

Çizelge 5.4' de verilen değerler arasında reaksiyon ısısı, hammaddeden camı oluşturmak için gerekli ısı; camın entalpisi, camı 20 °C' tan 1500 °C' a çıkarmak için gerekli duyuları ısı; açığa çıkan gazın entalpisi olarak da ergime sırasında açığa gazların (özellikle karbondioksit) duyuları ısısı olarak alınmıştır.

Çizelge 5.3 Üç farklı cam için ergitme işleminde gereklili teorik enerji ihtiyacı

	Soda- Kireç- Silis (Düz/Ambalaj Cam) GJ/ton	Borosilikat (%8 B ₂ O ₃) GJ/ton	Kurşun Silkat (%19 PbO) GJ/ton
Reaksiyon ısısı	0,49	0,41	0,40
Camın entalpisi	1,89	1,70	1,69
Açığa çıkan gazın entalpisi	0,30	0,14	0,16
Toplam Enerji	2,68	2,25	2,25

(Akgün ve Çoban, 1997)

Gerçek enerji ihtiyacı cam türüne, fırın dizaynına, fırın boyutlarına ve işletme şartlarına bağlı olarak 3-40 GJ/ton gibi büyük bir aralıktır olabilmektedir. Bununla birlikte, üretimde çoğunlukla büyük fırınlar kullanıldığı için, bu değer çoğu zaman 8 GJ/ton'un altında kalabilmektedir. Çizelge 5.4'de değişik cam türleri için özgül enerji tüketim değerleri verilmiştir.

Çizelge 5.4 Değişik cam türleri için özgül enerji tüketimi değerleri

CamTürü	Özgül enerji tüketimi GJ/ton ergimiş malzeme	Özgül enerji tüketimi GJ/ton son ürün
Ambalaj (konteyner) camı	4,5-7	6,5-9
Fiber cam	11-23 (30)	18-33
Kurşun kristal cam	50-55	55-60

(Akgün ve Çoban, 1997)

Cam sektöründe, yüksek sıcaklık ve yoğun enerji kullanımının doğal bir sonucu olarak ısı kaybı yüksek değerlere çıkar. Ancak teknolojik gelişmeler sonucu, özellikle oldukça önemli büyük boyutlu rejeneratif fırnlardaki enerji tüketimi, teorik olarak mümkün olabilecek minimum sınıra yaklaşmıştır ve ısı kayıplara minimuma indirgenebilmiştir.

Gelişmiş bir rejeneratif fırının ısıl etkenliği %40-%50 civarındadır (maksimum değer %60'dır) (Akgün ve Çoban, 1997). Böyle bir fırında bacadaki enerji kaybı %20'ler düzeyindedir. Geri

kalan miktar da yüzey ve diğer kayıplar nedeni ile oluşur. Bu kayıplar fırının boyutuna bağlı olup; fırının yüzey/hacim oranı ile doğrusal olarak değişmektedir.

Fosil yakıt kullanılan bir fırında enerji tüketimini etkileyen başlıca faktörler aşağıdadır:

- a) Fırının nominal kapasitesinin, birim ürün başına tüketilen enerji üzerinde (spesifik enerji) oldukça önemli bir etkisi vardır. Bunun nedeni fırının yüzey/hacim oranı fırının nominal kapasitesi ile değişmesidir.
- b) Fırın kapasitesi azaldıkça, fırının verimi düşmekte ve dolayısı ile spesifik enerji tüketimi artmaktadır.
- c) Fırının yaşı arttıkça, fırının etkenliği düşer. Ömrünü tamamlamış bir fırın, yeni bir fırına oranla yaklaşık %20 oranında daha fazla enerji tüketmektedir.
- d) Ek elektrik enerjisi kullanımının temel nedeni fırının ısıl verimini arttırmaktadır. Ancak elektrik enerjisinin daha pahalı olması nedeniyle, bu durum ekonomik açıdan yarar yerine zarar getirebilir. Bu yüzden sadece prosesin gerektirdiği yerlerde kullanılır (Akgün ve Çoban, 1997).
- e) Atık cam kullanımı enerji tüketimini önemli ölçüde azaltmaktadır. Genel olarak hammadde beslemede kullanılan atık camın miktarındaki %10' luk bir artış, enerji tüketiminde %2-3 oranında azalma sağlar.
- f) Oksi-yakıt kullanımı özellikle küçük fırınlarında enerji tüketimini azaltmaktadır. Bunun nedeni azotun alev sıcaklığına kadar ısıtılma zorunluğunun olmamasıdır Yanma ortamındaki azotun azaltılması ile atık gaz miktارında %60-80 oranında düşüş sağlanabilir (Akgün ve Çoban, 1997).

5.2 Dünyada Cam Sanayi ve Enerji

1990 yılında Avrupa Topluluğunda üretilen yaklaşık 23 milyon ton camın %25' i düz cam olmuştur. Bu miktarda camı üretmek için 229 PJ enerji tüketilmiştir. En büyük cam üretimi %66'lık bir oran ile ambalaj camında olmuştur (Flanagan, 1992; Barton ve Merlin, 1993).

En büyük cam üreticisi ülke %27 ile Almanya, kişi başına en fazla cam üreten ülkeler ise 173 kg/kişi olmak üzere ile Lüksemburg ve Belçika'dır. Avrupa Topluluğunda kişi başına ortalama cam üretimi ise 70 kg/kişi düzeydedir (Flanagan, 1992; Barton ve Merlin, 1993). Belçika, Avrupa Topluluğunun cam üretiminin %7' sini, düz cam üretiminin de %21' ini gerçekleştirmektedir. Ton başına tüketilen enerji ise bir tek büyük ve modern ambalaj camı fabrikası olan Danimarkada 8,5 GJ/ton olurken, daha çok kristal üretimi ile uğraşan İrlanda'da 17,5 GJ/ton' a kadar çıkmaktadır. ABD için ise toplam üretim 16,1 milyon ton ve 64,5 kg/kişi olmuştur. Japonya ise, Avrupa Topluluğu ve ABD' ye göre 39 kg/kişi ile daha az cam üretmekte/tüketmektedir.

Düz camda ise Avrupa Topluluğu, ABD ve Japonya' da kişi başına üretim birbirine yakındır. Düz camın uzun mesafelere nakliyesi zor olduğu için, her ülke kendi camını üretmek zorundadır, Bu nedenle adı geçen ülkelerde ve Avrupa Topluluğunda cam üretim rakamları 13,9-17,5 kg/kişi arasındadır. Avrupa Topluluğu' nda üretilen düz camın, ABD' de üretilenden farkı, mimaride kullanılan renkli camlar ve otomotiv sanayinde kullanılan ısı emen camların daha fazla üretilmesidir. Avrupa Topluluğunda üretilen düz camın yaklaşık % 17' si otomobillerde kullanılmaktadır (Flanagan, 1992; Barton ve Merlin, 1993).

5.2.1 Belçika' da Cam Sanayinin Enerji Dağılımı

Dünya cam üretimi fiyatlarındaki artışın en önemli nedeni enerji giderlerindeki artıştır. Bu durum Belçika için Çizelge 5.5' de görülebilir.

Çizelge 5.5 Belçika'da cam üretimi maliyeti

	10 ⁶ Belçika Frankı				Enerji Maliyeti Artışı
Yıl	Hammadde	İşçilik	Enerji	Toplam	
1973	6166	8118	1068	15352	100,0
1976	8994	10774	2150	21618	143,0
1979	10152	12002	2612	24766	151,6
1981	11930	12616	4415	28961	219,0

(Michaux ve Tomas, 1985)

Cam üretimi gelişmiş olan Belçika' da, tüm sanayide tüketilen enerji bazında elektriğin %2' si, doğal gazın ve havagazının %7,7' si ve fuel oil' in %7,9' u cam sanayinde tüketilmektedir. Düz cam sanayinde elektrik tüketimi, diğer tip cam çeşitlerine göre azdır. Belçika'da düz cam sanayi, bütün cam sanayinin tükettiği elektriğin %60' ni, doğal gaz ve fuel oil' in %95' inden fazlasını tek başına tüketmektedir (Michaux ve Tomas, 1985). Belçikada düz cam üretiminde tüketilen enerji dağılımı Çizelge 5.6' den görülebilir.

Çizelge 5.6 Belçika' da düz cam üretiminde enerji dağılımı

Enerji Kullanımı (%)	Elektrik	Doğal Gaz ve Fuel Oil	Buhar ve diğer yakıtlar	Toplam
Proses				
Karıştırma	0,2	-	-	0,2
Ergitme	1,0	81,6	- 2,6	80
Şekillendirme	3,5	3,0	0,5	7,0
Yardımcı İşletmeler				
Basınçlı Hava	0,2	-	-	0,2
Su Dağılımı	0,3	-	-	0,3
Isıtma Havalandırma	0,2	2,6	7,8	10,6
Diğer	1,3	0,1	0,2	1,7
Toplam	6,7	87,3	6,0	100,0

(Michaux ve Tomas, 1985)

Çizelge 5.7' de ise düz cam üretiminde kullanılan enerjinin diğer camların üretimlerinde kullanılan enerji tüketimi ile karşılaştırılması verilmiştir.

Çizelge 5.7 Çeşitli tür camların üretiminde gerçekleşen enerji tüketimi

Cam Türü	Elektrik (GJ/t)	Doğal Gaz ve Fuel Oil (GJ/t)	Toplam (GJ/t)	Üretim Verimi (%)	Toplam Enerji Tüketimi (GJ/t)
Düz Cam	0,1	9,3	9,4	79	11,9
Ambalaj Camı	0,3	7,4	7,7	69	11,2
Fiber Cam	2,0	20,4	22,4	87	25,7
Köpüklü Cam	1,2	6,4	7,6	62	12,3

(Michaux ve Tomas, 1985)

5.2.2 Britanya' da Cam Sanayinin Enerji Dağılımı

Britanya cam sanayinin tüm sanayinin enerji tüketimindeki payı yaklaşık %2,5' dur (demir çelik sanayi hariç) (Bevan ve Deakin, 1985). Bu sanayide tüketilen enerjinin toplam maliyeti yılda 225 milyon \$ civarında olup toplam maliyetini önemli bir kısmını oluşturur. Örneğin, ambalaj camının üretiminde, enerjinin toplam maliyet içindeki payı %20' nin üzerindedir. Kuvvetli rekabet ortamında, enerji fiyatları düşürülmesinin önemi büyktür. Britanya Enerji Bakanlığı Enerji Verim Bürosu, cam sanayinde enerji verimini artırmak için çok sayıda proje yapmıştır(Bevan ve Deakin, 1985).

Çizelge 5.8 bize 1970'den 1982'ye kadar Britanya cam sanayisinin enerji tüketim rakamlarını vermektedir. Aynı çizelgede on yıl süresince düzenli olarak düşen spesifik enerji ihtiyacının sürekli düşüşü de gözlemlenebilir. Gelişmenin önemli nedenlerinden biri, kullanımın küçük fırnlardan büyük fırnlara doğru değişimidir. Ayrıca fırın yalıtımı, rejeneratör dizaynı ve kontrol yöntemlerindeki değişiklikler de bu düşüşü hızlandırmıştır.

Çizelge 5.8 Britanya' da cam sanayinde enerji kullanımı

Yıl	Üretim (10 ⁶ ton/yıl)	Toplam Enerji (10 ⁶ GJ/yıl)	Spesifik Enerji (GJ/ton)
1970	2,513	50,64	20,15
1971	2,646	55,20	20,86
1972	2,748	53,69	19,54
1973	3,064	52,87	17,26
1974	2,913	53,32	18,30
1975	2,756	45,13	16,38
1976	2,848	47,44	16,66
1977	2,974	48,94	16,46
1978	3,078	46,79	15,20
1979	3,065	48,00	15,66
1980	2,898	42,49	14,66
1981	2,634	38,84	14,75
1982	2,490	36,00	14,46

(Bevan ve Deakin, 1985)

Bu spesifik enerji, endüstrinin değişik sektörlerinin ortalamasından elde edilmiştir. Örnek olarak makinalaştırılmış sürekli akış prosesi kullanılarak üretilen ambalaj camında, spesifik enerji 11,6 GJ/ton olurken, el emeği kullanılarak potada üretilen kristal camda bu rakam 90-173 GJ/ton'a çıkar.

Britanya' da enerji bakanlığı tarafından cam sanayinde enerji tasarrufu amaçlı 253 proje geliştirilmiş, bu projeler için 31 milyon \$ harcamış, sonuç olarak $13 \cdot 10^6$ GJ/yıl enerji tasarrufu sağlanmıştır. Uzun dönemde enerji tasarrufunun $105 \cdot 10^6$ GJ/yıl olacağı tahmin edilmektedir. Bu projelerden bazıları Ek1' den görülebilir. Bu projeler için kanun tarafından harcanan para 450000 \$ dolaylarındadır.

5.3 Cam Ergitme Fırınlarının Performansları

Cam üretiminin en önemli özelliklerinden birisi cam türüne göre günlük üretim kapasitelerindeki büyük fark, buna bağlı olarak kullanılan farklı ekipman ve üretim teknikleri ve bunların doğal sonucu olarak ton başına enerji tüketimindeki oluşabilen uçurumlardır.

Burada örnek olarak düz cam üretimi ele alınmaktadır. Ancak, benzer yaklaşımla her tür cam üretimi içinde sonuçlar elde edilebilir.

Bir fırının enerji akış diagrağı Şekil 5.1' de gösterilmiştir. Bu şekilde

Q_F = yakıt enerjisi

Q_A = ön ısıtılmış havanın enerjisi

Q_G = cama geçen enerji

Q_R = fırın yapısından çevreye yitirilen enerji

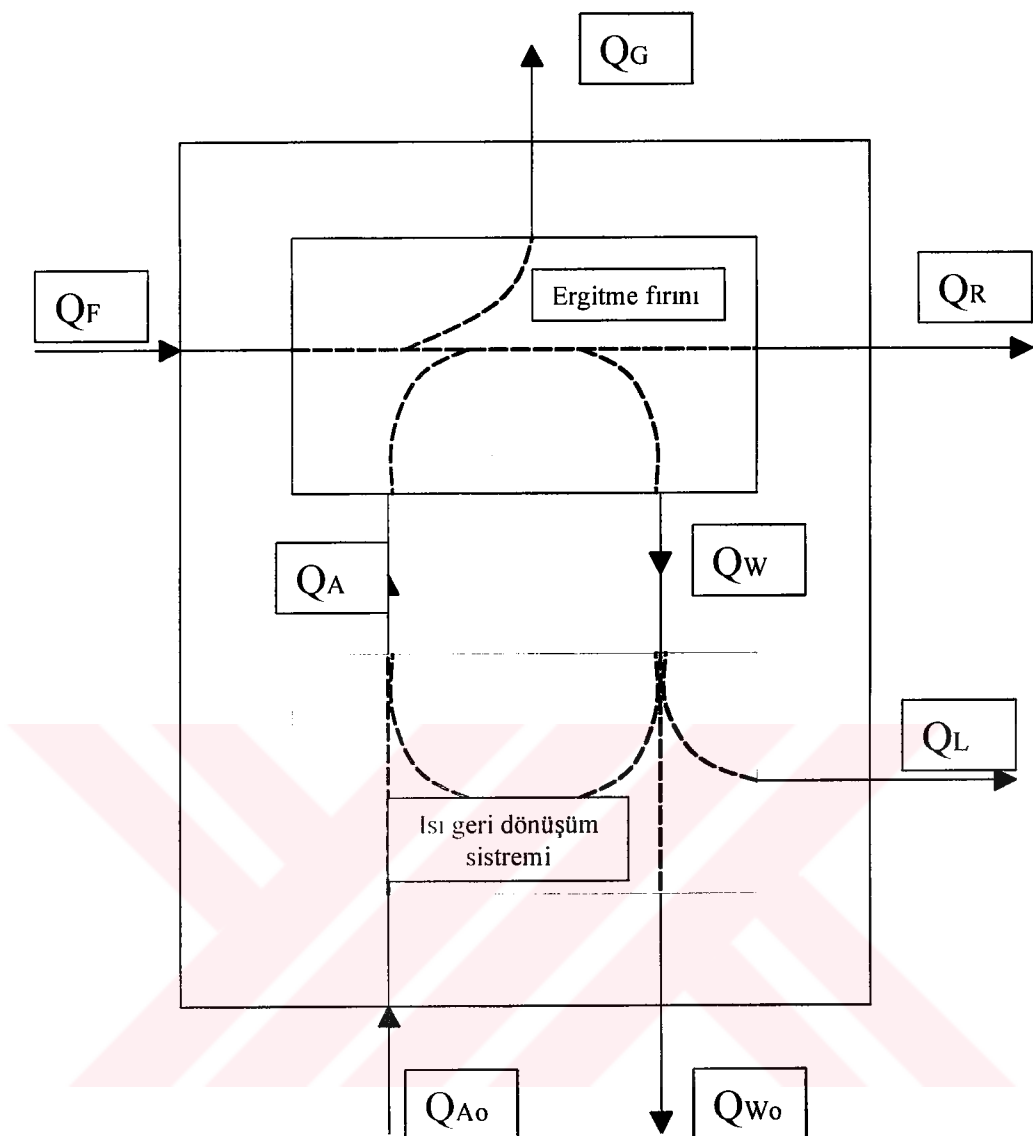
Q_W = baca gazından atmosfere atılan ısıl enerji

Q_L = ıslı geri dönüş sistemi yapısından ortama geçen enerji

Q_{Wo} = sistemden atık gazla dışarı atılan enerji

Q_{Ao} = ıslı geri kazanım sistemine giren enerji

yi göstermektedir. Isı geri dönüşümü içeren bir sistemde üç temel ıslı dengesinden bahsedilebilir (Şekil 5.1).



Şekil 5.1 Fırın sisteminde enerji akış diyagramı

(Sismey 1983)

1. Ergitme fırını için

$$Q_F + Q_A = Q_G + Q_R + Q_W \quad (\text{Sismey 1983})$$

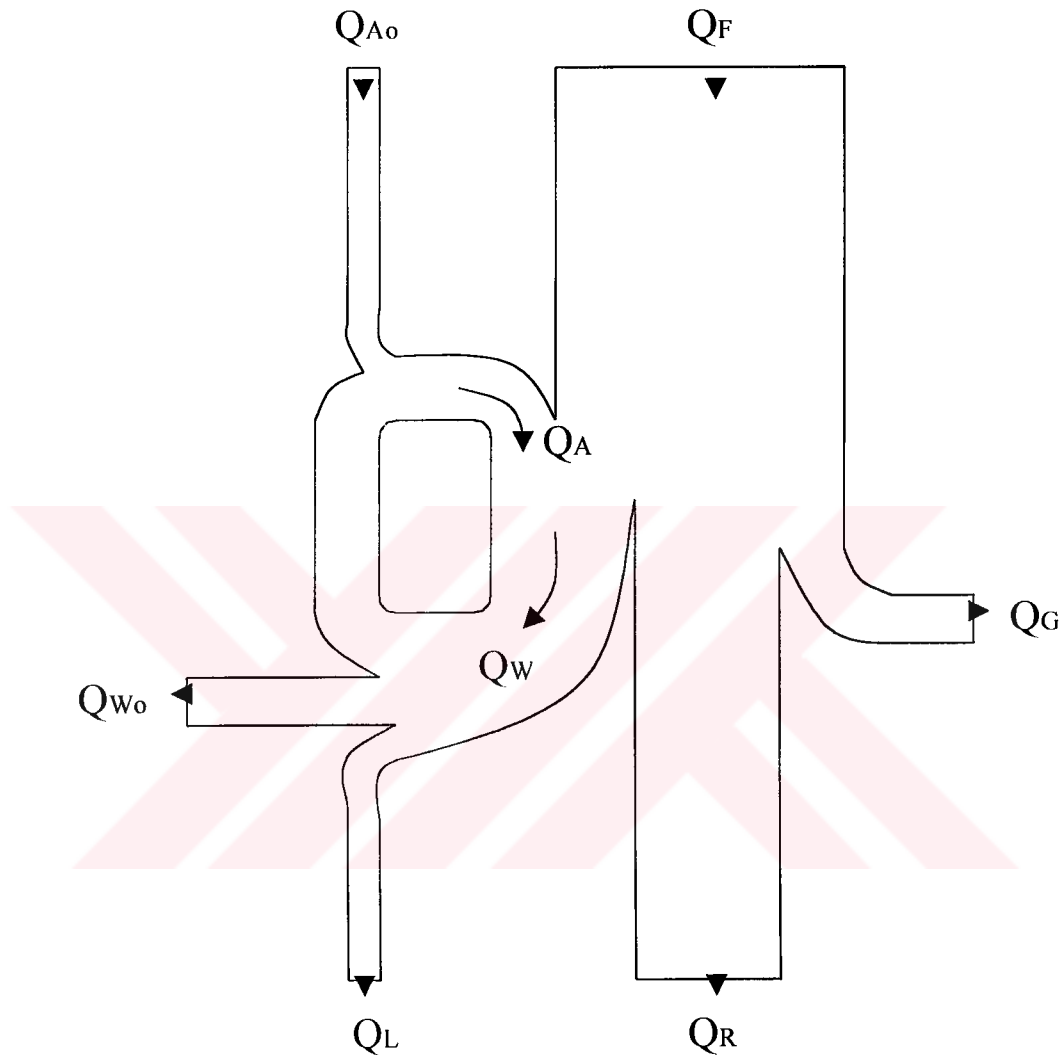
2. Isı geri dönüşüm sistemi için

$$Q_W + Q_{Ao} = Q_A + Q_L + Q_{Wo} \quad (\text{Sismey 1983})$$

3. Tüm sistem için

$$Q_F + Q_{Ao} = Q_G + Q_R + Q_L + Q_{Wo} \quad (\text{Sismey 1983})$$

Yukarıda elde edilen enerji dengesi, yakıt, hava ve harman malzemelerinden oluşan üç ana girdinin termodinamik hesaplarını tek bir eşitliğe indirir. Bu eşitlik Şekil 5.2'de gösterilen Sankey diyagramıyla ifade edilebilir



Şekil 5.2 Fırın sisteminde Sankey diyagramı
(Sismey 1983)

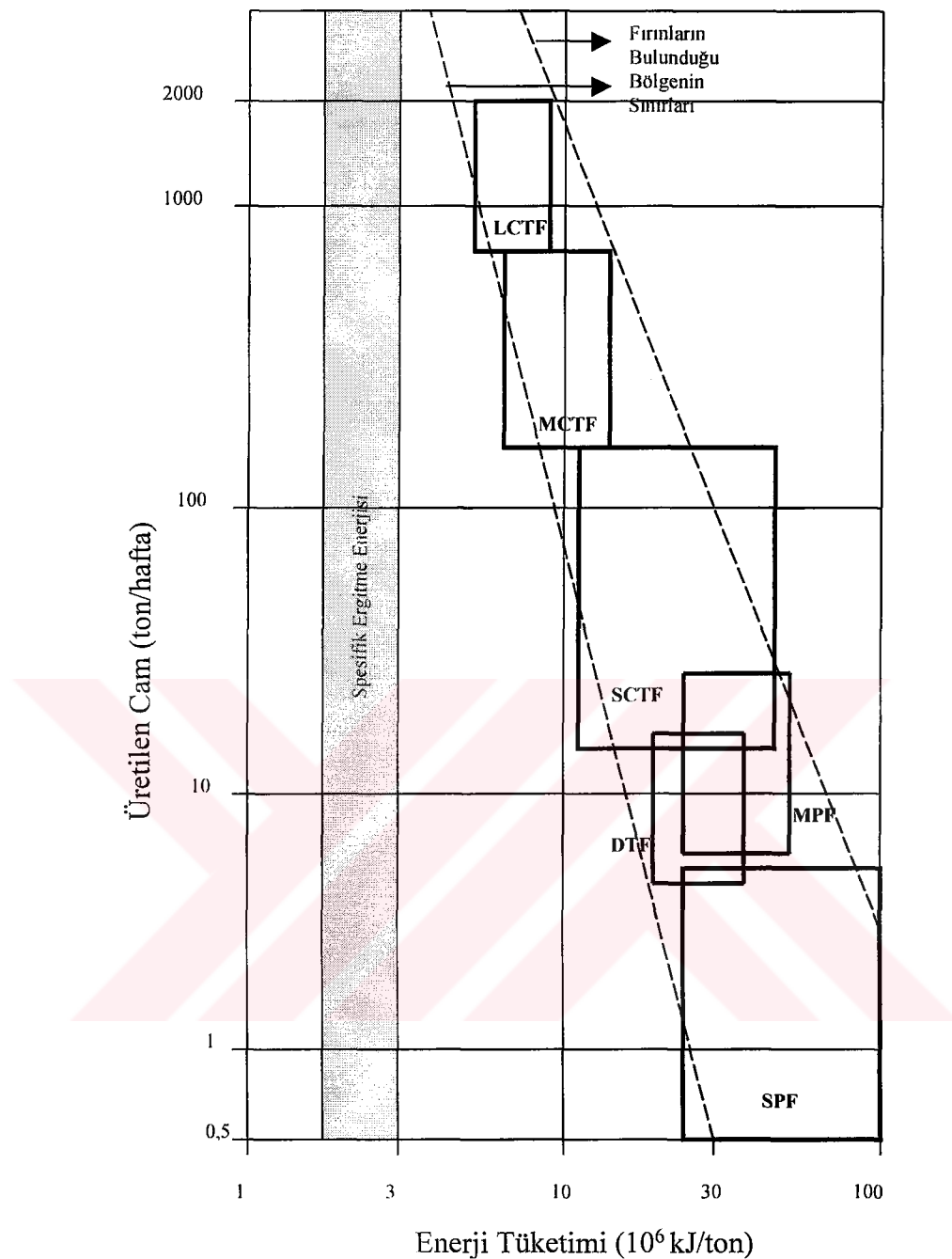
Yakıtın kalorifik değeri, cam ve camı oluşturan hammaddelerin spesifik ısları, yakıt ve havanın reaksiyon ısısı, fırın sisteminde oluşan enerji dengesi ve miktarlar üzerinde belirleyici etkendir. Benzer olarak belirli bir camda, fırın sisteminden ısı geri dönüşüm sistemi (rejeneratör, reküparatör vb.) ile geri alınabilen enerji miktarı, camın özellikleri, ısıl kapasite ve termal

kondüktivite gibi yapının termodinamik özellikleri de fırın sisteminden kaybolan yada fırın sisteminde tutulabilen enerji miktarı üzerinde belirleyicidir.

Ergitme prosesinin her farklı adımı için enerji tüketimi ayrı ayrı hesaplanır. Bununla birlikte ergitme prosesi süreklilik gösterir ve birbirini tamamlayıcı nitelikte adımlar farklı işlemler olarak kabul edilemez. Ergitme prosesi üç alt prosese bölünebilir:

Alt Proses I

İlk adım, cam kırığı ve/veya harmanın fırına giriş sıcaklığından, camın ergime sıcaklığına kadar yükselmesi için gerekli olan ısı miktarıdır. Bir soda-kireç-silis camı için cam kırıklarının tekrar ergitilerek cam elde edilmesi halinde, enerji tüketiminin miktarı, ortalama sıcaklık 1400°C alınarak, $1730 \times 10^3 \text{ kJ/ton}$ olur. Cam yalnızca harmandan elde edilirse, iki faktörün daha göz önünde bulundurulması gereklidir. Bu faktörlerden birincisi, kimyasal reaksiyonlar ve harmani oluşturanların birleşmesi için gerekli ısıl enerjidir. Örneğin %100 harmandan oluşan soda-kireç-silis' in ergimesi için reaksiyon enerjisi $686 \times 10^3 \text{ kJ/ton}$ olur. İkinci olarak da, reaksiyon nedeniyle çıkan gazların sıcaklığını, harmanın gaz fazı oluşumundaki sıcaklık düzeyinden, baca gazı sıcaklığına kadar arttırılması adımdır. Örneğin, soda-kireç-silis camında bu enerji $400 \times 10^3 \text{ kJ/ton}$ dolaylarında olmaktadır. Böylece camın %100 harman kullanılarak oluşması durumunda toplam enerji, $2817 \times 10^3 \text{ kJ/ton}$ olur. Isı geri kazanım sistemi yoluya reaksiyon sonucu oluşan gazın ısısının bir bölümü geri kazanılabilir. Eğer %50'lik bir geri dönüşüm sağlanır ise, toplam net ısı tüketimi $2617 \times 10^3 \text{ kJ/ton}$ olur. Bununla birlikte, ergitme işlemlerinin çoğunda, fırına atılan hammadenin içine bir miktar cam kırığını katılır, bazı camlar ise tamamen harmandan elde edilirler. Bazı özel işlenmiş ve renklendirilmiş camlar geri dönüştürülemez. Bununla birlikte cam kırıkları tamamen ergidiği durumda, sert soda-kireç-silis camı için teorik enerji miktarı maksimum $3165 \times 10^3 \text{ kJ/ton}$, minimum $1793 \times 10^3 \text{ kJ/ton}$ dur. Ergiyen camın tipine göre kullanılan cam kırığı oranına karar verilir, spesifik ergitme enerjisi saptanır ve Şekil 5.3' de kesik çizgiler ile gösterileni iki limit değer arasında yer alır. Yine Şekil 5.3' de haftalık üretim miktarına karşılık, ton başına enerji tüketimi verilmiştir. Birçok fırın tipinin enerji tüketimi de görülebilir.



Şekil 5.3 Fırın tiplerine göre spesifik enerji tüketimi
(Sismey 1983)

Çizimi oluşturmak için örnek alınan fırınların verilerinin, kesikli çizgilerle belirlenmiş iki limit arasında rastgele dağıldığı görülmüştür. Buradaki fırnlardan solda kalanlar sağda kalanlara oranla daha az enerji kullanırlar. Başka bir deyişle bu fırınların aynı miktar üretim yapanları

arasında solda olanlarının verimleri daha yüksek olur.

Cam sanayinde kullanılan fırınların performansları karşılaştırıldığında, Şekil 5.3' de dikdörtgenlerle gösterilen fırın tipleri için, verilerin bazı ilginç sonuçlar ortaya çıkar. Bir ve iki potalı fırınlar en alttaki dikdörtgende SPF olarak, günlük tanklar DTF, çok potalı fırınlar MPF olarak gösterilmiştir. Sürekli tank fırınlarında ise küçük boyutlular SCTF, orta boyutlular MCTF, büyükler LCTF olarak gösterilmiştir.

Fırın verileri teorik termodinamik performans değerler ile tam olarak paralellik göstermeyeceği hususu Şekil 5.3' le açıkça ifade edilmektedir. Örnek olarak, küçük tank ve pota fırınlarının verimlerinin, kesikli olarak cam ergiten aynı miktarda sürekli üretim yapan iyi çalışan küçük fırınlarla karşılaştırılması mümkün değildir.

Alt Proses II

Bu adımda söz konusu olan enerji, fırını proses sıcaklığında çalışır durumda tutmak için gerekli olan miktarıdır. Yakıt yanmasıyla ortaya çıkan ısıl enerji, yanma ürünlerinden veya alev sıcaklığından daha düşük sıcaklıkta bulunan fırın ortamına geçer. Birincil (initial) enerji, yakıtın kalorifik değerine, hava ön ısıtma sıcaklığına ve çekilen havanın miktarına bağlı olarak yanmayla oluşur. Fırından enerji ayrılması ürün ve baca gazı çıkışıyla olur. Baca gazı ile ayrılan enerji, baca gazı sıcaklığına, baca gazı kompozisyonuna ve hava fazlalık katsayısına bağlıdır. Böylece fırının ergitme bölgесine geçen ısı, birincil enerji ile baca gazı enerjisinin farkıdır; "faydalı enerji" olarak da adlandırılır. Eğer faydalı enerji, birincil enerjiye bölünürse, yanma verimi ortaya çıkar.

$$\varepsilon = \frac{(Q_F + Q_A - Q_W)}{Q_F} \quad (\text{Sismey 1983})$$

Diğer bir deyişle, bu faktör, fırının ergitme bölümündeki sıcaklık düzeyini korumak ve camı ergitme için gerekli enerjinin yakıt enerjisine oranı olarak açıklanır. Hava fazlalık katsayısı arttıkça yanma verimi düşer, buna karşılık yanma havası ön ısıtma sıcaklığı arttıkça yanma verimi artar. 1200°C ' ye ısıtılan yanma havası ve %5 hava fazlalık katsayısı ile çalışan bir fırında baca gazı 1600°C ' de atılırsa, teorik yanma verimi %74 olur. Benzer olarak 600°C ' de ısıtılan

yanma havası ve %25 hava fazlalık katsayı ile çalışan bir fırında baca gazı sıcaklığı 1300°C' olur ise teorik yanma verimi %60 lara geriler.

Yanmada teorik alev sıcaklığına ulaşlamaz. Verimin anılan değere ulaşmamasının nedeni de, alev reaksiyonundaki yanma işleminin tamamlanmaması veya tamamlansa dahi alevde gözüken ayrışma ve ısı吸收siyonudur. Enerji kayıplarının nedenlerinin biri de, potansiyel alev sıcaklığı nedeni ile azalan radyasyonla meydana gelir. Doğal gaz ile, ısıtılmamış kuru hava arasında tam yanma olduğunda, yaklaşık 2000°C' de teorik alev sıcaklığı oluşur. Bozunma, sıcaklığın 1950°C' ye kadar çıkışmasına izin verir, fakat en iyi deneysel sıcaklık değerinin sadece 1900°C' olduğu gözlemlenmiştir..

Alt Proses III

Bu alt prosesde, ısı geri dönüşüm sisteminin verimi ele alınmaktadır. Baca gazının 1500°C' de fırından atıldığı durumda; ön ısıtılmış yanma havası 1000°C' ye ulaştığında, teorik verim %72; ön ısıtılmış yanma havası 500°C' ye ulaştığında teorik verim %54, ısıtılmamış hava kullanıldığında durumda ise teorik verimin sadece %38 olarak gerçekleşir. Yani, ısıtılmamış hava kullanan fırın, 1000°C' de ön ısıtılmış hava kullanan fırına göre yaklaşık iki kat yakıt tüketir. Bu durum, ısı geri dönüşüm ekipmanının önemini açıkça gösterir.

Değişik ısı kapasitesine sahip iki ortam arasında karşılıklı aktarılan ısıl enerji miktarında bir sınır olmalıdır. Cam ergitme fırınlarının çalışma sıcaklığında, havanın ısıl kapasitesi, baca gazının ısıl kapasitesinin %84'üdür. Yani bu değer, geri dönüşebilen ısı miktarının, baca gazı ısıl kapasitesinin %84'üyle sınırlanması anlamına gelir. Bu oran aşağıdaki ilişkiyle açıklanabilir.

$$\sigma = \frac{Q_A}{Q_W} \quad (\text{Sismey 1983})$$

Bu eşitliğinin maksimum değeri %84'üdür. Böylece, baca gazı ile taşınan ısıl enerjinin en az %16'sı ön ısıtılmış yanma havasına aktarılabilir.

Şimdiye kadar incelenen ve fırın performanslarını belirleyen üç değişken, öncelikle fırın ortamının termodinamik özelliklerine bağlıdır. Ayrıca fırın duvarını oluşturan tuğlalar ve yalıtım maddelerinin özellikleri ve ömrü de çok önemlidir.

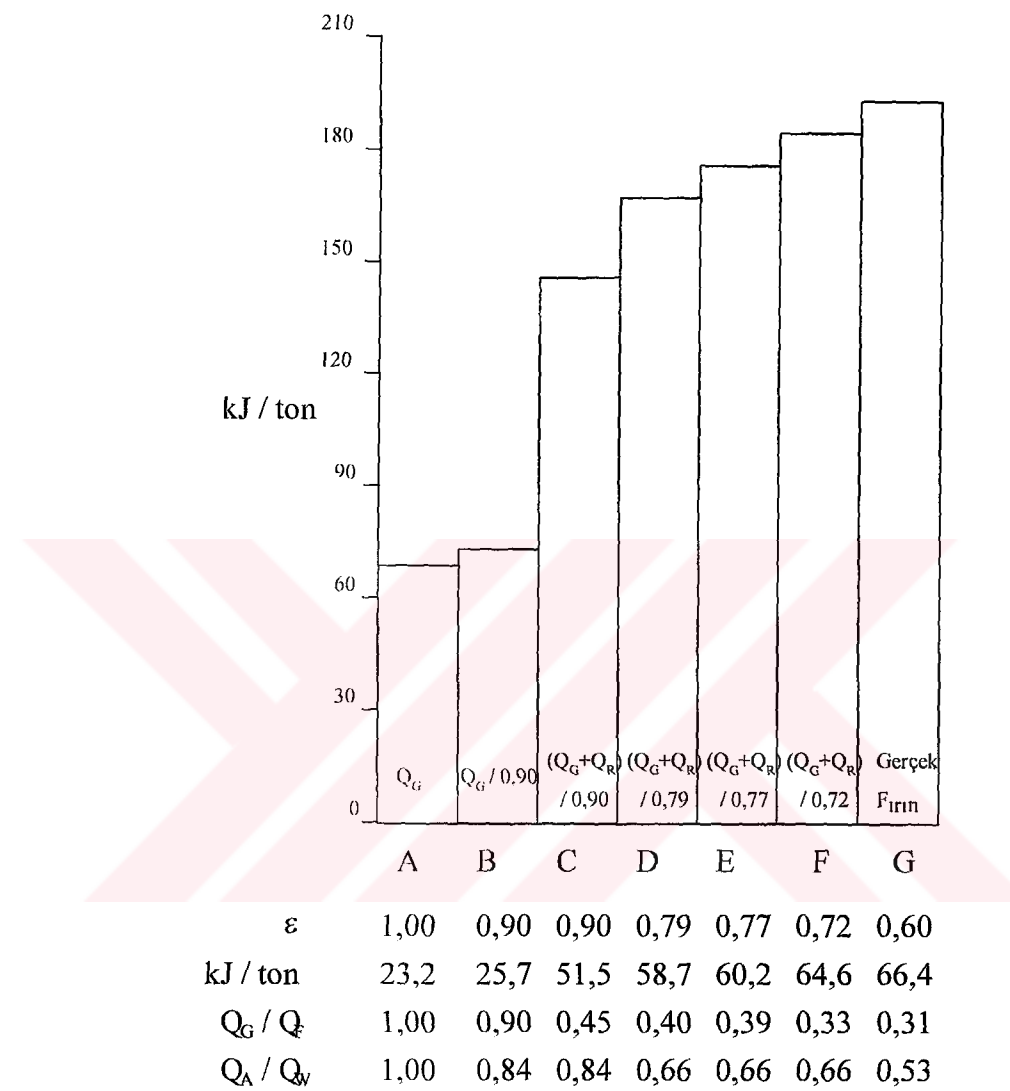
Teorik olarak, sonsuz kalınlıkta yalıtımı yapılabilir ve fırın yapısının bütün delikleri kapatılabilir. Böylece fırın duvarlarındaki ısı kaybı sıfıra düşürülebilir. Pratikte ise durum farklıdır. Fırın yapısının seçiminde asıl belirleyici olan, termodinamik özelliklerin yanısıra ekonomik faktörlerdir. Parametreler yapının çeşitli bölgelerinde değişir. Örneğin fırının ergitme bölümünde 2400°C 'nin üstünde alev sıcaklığına dayanması gereken dahili yapı malzemeleri kullanılır. Burada en önemli faktör malzemenin uzun yıllar boyunca özelliğini kaybetmeden işlevini sürdürebileceği sıcaklıktır. Silika tuğlalar yaklaşık 1700°C 'de yük altında, %10 deformasyonla test edilir. Böylece uygulamada ne kadar kalınlıkta yalıtım malzemesi kullanılması gerektiği ortaya çıkar.

Bütün bu faktörler üzerinde, adım adım çalışılarak ve bu çalışmayı bir sürekli tank fırını modeline uygulayarak, teorik olarak performansı en iyi model bulunabilir. Bu model için aşağıdaki kabuller yapılır:

- Cam ergimesinde soda-kireç-silos kullanılırken %40 cam kırığı katılır. Bu cam için spesifik ergime ısısı 2321×10^3 kJ/ton olur.
- Ortalama cam sıcaklığı 1400°C dir.
- Minimum bacı gazı sıcaklığı 1500°C dir.
- Fırın yapısından kaynaklanan ısı kaybı, cam ergimesine gereken enerjiye eşittir.
- Isı geri dönüşüm sisteminde ulaşılabilen maksimum ön ısıtma sıcaklığı 1250°C dir.
- Yanma sistemi %10 fazla yanma havası ile çalışır.

Şekil 5.4'de bu model için, termodinamik faktörlerin adım adım uygulanması gösterilmiştir.

Eğer yakıt enerjisinin tamamını cama aktarmak mümkün olsaydı, fırın verimi %100 ve enerji kullanımı 2321×10^3 kJ/ton olurdu. Aşağıdaki formüller Sismey, 1983' den alınmıştır.



Şekil 5.4 Fırın performansları için limit faktörlerinin adım adım uygulanması
(Sismey 1983)

$$\varepsilon = \frac{Q_G}{Q_f} = 1; \quad Q_f = Q_G \quad (1)$$

Yanma havası ön ısıtma sıcaklığını, fırından atılan baca gazı ile aynı sıcaklığı çıkarmak teorik olarak mümkün olsaydı bile sıcaklık aynı düzeye ulaşamaz ve yanma verimi %90' lara düşerdi.

Bunu aşağıdaki denklemlerden görmek mümkündür :

$$(Q_A = 0,84 Q_W)$$

$$\varepsilon = 1 + \frac{Q_A}{Q_F} - \frac{Q_W}{Q_F} = 1 + 0,84 \frac{Q_W}{Q_F} - \frac{Q_W}{Q_F} = 0,90 \quad (2)$$

Böylece toplam enerji 2321×10^3 kJ/ton / 0,90 = 2579×10^3 kJ/ton olacaktır. Bu şartlar altında ortalama cam sıcaklığı 1400°C olur ve baca gazı sıcaklığı minimum değere iner ve hava ön ısıtma sıcaklığının ise 1500°C ' ye ulaşabileceği söylenebilir.

Şimdiye kadar her iki kabulde de fırın yapısından kaynaklanan ısı kayıpları ihmal edilmiştir. Yüksek verimli fırınlar da bile bu kayıp, bazı koşullarda cama aktarılan enerji miktarına kadar çıkabilir.

$$Q_R = Q_G; \quad Q_F = (Q_G + Q_R) 0,9 = 5149 \times 10^3 \text{ kJ/ton} \quad (3)$$

Bununla birlikte teorik yanma havası ön ısıtma sıcaklığı 1500°C kabul edilmesine rağmen, gerçekte transfer mekanizmasının etkinliği hesaba katıldığında, sürekli olarak çalışan bir fırındaen iyi ısı geri dönüşüm sisteminde bile (örneğin regeneratorde) ön ısıtma sıcaklığı 1250°C ile sınırlandırılmış olarak kabul edilmiştir.

$$\frac{Q_A}{Q_W} = 0,66; \quad \varepsilon = 1 - 0,34 \frac{Q_W}{Q_F} = 0,79 \quad (4)$$

böylece toplam enerji

$$\frac{(Q_G + Q_F)}{0,79} = 5877 \times 10^3 \text{ kJ/ton} \text{ olur} \quad (5)$$

Bütün bu sözü edilenler, yanmanın teorik hava miktarı ile karşılandığı varsayımlına dayanır. Yakıtın tamamen yakılması için yanma sistemleri fazla hava kullanır. Pratikte tam yanma için

%10 fazla hava yeterlidir.

$$\varepsilon = 1 - 0,34 \times 0,67 = 0,77 \quad (6)$$

$$Q_F = \frac{(Q_G + Q_F)}{0,77} = 6024 \times 10^3 \text{ kJ/ton} \quad (7)$$

Bütün bu ısı transfer işlemleri, yüksek sıcaklıklarda gerçekleşir. Sonuç olarak, baca gazı fırın sisteminden atılırken gazların içindeki su buharının gizli ısısı henüz serbest kalmamıştır. Böylece brüt termal eşitlik $6468 \times 10^3 \text{ kJ/ton}$ olur.

Benzer koşullarda sürekli tank fırını için belirtilen sayılar, ısıl performansın $6647 \times 10^3 \text{ kJ/ton}$ ($\varepsilon=60\%$) olduğunu gösterir. Bununla birlikte teorik hesaplarla elde edilen sonuçlar ile gerçek performanslar arasında bir çelişki varmış gibi gözükse bile, bu fark çok büyük değildir. Başka çalışmaların sonuçları büyük fırılardan bazlarının $5275 \times 10^3 \text{ kJ/ton}$ seviyesinin altına çalışabileceğini ortaya koymaktadır.

Şu ana kadar ki değerlendirmeler sonucu, en verimli fırının, düşük duvar kayıpları olan, sürekli yüksek sıcaklıklarda çalışan, hava ön ısıtma sisteminin etkenliği yüksek olan fırındır. Aynı zamanda, endüstrideki bütün fırınların çok verimli çalışmadığı da açıklar. Şekil 5. Sismey bu hususu görüleceği üzere açıkça vurgulamaktadır. Bir potalı fırının yaklaşık $105500 \times 10^3 \text{ kJ/ton}$ enerji kullandığı görülebilir. Bu enerji yalnızca camı ergitmek kullanılan enerjinin 50 katıdır. Karşılaştırırsak bir sürekli çalışan tank fırımı çalışırken $6330 \times 10^3 \text{ kJ/ton}$ enerji harcar ki, bu miktarda camı ergitmek kullanılan enerjinin 3 katıdır.

Seçilen örnek fırınlar için veriler Çizelge 5.9' da verilmiştir. Aşağıdaki yorumlar bu tablo sonuçlarından çıkartılmıştır.

Çizelge 5.9 Hesapları yapılan fırınlar (Şekil 5.3) hakkındaki bilgiler

Fırın	Sürekli Fırın	Sürekli Fırın	Günlük Tank	Çok Potalı	İki Potalı	Tek Potalı
Fırın Numarası	1	2	3	4	5	6
Haftalık Tonaj (ton)	630	126	14,2	15	6	2,5
kJ / hafta ($\times 10^6$)	4170	1860	250	500	168	77
kJ / ton ($\times 10^6$)	6,6	14,8	17,9	33,1	28,1	30,8
Yanma Verimi	0,596	0,595	0,596	0,649	0,558	0,494
Ergitme Verimi	0,365	0,169	0,132	0,075	0,089	0,081
Yapısal (Structural) Verimi	0,231	0,426	0,464	0,574	0,469	0,413
Geri Dönüşüm Verimi	0,683	0,538	0,637	0,778	0,765	0,650
Ön ısıtma Oranı	0,530	0,382	0,269	0,435	0,271	0,182
Yapısal Verim	0,132	0,102	0,203	0,213	0,299	0,290
Baca Kaybı	0,272	0,303	0,201	0,138	0,142	0,217

(Sismey, 1984)

Yanma verimi:

$$\varepsilon = \frac{(Q_F + Q_A - Q_W)}{Q_F}$$

Ergime verimi: Camı ergitmek için gereken enerji miktarının yakıttaki enerjiye oranıdır.

$$\mu = Q_G / Q_F$$

Ergitme fırınının yapısal verimi: Bu oran, ergitme fırınının çalışma sıcaklığı koruması için gerekli enerji miktarının yakıttaki enerjiye oranıdır.

$$\varepsilon - \mu = \frac{Q_R}{Q_F}$$

İsı geri dönüşüm etkenliği: Yanma verimine benzer bu oran ısı geri dönüşüm sistemlerinde kullanılır.

$$\rho = \frac{(Q_w + Q_{Av} - Q_{W_o})}{Q_w}$$

Yanma havası enerjisinin ön ısıtma sisteme giren baca gazı enerjisine oranını ifade eder. Bu değerler Şekil 5.5' de gösterilmiştir.

Ön ısıtma oranı: Daha önce de tanımlanmış olan bu oran, ön ısıtma yanma havası içinde geri dönen enerji ile ergitme fırından atılan baca gazı enerjisi arasındaki orandır:

$$\sigma = \frac{Q_A}{Q_W}$$

İsı geri dönüşüm sisteminin yapısal verimi: Bu oran kavram olarak ergitme fırını verimine benzerdir.

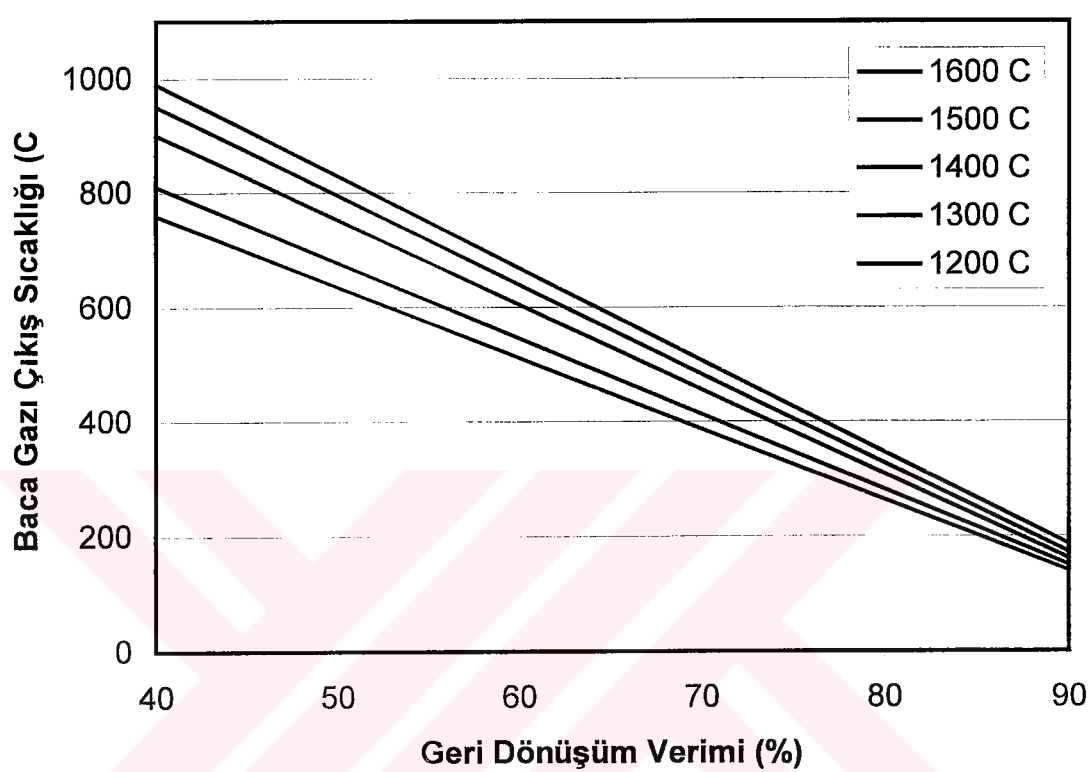
$$(\rho - \sigma) \frac{Q_w}{Q_f} = \frac{Q_L}{Q_f}$$

Baca kaybı: Bu oran, baca gazı enerjisinin yakıt enerjisine oranıdır.

$$\varepsilon = \frac{Q_{W_o}}{Q_f}$$

Örneğin, ilk olarak yüksek verimde çalışan 2 no'lu küçük tank fırını (Şekil 5.3 ve Çizelge 5.9) ele alınıp, yukarıda tanımlanan model ile karşılaştırırsa, geri dönüşüm sistemi etkenliği 0,595 olduğu durumda, her iki fırında kullanılan ısıl enerji aynı olur. Bununla birlikte büyük fırında oluşan alev sıcaklığı 2710K olmasına karşın, küçük fırında ulaşılan alev sıcaklığı sadece 2520K olacaktır. Bunun anlamı büyük fırın için alevden cama geçen ısıl enerjinin, %60 daha fazla olmasıdır. Böylece, büyük fırında spesifik ergitme alanı küçültülebilir, bu da fırının üretim miktarı ile karşılaşmasına dış yüzey alanının daha küçük olması anlamına gelir. Örneğin, 90 tonluk tank fırının dış yüzey alanının üretim miktarına bölünmesi ile $3,53 \text{ m}^2/\text{ton gün}$ değeri çıkarken, 18 tonluk tank fırında bu değer $11,63 \text{ m}^2/\text{ton gün}$ olur. Bu değerler arasındaki oran $1/3,3$ 'dür. Bu hesabın sonucunda, 1 ton cam üretmek için 18 tonluk fırında, 90 tonluk fırına oranla iki kat daha fazla enerjiye gereksinim duyulur. Sayısal olarak ifade edilirse, spesifik

ergitme enerjisi 90 tonluk fırın için 6650×10^3 kJ/ton iken, 18 tonluk fırında 14800×10^3 kJ/ton olur.



Şekil 5.5 Beş ayrı baca gazı sıcaklığı için geri dönüşüm verimi
(Sismey, 1984)

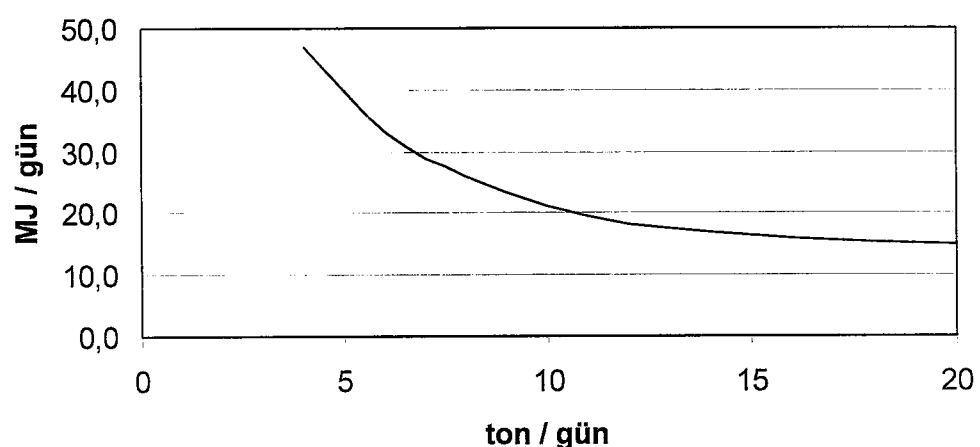
Bunun nedeni, yanma havası ön ısıtma sıcaklığının 90 tonluk fırında 1150°C iken, 18 tonluk fırında bu sıcaklığın sadece 700°C olmasıdır. Isı geri dönüşüm sistemi olarak 18 tonluk fırında radyasyon reküperatörü kullanılırken, 90 tonluk fırında regenerator kullanılmasının nedeni de budur. İki sistemde kendi çalışma şartlarında en uygun sistemlerdir. Bu konunun altının çizilmesinin nedeni, pek çok fırının kendi dizayn kapasitelerinin altında çalışırken doğuracağı sakıncaların gösterilmesidir. Şekil 5.6 ve Şekil 5.7'da spesifik ergitme enerjisi 14800×10^3 kJ/ton olmak üzere dizayn edilmiş 18 tonluk fırının yükleme testi sonuçları gösterilmiştir. Fırının üretim kapasitesi 18 tondan 12 tona indirilirse günlük toplam enerji ihtiyacı 266×10^3 kJ' den 224×10^3 kJ'e düşer, ancak spesifik ergitme enerjisi 14800×10^3 kJ/ton' dan 18700×10^3 kJ/ton' a çıkar; bu da

%26 artış anlamına gelir. Bu nedenle fırınların dizayn kapasitelerinde çalışmalarının sağlanması çok önemlidir. Aksi taktirde üretim maliyetleri önemli ölçüde yükselir.

Sürekli tank fırının da aralıklı çalışması durumunda benzer sorunlarla karşılaşılır. Hafta sonları çalışılmadığı durumlarda fırın kapasitesinin ancak 5/7'si kullanılmış olur. Bu durumda haftanın iki günü yakıt tüketimi boşta çalışma (stand by) değerine düşer. Hesap etmek gerekirse, 18 tonluk fırının termal performansı $(5 \text{ (gün/hafta)} \times 14770 \text{ (}10^3 \text{ kJ/ton)} \times 18 \text{ (ton)}) + 2 \text{ (gün)} \times 158260 \text{ (}10^3 \text{ kJ/gün)} / 18 \text{ (ton)} \times 5 \text{ (gün)} = 1646000 / 90 = 18300 \times 10^3 \text{ kJ/ton}$ olur. Bu durum, spesifik enerjide %24 lük bir artış anlamına gelir ve bu nedenle fırın dizaynında sürekli çalışma önemlidir.

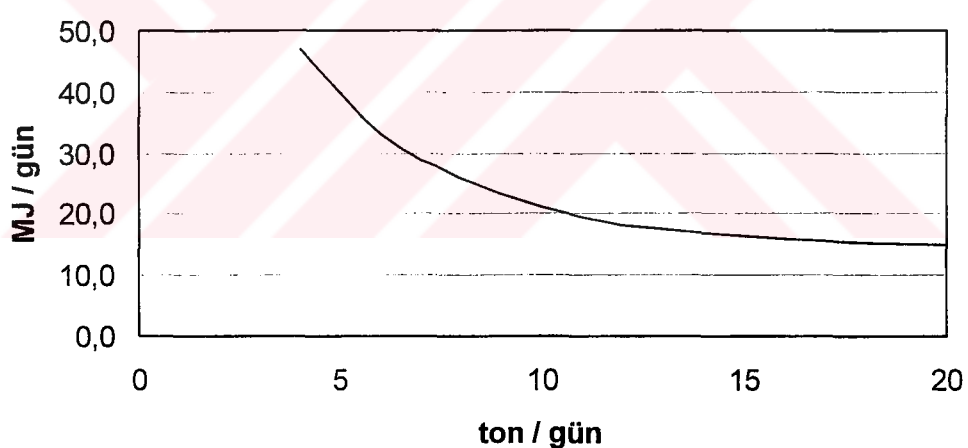
Sürekli üretim yapılırken fırınları karşılaştırmak daha kolaydır. Fırın sürekli ısıtıldığında, fakat aralıklı cam üretildiğinde ise bu karşılaştırma işlemi zorlaşır. Ergitme işleminden boşta çalışma (stand by) konumuna geçildiğinde karşılaştırma işlemi iki kat zor olur.

3 nolu günlük tank fırınında, yukarıdaki değerlendirmeler haftalık yapılarak bu problemlerin üstesinden gelinmiştir. Bir hafta içinde; 5 kez 12 saatlik periyotlarda, fırında cam ergitme işlemi yapılır, 5 kez 12 saatlik periyotlarda, fırında cam fırından alınır, hafta sonunda ise fırın 48 saatlik süre ile boşta çalışır (stand-by) konumunda geçer.



Şekil 5.6 Sürekli tank fırınında yükleme test sonuçları I
(Sismey, 1984)

Bu tank 1790×10^3 kJ/ton' luk göreceli olarak yüksek bir ıslı verime sahiptir, bunun da iki temel sonucu vardır. Birincisi alev ve cam yüzeyi arasındaki sıcaklık farkıdır. İlk örnekte 90 tonluk sürekli tank fırınındaki yüksek alev sıcaklığı nedeniyle, daha fazla ıslı transferi yapılmasına olanak sağlar. Bu durumda ergitme prosesi sırasında büyük miktarda yüklenen soğuk harmandan, alevden soğuk harman yüzeyine ıslı enerji geçiş olur. Böylece ortaya çıkan ıslı enerjiden yararlanma oranı çok yükselir. Daha sonraki doldurmalarla harman, üsteki alev ve alta ergiyen veya ergimiş camdan olmak üzere ıslı iki kaynaktan absorbe edilir. Bu nedenle harmana göreceli yüksek oranlarda ıslı enerji transfer olur. Yüksek ıslı verimi arkasındaki ikinci neden, cam ergime prosesi dışındaki boşta çalışma (stand-by) süresince kullanılan ıslı enerjinin büyük oranda düşmesidir. Ergime süresince ortalama ıslı girdisi saatte 2532×10^3 kJ/ton iken, boşta çalışma süresince bu değer sadece saatte 738×10^3 kJ/ton olur. Örnek fırında olduğu gibi, küçük ölçekli fırılarda fırın yapısından ıslı enerji kaybı düşüktür. Sadece kayıpların azalması değil, hava ısıtma sistemi de bu fırının verimini arttırmıştır.



Şekil 5.7 Sürekli tank fırınında yükleme test sonuçları II
(Sismey, 1984)

Pota fırınlarında aynı davranış gözlemlenebilir, fakat buradaki termal verim sınırlaması daha önceki örneklerdeki gibi değildir. Isının bir kısmı doğrudan cam yüzeyine geleceği yerde, pota duvarları üzerinden cama geçer, bu şekilde belli bir ıslı bariyer oluşur. Bu bariyer oldukça güçlündür, çünkü potanın güvenli olarak dayanabileceği maksimum sıcaklık 1420°C dir. Kilin

termal iletkenliği ile birlikte, kil duvarlardan geçen ıslı enerji miktarı da pota fırınlarının eritme verimini etkiler. Bununla birlikte Çizelge 5.9' da gösterilen 4 nolu çok potalı fırının ergitme verimi, büyük sürekli tank fırını veriminin sadece beşte biridir.

Buna karşın çok potalı fırnlarda mevcut ıslı enerjinin bir kısmı cam ergimesinde kullanılmaz, ısı pota yüzeyinden dışarı atılır. Alevler pota yüzeyine deðmeden pota haznesinde homojen ısı dağılımını sağlamak için, büyük alanlara ihtiyaç duyulur. Büyük hacim nedeniyle ıslı enerji kaybı, toplam yakıt girdisinin %50' sine ulaşabilir. Bu durum, ısı kayıp alanının fırın içinde tutulan cam ağırlığıyla yakından baþantılı olduğunu gösterir. Çok potalı fırında bir ton için 28 m^2 yüzey gerekli iken, bu alan 90 tonluk sürekli üretim yapan tank fırını için ton başına $3,7\text{ m}^2$ ' dir

Yukarıda incelediðimiz fırın da dahil olmak üzere, çok potalı fırınların çoğu, sabit bir sıcaklıkta çalışırlar. Camdan alınan enerjiye göre ıslı kütle büyük olduğundan, bu fırınlar sabit yakıt girdisinde çalışırlar. Bu ölçme periyodun 24 saat ile sınırlanabileceği anlamına gelir. Bu özel fırında, oniki kapalı pota altılı iki grup halinde gün aşırı kullanılır. Termal hesaplamalar cam harmanının 12-13 saatte tam anlamıyla eriyebildiğini gösterir. Bununla birlikle, camın rafine edilmesi için gereken ve 6-8 saate kadar uzayan süre ile, camın 24 saatte önce fırından alınmayacağını gösterir. Bundan dolayı ergime halinde ve tamamen ergimiþ durumdaki cam, pota içinde yaklaşık 40 saat kalır.

Pota odacığından ayrılan baca gazında bulunan enerjinin sadece yarısı, fırndaki ön ısıtma sisteminden geriye döner. Sonuç olarak yakıttan elde edilen ıslı enerjinin %40'ı fırın duvarları veya baca gazları ile kaybolur. Isı geri dönüşüm sisteminde, borulu reküperatör reflektörlerinin iyi yalıtmıyla, ısı geri dönüşüm düzeyi arttırlabilir.

Bir ve iki potalı fırın (Çizelge 5.9' da 5 ve 6 numaralı) hesapları, çok potalı fırınlarla benzer zorluklar gösterir.

Çok potalı fırınların da ergime verimi düşüktür ve yapısal ısı kayipları yüksektir. Bir ve iki potalı fırınların hava ön ısıtma etkenliğinin çok potalı fırnlardan daha düşük olması nedeniyle, ergime verimleri çok potalı fırnlardan daha da düşüktür.

6. TRAKYA CAM FABRİKASI'nda İSİL ENERJİ TÜKETİMİNDE MEVCUT DURUM

6.1 Giriş

Trakya Cam Fabrika'ında buhar tüketimi, elektrik üretimi hariç, yaz aylarında 4000 ton/ay, kış aylarında ise 9000ton/ay civarında olmaktadır. Bununla birlikte buhar tüketim noktalarındaki tüketim miktarı, buhar sayaçları olmadığından tam olarak ölçülememekte, buhar dağılımı sadece tahmin edilebilmektedir. Fabrikadan alınan verilere göre buhar tüketiminin olduğu başlıca yerler, lojmanlar, lamine hattı (güvenlik camı üretimi), fabrika mahal ısıtma, mamul ambarının ısıtilması, hidrojen tesisi, harman nemlendirme, azot tesisi, teknolojik su üretimi olarak sayılabilir. Elektrik üretimi hariç doğal gaz tüketiminin ise hemen hemen tamamı cam ergitme fırınları ve banyolarında bulunmaktadır. Elektrik tüketiminin olduğu başlıca noktalar ise, azot üretimi, boosting^{*1}, fırın soğutma fanları, teknolojik su üretimi ayna üretim hattı ve lamine hattıdır.

Tez çalışmasının amacı proseste enerji tüketimini modellemek olduğundan, bu bölümde ele alınacak prosesler;

- CamErgitme Fırınları ve Banyoda Isıl Enerji Tüketimi
- Güvenlik Camı Üretiminde Kullanılan Otoklavda Isıl Enerji Tüketimi
- Hidrojen Eldesi Prosesi

olarak belirlenmiştir.

*! Boosting: Fosil yakıtlarda kullanılan üretim kalitesini artırmak için elektrik enerjisi ile ek isıl enerji verilmesi prosesi olarak tanımlanabilir.

6.2 Kojenerasyon Sistemi ve Buhar Üretim ve Tüketimi

Trakya Cam Fabrikası'nda bulunan elektrik şebekesi ikiye ayrılır. Orta gerilim 31,5 kV, alçak gerilim 400 V dur. Fabrika alanı içinde bulunan Camış Elektrik Üretimi Şirketi'nin jeneratörünün çıkıştı ise 6,3 kV dur. Ülkemizin tükettiği elektriğin bir bölümünün ithal edilmesi sonucu, Trakya Cam Fabrikası'nın da bulunduğu Trakya Bölgesi için Bulgaristan'dan elektrik alınmaktadır. Alınan bu elektriğin voltajının değişkendir, zaman zaman 180 V' a kadar düşmektedir. Bütün yapılan ithalata karşılık yine de elektrik kesintisi tehlikesinin mevcut olması, sürekli üretim yapan fabrikada elektrik sisteminde kesinti veya değişkenliklerin fabrikaya büyük zarar vermesi nedeniyle bir kojenerasyon sistemi kurulmuştur. Camış Elektrik Üretimi Şirketi'nin kojenerasyon sisteminde, iki adet gaz turbini, iki adet türbin baca gazi ile çalışan atık ısı kazanından bir adet buhar turbini ve cam fırınlarının baca gazlarından yararlanan atık ısı kazanından iki adet vardır. Gaz turbinlerinin katalogda belirtilen ISO' ya göre çıkış değeri 10,695 MW_e' dir. Türbinler bu değere ulaşmak için yaklaşık olarak 3500 Nm³/h doğal gaz yaktırmaktadır. Pratikte kışın katalog değerlerindeki çıkış değerine yaklaşan (10,5 MW_e) çıkış gücü, yazın artan hava sıcaklığı sonucu düşen havanın özgül ağırlığıyla 8 MW_e' a kadar düşer. (13°C için 10,5 MW_e, 40°C için 7,7 MW_e). Bu düşmeyi önlemek için Camış Şirketinde turbinlere giren havanın absorbsiyonlu soğutulması konusunda bir Ar-Ge çalışması yürütülmektedir. Türbinlerin her birinden yaklaşık 150 000 kg/h debisinde ve 488°C' de eksoz gazı atılmaktadır.

Buhar üretimi dört adet atık ısı kazanından sağlanmaktadır. İki adet atık ısı kazanı, gaz turbinlerinden çıkan eksoz gazını kullanarak buhar üretmektedir. Her bir atık ısı kazanı 52 bar basınçta 16/h ton ve 8 bar basınçta 3,5 t/h buhar üretir. Diğer ikisi ise, iki adet cam fırınından çıkan baca gazından yararlanmak üzere kurulmuştur. Can ergitme fırınlarının bacalarında bu iki atık ısı kazanının her birinde ise 52 bar basınçta 9,4 ton buhar üretilmesi planlanmıştır, pratikte ise 8,5 ton buhar elde edilmiştir. Bunun nedeni, atık ısı kazanlarının projeleri yapılrken cam fırınından atılan baca gazi debisinin 67 500 Nm³/h, sıcaklığının 450 °C olarak kabul edilmesi, ancak daha düşük sıcaklıkla karşılaşılmasıdır. Bu olumsuz durumu gidermek için ara kızdırıcılar konulmuştur.

Üretilen 52 bar basıncındaki buharın yaklaşık 50 ton/h' luk bölümü buhar türbinine 49 bar basınçta ve 410 °C sıcaklıkta girer ve buhar türbinden 11500 kW_e elektrik enerjisi sağlanır. Bu değer maksimum kapasitedir ve yıl ortalaması ise söz konusu değerin %75'i civarındadır. Bu kapasite düşüklüğünün başlıca nedeni, fırın bacalarındaki atık ısı kazanlarından yeterince buhar gelmemesidir. Atık ısı kazananında yeterince buhar üretilememesi nedeni ise, üretilen cam prosesinin (ince, kalın, renkli, renksiz v.b.) ve buna bağlı olarak baca gazı miktarının değişken olmasıdır. Buhar türbinin çıkıştı ise -0,9 bar basınçta olur. Buhar türbininden yapılan ara buhar çekisinin basıncı 7 bar' dır. 52 bar buharın buhar türbininin dışında diğer tüketildiği diğer noktalar, (basınç 10-15 bara düşürülerek) otoklav ve hidrojen üretimidir. Otoklavda ihtiyaç olan 10,5 bar basınçtaki buharı sağlamak için, 8 bar basıncındaki buharın kızdırılıp 10,5 bar basınçta çıkarılması yada 10,5 bar basınçta çalışan otoklavın 8 bar basınçtaki buharı kullanacağı şekilde dizayn edilmesi düşünülmeden, 52 bar basınçtaki buharın basıncı 10,5 bar basınçta düşürülerek kullanılma nedeni bir soru işaretidir. Üretilen 8 bar basıncındaki buharın başlıca kullanım alanları, 236 adet her biri yaklaşık 100 m² büyülüğündeki lojmanlar, üretim ve yönetim binaları ve yemekhanenin ısıtılması, sıcak su ihtiyacının karşılanması, mamul ambarının belirli bir sıcaklıkta tutulması, fırına atılan harmanın sabit nemde tutulması, sıvı azotun gazlaştırılması, hidrojen tesisi, teknolojik su üretimi işlemleridir.

6.3 Cam Ergitme Fırını ve Banyo

Trakya Cam Fabrikasında birbirine benzer TR1 ve TR2 adlı iki fırın ve buna bağlı banyo ve üretim hattı bulunmaktadır. Bu fırılarda float (yüzer) cam (düz cam) üretimi yapılır. TR2 fırının kapasitesi yaklaşık olarak 700 ton/gün, TR1' nin kapasitesi boosting çalışmadığında 660 ton/gün, boosting çalışlığında 725 ton/gün dür. TR1 fırınında bulunan boosting molibden elektrodlar yardımı ile gerçekleşmektedir. Fırınlar yandan ateşlemeli olup, hava-yakit karışımının fırına girmesi yada fırından baca gazının atılması amacıyla, sağ ve solda altışar adet olmak üzere, toplam oniki portu mevcuttur.

Fırınlarda 1400°C-1425°C sıcaklıklara kadar çıkarılır. Camın rengi, çıkarılacak olan sıcaklığı belirler. Bu kadar yüksek sıcaklıklara çıkışmasının nedeni afinasyon (camın gaz habbelerinden arındırma) işlemidir. Afinasyon işlemine gerek olmadığı taktirde, renksiz cam için yaklaşık 1125°C sıcaklık, camın ergitilip şekillendirilmesi için yeterlidir. Cam içindeki bileşikler içinde en

zor sıvı fazda geçen SiO_2' (silika) dır. Al_2O_3 ise tam sıvı fazda geçmeyip camın içinde erir. 851°C 'de ilk ergiyen madde $\text{Na}_2\text{CO}_3'$ (sodakülü) dür. $\text{Na}_2\text{CO}_3'$ nin kullanılmasındaki en önemli neden camın ergime sıcaklığını düşürmesidir. Daha sonra 874°C ' de $\text{Na}_2\text{O} \cdot 2\text{SiO}_2$ (sodyumdisilikat) ergir. $1000^\circ\text{C}-1400^\circ\text{C}$ arasında ise feldspat, metasilikat, SiO_2 ve CaO ard arda sıvı fazda geçerek camı oluşturur (Tooley, 1953).

Cam fırınlarının ömrü, fırın içinde ergimiş cam seviyesindeki reflektör tuğlaların ömrü ile sınırlıdır. Bunun nedeni cam dalgacıklarının reflektörden küçük parçacıklar koparmalarıdır (Tooley, 1953). Tuğlalar aşındığında fırın dıştan destek tuğlaları ile desteklenir. Destek amacı ile yerleştirilen reflektör tuğlalar da aşındıktan sonra fırının bütün tuğlaları söküller ve yeni tuğlalar döşenir. Bu süreye "fırın ömrü" denir. Fırın ömrü yaklaşık olarak on-oniki yıldır. Reflektör tuğla aşınması düşük sıcaklıklarda daha az olduğu için, fazla aşınma olan bölgeler dışarıdan hava ile soğutulur. Fırını hava ile soğutma işlemi iki ayrı fan sistemi ile yapılır. Doğrudan alevle temas eden yan bloklardaki yüzeylere yüksek basınçta hava üflenirken, alçak basınç fanları alevle karşılaşmayan bölgeleri örneğin kemer yataklarını soğutur.

Fırınların her birinde yaklaşık olarak 1800-1850 ton arasında cam vardır. Toplam iç alan TR1 fırınında 426 m^2 , TR2 fırınında ise 487 m^2 dir. Fırılardaki ergimiş cam yüksekliği 116 cm. kadardır. Fırının ergitme havuzunda basınç (+) 35 mmSS , çalışma havuzunda (+) $100 \text{ mmSS}'$ dur. Fırını ısıtmak için doğal gaz kullanılır. 660 ton/gün' lük renksiz cam üretimi için doğal gaz tüketimi yaklaşık olarak $160\ 000 \text{ Nm}^3/\text{gün}$ dür. Eğer aynı miktarda üretim için çift yakıt kullanılırsa, tüketim düzeyleri $65\ 000 \text{ Nm}^3/\text{gün}$ doğal gaz ve $38\ 000 \text{ kg/gün}$ No6 fuel-oil olarak gerçekleşir. Hava fazlalık katsayıları doğal gaz için %7,5, fuel oil için %10 dolaylarındadır. Her portta iki bek olmak üzere bir fırında toplam 24 bek vardır. Fırınların yan ve alt bölümlerinde soğutma fanları daha sıcak bölümlerde ise soğutma suyu kullanılır. Yüksek basınç fanının debisi $220\ 000 \text{ m}^3/\text{h}$, basıncı 338 mmSS ve mil gücü 238 kW (motor gücü 300kW) dır. Her fırında ikişer adet olmak üzere $125\ 000 \text{ m}^3/\text{h}$ debisinde, 156 mmSS basıncında ve motor gücü 68 kW alçak basınç fanları mevcuttur. TR1 fırınındaki elektrodların toplam kapasitesi 2400 kW dir. Elektrodlar birinci bölgede tabandan 60 cm , ikinci bölgede ise 70 cm cam içine girecek şekilde yerleştirilmişlerdir. Elektrodlar daha çok içinde demiroksit bulunan camlar için, demiroksitin fırının tabanına çökmesini önlemekte kullanılır.

Cam ergitme fırınlarının her birinde iki adet rejeneratör vardır. Bu rejeneratörlerin içi tuğla döşelidir. Bir rejeneratörden sıcak baca gazı atılırken tuğlaları ısıtır, diğerinden ise sıcak tuğlaların arasından geçen yanma havası ısınarak fırına girer. Her yirmi dakikada bir yanma havası giren rejeneratörle, baca gazının atıldığı rejeratör görev değiştirir (invers). Bu işlem bir klapa yardımı ile yapılır. Invers işlemi için yirmi dakikalık süre pratik yaklaşımla yapılmış optimum kabul edilen süredir. Baca gazlarının rejeneratöre girdiği sıcaklık, baca gazının portlara girişindeki port yüzey sıcaklığı olan 940°C , rejeneratörden çıktıığı sıcaklık olarak da baca gazının atık ısı kazanına girdiği sıcaklık olan 404°C alınmıştır. Yanma havasının fırına giriş sıcaklığı olarak yakma havasının fırına girdiği portun yüzey sıcaklığı olan 412°C kabul edilmiştir. Bu sıcaklıklar bir invers süresince alınmış değerlerin ortalamasıdır. Harmandan reaksiyonlar sonucu çıkan gaz miktarı toplam baca gazının %2,5 kadardır ve fırın soşluklarından kaçan baca gazıyla birlikte ihmali edilmiştir.

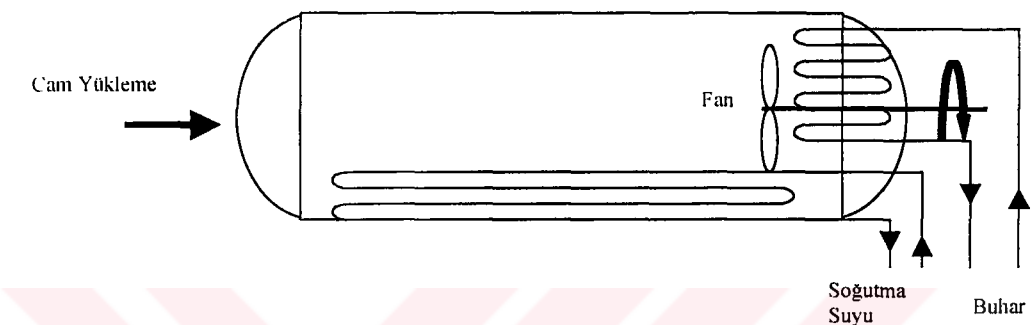
Banyo ergitme fırından sonra gelen bölümdür. Burada cama şekil verilir ve cam kontrol altında soğutulur. Daha sonra cam gerilimler dolayı çatlamaması için tavlanır. Ergimiş cam, ergitme sonrası, sırası ile şartlandırma (yarı cam hali), hızlı soğuma, kalınlık ayarı ve tavlama tünelinde gerilim ayarı işlemlerinden geçer. Şekillendirme öncesi şartlandırma ve hızlı soğuma işlemleri camın serbest olarak sıvı kalayın üstüne dökülmesi ile yapılır. Banyoda yaklaşık 190-200 ton kalay vardır. Camın banyoya giriş sıcaklığı 1100°C , çıkış sıcaklığı 575°C dir. Banyonun (kalay havuzu) tabanını soğutmak amacıyla fanla hava üflenir. Bu fanın debisi $150\ 000\ \text{m}^3/\text{h}$, basıncı 190 mmSS ve motor gücü 238 kW dir. Camın kalınlığını “tampol” adı verilen makine ile ayarlanır.

Cam kalınlığı 12 mm. olduğunda, cam çekme hızı $250\text{-}260\ \text{m/h}$ ' olurken, cam kalınlığı 2, 2,2 ve 2,5 mm' ye düşürüldüğünde, cam çekme hızı $1100\text{-}1200\ \text{m/h}$ ' e çıkar. Cam, 2 mm kalınlığında olduğunda 500 t/h olan üretim miktarı, 5-6 mm kalınlığına ulaştığında 700 t/h' e çıkar.

6.4 Otoklav

Fabrikada güvenlik camı üreten otoklav silindirik bir basınçlı kaptır. İçindeki hava buhar yardımı ile ısıtılmakta, soğutma suyu ile de soğulmaktadır. Soğutma suyu ise gönderildiği soğutma kulesinde enerjisini bırakmakta yani soğumaktadır.

Güvenlik camı genel olarak iki camın arasına PVB (polivinilbütildehit) konularak elde edilir. Cam-PVB-cam kombinasyonu otoklavın içindeki havanın yaklaşık 13 bar ve 135 °C' de belirli bir süre tutularak, bu opak kombinasyonun saydam duruma gelmesi sağlanır. Otoklavın tam boyu yaklaşık olarak 8,5 m, çapı 4 m dir. 8,5 m olan tam boyun yaklaşık 7 m' si güvenlik camı için basınçlı üretim bölümü, 1,5 m. ise eşanjör ve fanın bulunduğu bölümüdür. Camları otoklava yüklemek için "araba" olarak bilinen bir demir taşıyıcı kullanılmaktadır (Şekil 6.1).



Şekil 6.1 Şematik otoklav çizimi

Trakya Cam Fabrikasında otoklavda yoğun olarak üç ayrı üretim programı kullanılmaktadır. Program1, Program2 ve Program Jumbo (Program5) olarak adlandırılan bu programların arasındaki fark, işlenen camın boyutları, kalınlıkları ve miktarına bağlı olarak ve otoklavdaki ısılışım süresinin değişmesidir. Program süreleri Çizelge 6.1'de gösterilmiştir.

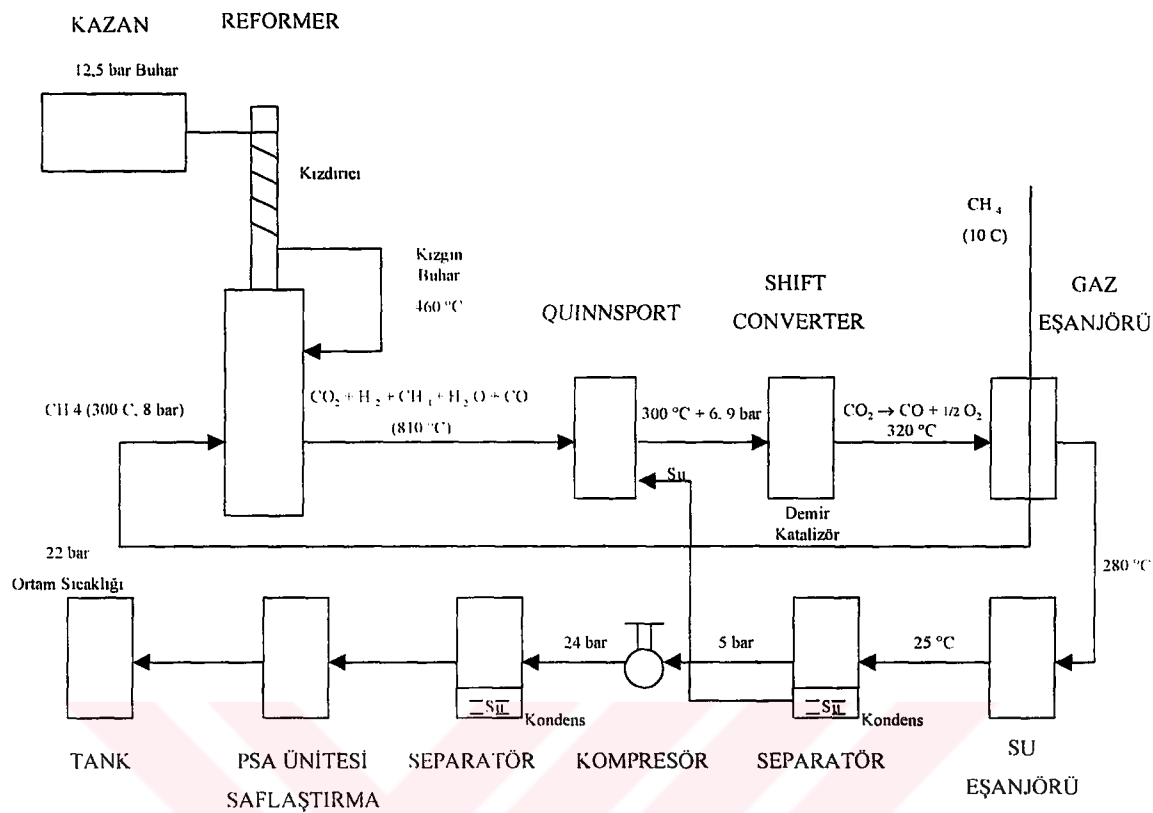
Çizelge 6.1 Otoklav program süreleri

	Program1 Süresi (dak.)	Program2 Süresi (dak.)	Prog. Jumbo Süresi (dak.)
Isıtma	30	40	40
Bekleme	30	40	45
Soğutma	30	55	135
TOPLAM	90	135	220

6.5 Hidrojen Eldesi Prosesi

Banyoda sıvı kalay herhangi bir reaksiyona girmez, sadece camın şekillendirilmesinde önemlidir. Kalayın okside olmasının önlemek için, ortamın antioksidan duruma getirilmesi gereklidir. Bu nedenle azotun içine %5 oranında hidrojen katılarak banyo atmosferine verilir.

Banyo ortamına verilen azot, havanın sıvılaştırılması ile elde edilir. Hidrojen ise doğal gaz ile buharın reaksiyona girmesi ile elde edilmektedir. Azot, kalayın oksijen ile temas etmesini önerken, hidrojen ortama giren havanın oksijenini ile de reaksiyona girerek, kalayın okside olmasını önler. Reformerde, metan (doğal gaz) ve buhar yaklaşık 810°C sıcaklık ve 8 bar basınçta reaksiyona girer, bu reaksiyon sonucunda CO , CO_2 , H_2 , CH_4 elde edilir. Reformerden çıkan bu gaz karışımına su püskürtülerek ortamdaki CO miktarı düşürülür; su, CO_2 ve hidrojen miktarı arttırılır. Bu sırada sıcaklık 300°C 'ye düşerken, çıkan gaz Fe katalizörle reaksiyona girer. Katalizörden çıkan gazın kondensi alınarak, saflaştırma işleminden yeterli saflikta hidrojen elde edilir ve 22 bar basınçta depolanır. Bu proses Şekil 6.2' de görülebilir.



Şekil 6.2 Hidrojen eldesi prosesi

6.6 Azot Eldesi Prosesi

Hidrojen eldesi bölümünde de anlatıldığı üzere, banyo ortamında kullanılan iki gazdan biri azottur. Hidrojen antioksidan olarak, azot ise inert gaz olarak işlev görür (Özkol 1999).

Gazların sıvılaştırılması için üç temel yöntem vardır. Dış Enerji (iş) Yaptırarak Adyabatik Genleştirmeye (Claude) yöntemi, Trakya Cam Fabrikası'nda kullanılan yöntemdir.

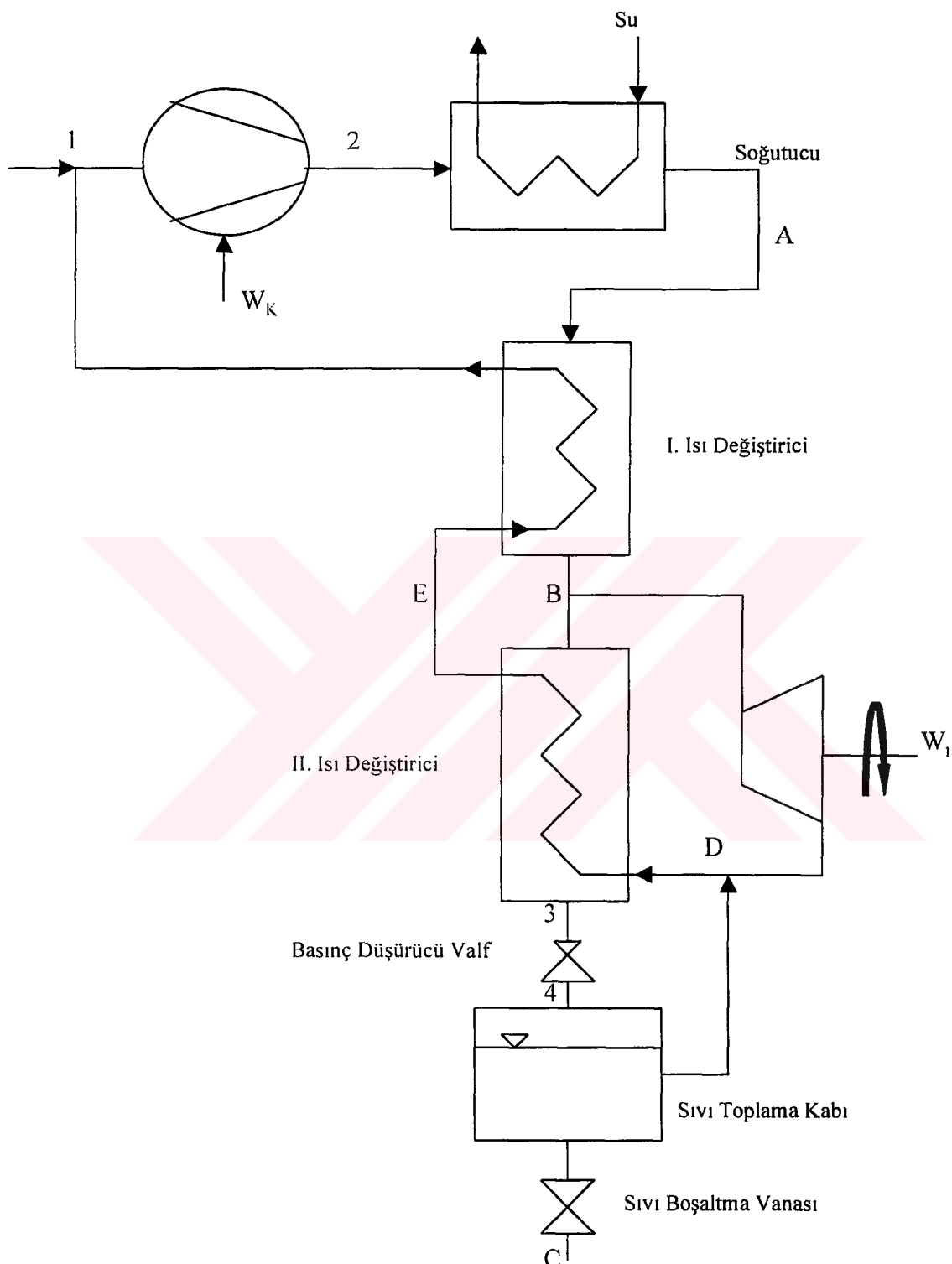
1. Kaskat Metodu
2. Joule –Thomson Metodu
3. Dış Enerji (iş) Yaptırarak Adyabatik Genleşme Metodu (Şekil 6.3) (Büyüktür, 1991).

Daha çok, havanın "cryogenic*" sıcaklıkların altında soğutularak içindeki gazların ayrılmasında, sıvı hidrojen üretiminde, sıvılaştırılmış gazların depolanması ve nakliyesinde kullanılır (Büyüktür, 1991).

Fabrikada azot eldesi için 3 adet pistonlu ve 3 adet türbinli turbo kompresör vardır. Pistonlu kompresörün her biri 12 bar basınçta $2700 \text{ m}^3/\text{h}$ debide hava sıkıştırabilecek kapasitede, 490 d/dak devirde ve 400 kW gücünde olup, turbo kompresörlerin her biri 9 bar basınçta $3200 \text{ m}^3/\text{h}$ debide havayı sıkıştırabilen 470 kW gücündedir. Sıkışan basıncılı hava 7 bar basınçta stoklanır.

Türbinlerden çıkan gaz havanın basıncı ile çalışan soğuk dolap türbini olarak anılan 2 adet türbinden geçen hava, genleşerek soğur. Soğuk dolap türbinleri, bir adet $2023 \text{ Nm}^3/\text{h}$ debide 23,2 kW gücünde 36000 dev/dak da çalışan, bir adet $1817 \text{ Nm}^3/\text{h}$ debide 18,17 kW gücünde 34100 dev/dak da çalışan türbinden oluşur. Azot ve hidrojen gazlarının kritik basınçlarının altında -160°C 'ye kadar soğutulan havada gazlar sıvılaşarak ayrılmaya başlar. Ayrılan azot, -190°C sıcaklıkta 4 bar basınçta 210 m^3 hacimli tankta saklanır. Günde yaklaşık $2800-2900 \text{ Nm}^3$ azot kullanılır.

*¹ Cryogenic Sıcaklık: Havanın içindeki iki element olan oksijen ve azotun ayrılması amacıyla, havanın 160°C ve altındaki sıcaklık olarak nitelendirilebilir



Şekil 6.3 Claude Yöntemi ile N_2 üretimi

(Büyüktür, 1991)

7. BİLGİSAYAR PROGRAMININ TANITIMI

7.1 Giriş

Bir cam fabrikasında proseslerde tüketilen ıslı enerjinin modellemesi amacıyla bilgisayar ortamında bir program geliştirilmiştir. Excel programında yazılmış olan ve kullanıcıyla dost olarak nitelendirilecek program başlıca 3 modülden oluşmaktadır:

Modül I : Sürekli olarak çalıştığı kabul edilen bir cam ergitme fırını modelleyen *Ergitme Fırını Modülü*

Modül II : Güvenlik camları üretimi için kullanılan ve esas itibarıyla kesikli çalışan bir ıslı işlem fırını modelleyen *Otoklav Modülü*

Modül III : Ergitme işleminin son prosesinde azot atmosferine giren oksijeni. antioksidan olarak su buharına çeviren hidrojenin, reformerde metan ve su buharının reaksiyona girerek üretilmesi yöntemini modelleyen *Hidrojen Üretim Modülü*

Hazırlanan bilgisayar programı ilke olarak bu ve benzeri prosesleri içeren tüm işletmeler için kullanılabilir. Ancak, fırın kabuk yapısı, ısı geri kazanım sistemleri, soğutma devreleri gibi hususlar tüm işletmeler için aynı olamayacağından, kullanıcının bu ve buna benzer alt modüllerde bazı değişiklikler yapmaları gerekebilecektir.

Bir önceki bölümde ele alınan Trakya Cam Fabrikası örnek işletme olarak seçildiğinden bilgisayar programı bu işletmedeki altyapı kısıtları ve yardımcı ekipman portföyü göz önünde tutularak hazırlanmıştır.

7.2 Ergitme Fırını Modülü

Programın bu bölümünde farklı cam çeşitleri için kullanılan harmanın, yalnızca rejeneratörlü ve karşı yanmalı bir fırında değil, sürekli olması koşuluyla rejeneratörü olmayan yada sondan yanmalı fırnlarda da, cam ergimesini modellenmektedir. Diğer bir delege rejeneratörü olsun yada olmasın bu model kullanılabilir; ancak özellikle baca kayıpları alt modülünde önemli

değişiklikler gerekecektir. Ayrıca bu modül günlük tank veya pota fırınlarında üretilen özel yada nitelikli camların modellenmesi için kullanılmamalıdır.

Bu módülün şeması Şekil 7.1' den görülebilir. Programda kullanılan farklı cam çeşitleri kompozisyonları (Doyle P. J., 1977)' den alınmıştır. Genellikle metaloksitlerden meydana gelen bu kompozisyonlar çeşitli bileşiklerden oluşabilir. Bir metaloksit birden fazla bileşikte, birkaç bileşik ise belli oranlarda bazı cevherlerde (feldspat gibi) yer alabilir. Bu cevherler "harman" olarak doğrudan fırının içine atılabilir. Belirli bir kompozisyonda cam üretirken, istenen tür ve miktarда metaloksitin camda bulunması için değişik bileşik ve cevherler kullanılabilir. Hangi cevherin kullanılacağı hususu cevherin bulunabilirliği ve ekonomikliğine bağlıdır.

Ceşitli cam türleri için kullanılan ham maddeler ve reçeteleri Çizelge 7.1' den görülebilir (Tooley, 1977). Ancak bu çizelgedeki float cam harmanı kompozisyonu, Trakya Cam Fabrikası' nın kullandığı kompozisyon olarak seçilmiştir.

Programda cam türünün kodu girilerek istenilen analiz yapılabılır. Ayrıca Çizelge 7.1' de verilenler dışında da bir reçete oluşturmak mümkündür.

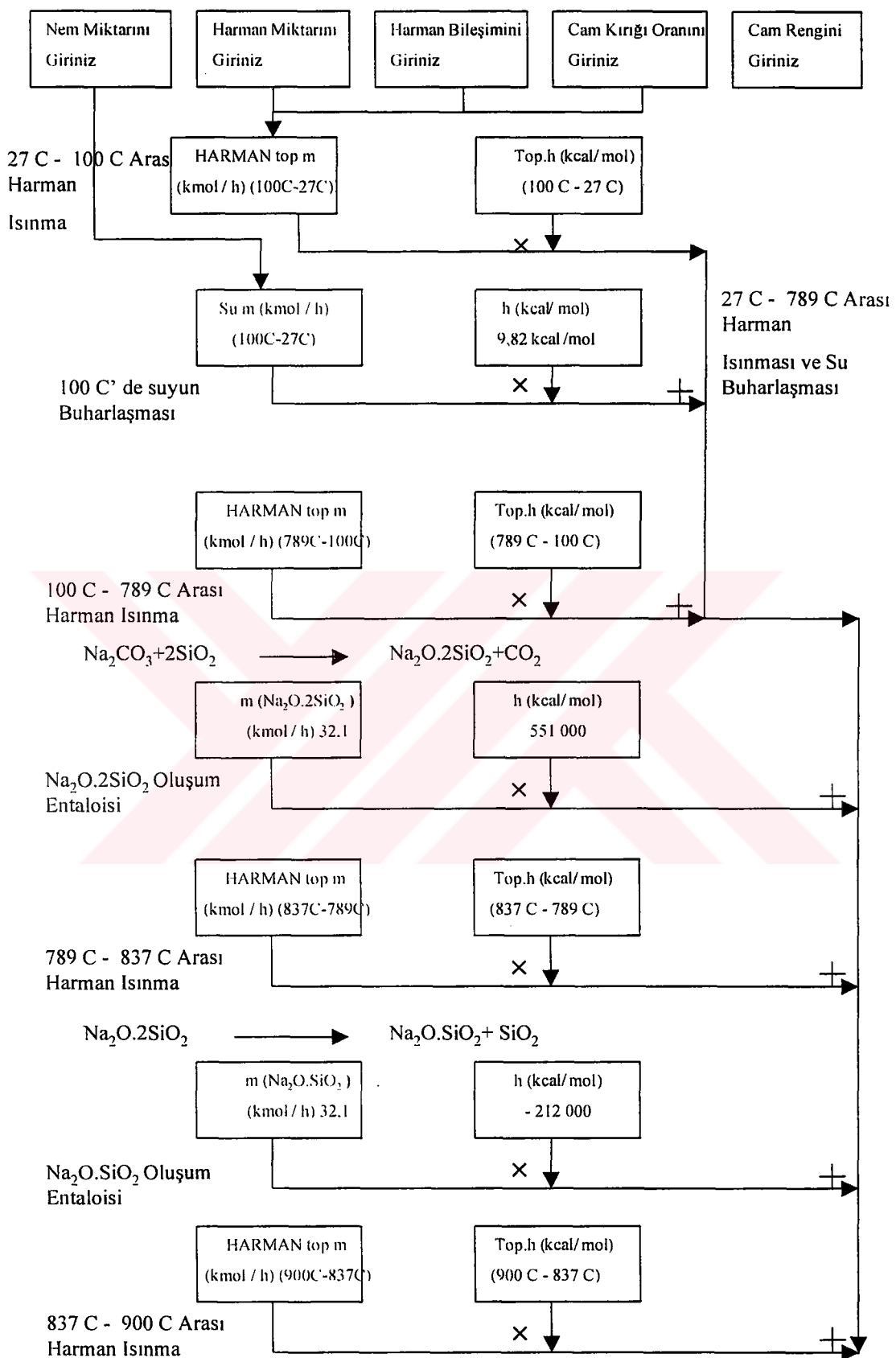
Şekil 7.1' deki akış şemasından da görüleceği üzere ergime süreci;

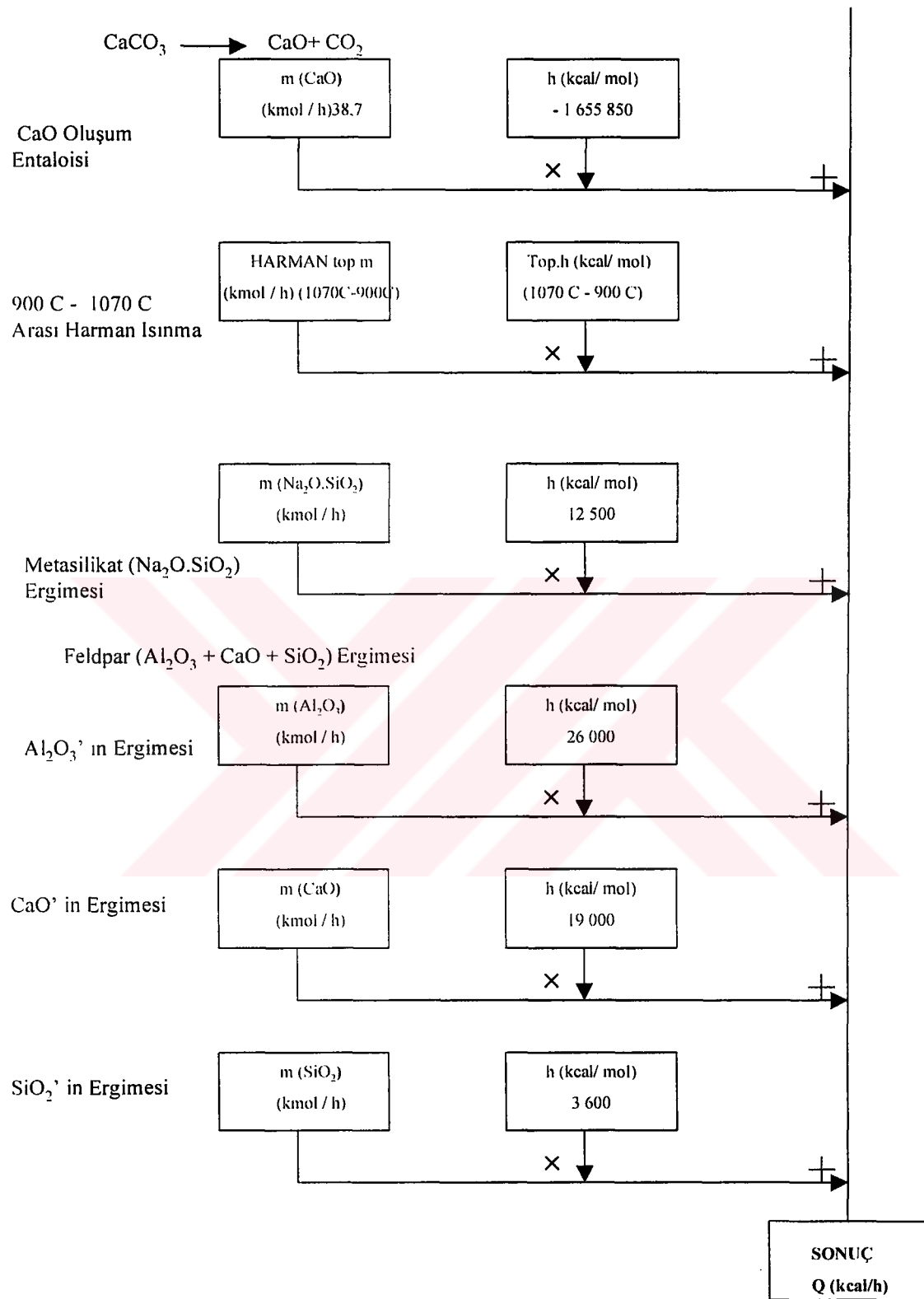
- harman ısıtılması
- nem ve suyun buharlaştırılması
- kimyasal reaksiyonlar, örneğin



- $\text{Na}_2\text{O} \cdot 2\text{SiO}_2$ ergimesi
- CaO ve SiO_2 ergimesi

aşamalarından oluşmaktadır.





Şekil 7.1 Ergitme fırını modülü akış şeması

Çizelge 7.1 Çeşitli Cam Türleri İçin Kullanılan Hammaddeler

Cam Tipi	Kodu	CaCO ₃	Na ₂ CO ₃	SiO ₂	Felspat	SiO ₂	K ₂ (Na ₂ O)	Al ₂ O ₃	Fe ₂ O ₃	MnO,CaO2002	BaSO ₄	K ₂ CO ₃	Na ₃ AlF ₆	PbO	Na ₂ B ₄ O ₇	ZnO	Al ₂ O ₃	MgO
Float (Düz) Cam	1	18,60	20,20	55,30	7,90	5,45	1,03	1,42	0,00	0,00	0,00	0,00	0,00	0,00	0,00	0,00	0,00	
Flat	2	4,34	18,02	56,45	6,53	4,51	0,85	1,18	0,08	14,58	0,00	0,00	0,00	0,00	0,00	0,00	0,00	0,00
Flint Ambalaj	3	16,74	19,01	56,64	7,57	5,22	0,98	1,36	0,04	0,00	0,00	0,00	0,00	0,00	0,00	0,00	0,00	0,00
Bal Rengi Ambalaj	4	15,26	19,62	55,91	9,02	6,22	1,17	1,62	0,19	0,00	0,00	0,00	0,00	0,00	0,00	0,00	0,00	0,00
Yeşil Ambalaj (Şişe vs.)	5	8,23	20,60	57,09	5,14	3,55	0,67	0,83	0,81	8,13	0,00	0,00	0,00	0,00	0,00	0,00	0,00	0,00
Borosilikat	6	0,17	0,00	68,40	14,05	9,69	1,83	2,53	0,07	0,00	0,00	0,00	0,00	0,00	17,31	0,00	0,00	0,00
Ampul (Opal) Cam	7	0,00	23,74	44,09	17,54	12,10	2,28	3,16	0,05	0,00	1,22	0,00	10,02	0,00	1,09	2,25	0,00	0,00
Kurşun Oranı Çok Kristal	8	0,00	0,00	49,40	0,50	0,35	0,07	0,09	0,02	0,00	0,65	19,88	0,00	28,90	0,65	0,00	0,00	0,00
Kurşun Oranı Az Kristal	9	0,00	0,00	52,20	0,00	0,00	0,00	0,00	0,02	0,00	1,84	22,74	0,00	22,48	0,62	0,00	0,00	0,00
Cam Elyafı, "A" Tipi	10	11,95	17,91	53,65	11,90	8,21	1,55	2,14	0,43	3,54	0,00	0,00	0,00	0,00	0,62	0,00	0,00	0,00
Cam Elyafı, "F" Tipi	11	17,15	0,00	43,09	3,13	2,16	0,41	0,56	0,25	16,16	0,00	0,00	0,46	0,00	8,30	0,00	11,46	0,00
Renkli Televizyon Tüpü	12	0,41	14,25	42,55	15,45	10,66	2,01	2,78	0,00	4,24	15,49	7,61	0,00	0,00	0,00	0,00	0,00	0,00
Alüminasilikat Camı	13	0,00	1,54	51,29	0,00	0,00	0,00	0,00	0,01	16,28	0,00	0,00	0,00	0,00	5,20	0,00	18,44	7,24

Harman ısıtılması süreci her aşama için ayrı ayrı ele alınmaktadır. Görüleceği gibi birim 100 kg'lık bir harmanla başlayan prosesde her adımda (yukarıda verilen) fırında kalan harmanın ağırlığı azalmaktadır. Örneğin, float camda işlemin sonunda ağırlık 87,4 kg' a düşmektedir.

Belirli sıcaklık düzeyleri prosesi dolayısıyla camın kompozisyonunu ve kalitesini en üst düzeyde etkilemektedir.

Harmanla fırına giren hammaddeler, cam kırığı dışında ya reaksiyona girer yada faz değiştirir. Yeni oluşan yada faz değiştiren maddelerin entalpisi doğal olarak değişecektir. Bu değişimler, oluşum entalpileri, faz değişim entalpileri ve oluşan endotermik ve ekzotermik reaksiyonların, ısılарının tümü programda mevcuttur.

Brüt cam üretim hedefleri ve harmanın nemi bilindiği taktirde, ne kadar harmanın fırına atılması gerekiği ortaya çıkar. Daha önce de belirtildiği gibi, 87,4 kg float camı üretimi için 100 kg'lık harmana ihtiyaç duyulacaktır.

Programda tüm bileşenler kmol cinsinden değerlendirilmekte böylece reaksiyon ve ergime hesapları daha kolay yapılabilmektedir. Bir harmanda bulunabilecek bileşiklerin ısıl kapasite formülleri, ergime sıcaklıkları, buharlaşma ve oluşum ısılıarı (Dikeç, 1982)' den alınmıştır. Başlıca reaksiyon ve oluşum entalpileri ve diğer termofiziksel bilgi Ek2'den görülebilir..

Program tam kapasite, yarım kapasite ve boşta (stand-by) çalışma durumları için enerji ihtiyacını hesaplayabilmektedir. Float cam için çalıştırılan programın her üç durum için çıktıları Ek3, Ek4 ve Ek5' de verilmiştir Bu çıktı bilgileri daha sonra ayrıntılı olarak verilecek olan Trakya Cam Fabrikası TR1 fırını verileri kullanılarak elde edilmiştir.

Örneğin, 3-6 mm kalınlıkta cam üretilirken fırın tam kapasitede çalışır. Buna karşın, 2 mm kalınlıkta cam üretilirken çalışma yarım kapasitede olur. Stand-by çalışma ise özel durumlarda gerçekleştirilmekte olup, stand-by' da genelde hurda cam ergitilmektedir. Eğer fırın boşta çalışma (stand by) durumunda ise, oluşum ve reaksiyon enerjisi oluşmamaktadır ve yalnızca cam kırığını ısıtmak için enerji harcanır.

Fırın yüzeyinden ve fırın üzerindeki aralıklardan kaynaklanan ısınım (radyasyon) ve taşınım (konveksiyon) ısları fırının çalışma şekline bağlı değildir ve genelde sabit bir değer alır. Aynı şekilde iletimle çevreye yitirilen ısıl enerji de bulunur. Böylece, oluşum, ergime ve ısınma enerjileri, sabit ısı kayıpları ve baca kayıpları toplandığında fırında tüketilen ve çevreye yitirilen enerjinin toplamı elde edilir.

Örnek olarak alınan Trakya Cam Fabrikası' nda cam ergitme fırınında, fırın yüzeyinden konveksiyon, fırın yüzeyinden radyasyon ve fırın üzerinde çeşitli nedenlerle oluşan delik ve aralıklardan kaynaklanan radyasyon kayıpları toplam yüzey kayıplarını oluşturur. Konveksiyon ile ısı transferi hesaplarında, ısı taşınım katsayısı (h) $7 \text{ kcal}/\text{hm}^2\text{K}$ olarak kabul edilmiştir. Ayrıca fırının 5 yüzeyi dikdörtgen ve düz yüzey olarak, üst yüzeyi ise silindir parçası olarak kabul edilmiştir. Cam yüzeyi seviyesinde fanlarca nozullardan üflenmiş hava akımı, dolayısıyla zorlanmış konveksiyon varken, fırının alt tarafında kapalı bir bölme sayılabilen bir ortamda durgun bir hava vardır. Kısacası fırın yüzeylerinde hesaplanaması pek kolay olmayan değişken bir ısı taşınım katsayı bulunmaktadır. Bu nedenle $7 \text{ kcal}/\text{hm}^2\text{K}$ değerinin ortalama değer olarak kabulü uygun görülmektedir. Fırın yüzeyi sıcaklığı ise karolaj yapılarak 14 farklı noktanın sıcaklıklarının ortalamaları alınarak bulunmuştur. Fakat üst ve yan yüzeylerinden daha soğuk olması beklenen fırınların alt yüzeyleri, fırın yapısı nedeniyle ölçülememiştir. Ölçülen noktaların aritmetik ortalaması fırın yüzey sıcaklığı olarak kabul edilmiştir. İki adet pirometre ile yapılan ölçümler sonucu bulunan ortalama emissivite olarak da camın renginin pirometre

kullanma kılavuzundan bulunması sonucu 0,8 sayısı alınmıştır. Fırın boyutları ile ilgili ölçüler Çizelge 7.2' de gösterilmiştir.

Çizelge 7.2 Trakya Cam Fabrikası' ndaki cam ergitme fırınlarının boyutları

	Boy (m)	En (m)	Yükseklik (m)	Kemer Yük. (m)
Ergitme Havuzu	23.00	12.60	1.30	1.27
Rafinasyon Havuzu	15.75	12.60	1.30	1.27
Toplam	38.80	12.60	1.30	1.27
Boğaz (throat)	5.00	4.45	1.30	-

Fırında hesaplanan yada kabul edilen değerler Çizelge 7.3' de gösterilmiştir.

Çizelge 7.3 Trakya Cam Fabrikası' ndaki cam ergitme fırınlarının hesap değerleri

Fırın Özellikleri	Değeri	Birim
Toplam Alan	1500	m ²
İşı Taşınım Katsayısı	7	kcal/hm ² K
Ortalama Fırın Yüzey Sıcaklığı	250	°C
Dış Ortam Sıcaklığı	25	°C
Ortalama Fırın İçi Sıcaklık	1260	°C
Fırın Yüzeyindeki Boşluklar	1,8	m ²
Fırın Yüzey Emissivitesi	0,6	
Fırın İçi Emissivite	0,8	

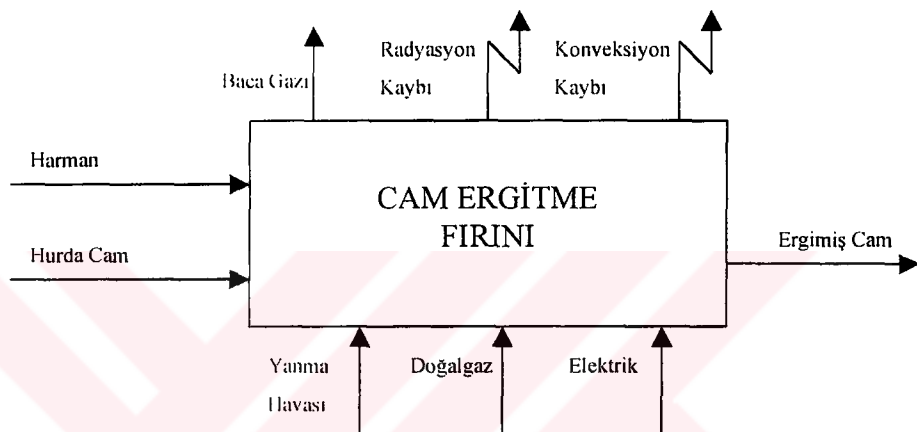
Fırın duvarlarında gözetleme camları ve kapakları bulunmaktadır. Bu kapaklardan da çevreye radyasyon kayıpları oluşturmaktadır. Örneğin, Trakya Cam Fabrikası' ndaki TR1 Cam Ergitme Fırınında toplam 0.9 m² alana sahip 15 gözetleme kapağı vardır. Özett olarak radyasyon hesapları

$$Q = Q_{r1,firmyüze} + Q_{r1aralırlı,kapaklar}$$

$$Q_r = (\bar{\varepsilon}\sigma)AT_{cam}^4$$

formüllerinden hesaplanmaktadır. Örnek alınan TR1 fırınlarında toplam aralık yüzey alanı $1,8 \text{ m}^2$ dir. Burada ergimiş camın ortalama sıcaklığı olan $T_{\text{cam}} = 1260^\circ\text{C}$ ve ortalama emmisivite $\epsilon = 0,8$ olup bu iki değer tüm fırınlar için geçerli kabul edilebilir değerlerdir.

Rejeneratörlü olarak tasarımlanan fırınların modellemesinde sistem tanımı ve sistem sınırları uygun olarak belirlenirse rejeneratör etkinliği hesaplamaya gerek yoktur. Bu program modellemesi ve girdi/çıktılar Şekil 7.2' den görülebilir.



Şekil 7.2 Cam ergitme fırınına giren/çıkan madde ve enerjiler

Baca gazı sıcaklığı, kompozisyonu ve debisi bilindiği, taktirde stoikiyometrik analiz yapılarak fırın verimini hesaplamak mümkündür. Bilgisayar programı, esas itibarıyla bu yaklaşımı kullanmaktadır.

Bilgisayar programı, girdi olarak her türlü yakıtı kabul etmektedir. Ancak tüm hesaplar doğal gaz için yapılmıştır. Fırınların ihtiyacı olan tüm ısıl enerji doğal gazdan, ekzotermik reaksiyonlardan ve bazı durumlarda örneğin booster kullanılıyorsa elektrik enerjisinden oluşur. Doğal gazın %100 metandan olduğu ve böylece doğal gazın (metan) alt ısıl değerlerin de 50010 kJ/kg (Büyüktür A.R. .1991) olduğu kabul edilmiştir.

7.3 Otoklav Modülü

Güvenlik camları esas olarak çift cam ve iki camın arasında eriyerek kırılmazlık katsayısını artıran kimyasal PVB’ den (polivinilbütilaldehit) oluşmaktadır. Ancak bu kompozisyonun bir ıslı işleminden geçirilmesi gereklidir.

Genellikle 130°C sıcaklığa çıkarılan sandviç cam, ara bölmede yer alan kimyasalın ergimesi ve kontrollü soğutulması sonucu güvenli cam niteliğine kavuşmaktadır. Kullanılan kimyasal maddeye bağlı olarak otoklavın işletme sıcaklığı düzeyi değişik bir değer alabilir. Kullanıcıyla dost olan program bu sıcaklığın değişmesine olanak vermektedir.

Otoklavlar kesikli olarak çalışır. Genelde manuel olarak kumanda edilen arabalar üzerine yüklenen güvenlik camları otoklava girmekte, istenen hızda ısıtılarak maksimum işletme sıcaklığına ulaşmakta, bu düzeyle belli bir süre kaldıktan sonra tekrar kontrollü olarak soğutulmaktadır.

Otoklav modülünün akış diyagramı Şekil 7.3 den görülebilir. Bu şeilden ve Şekil 7.4’ de verilen enerji dengesi diyagramından da görüleceği üzere, otoklavlarda proses oldukça basit olup başlıca dört alt proses vardır.

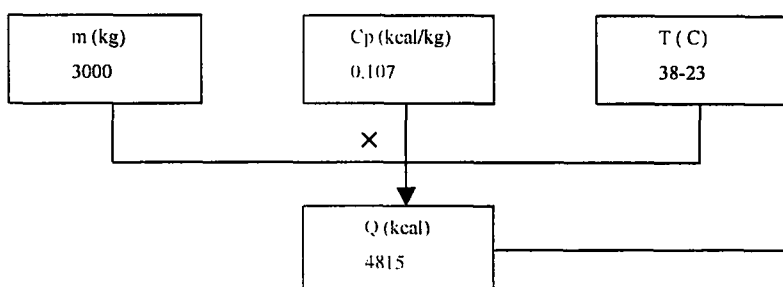
- Cam, araba ve kimyasal maddenin ısıtılması
- Kimyasal maddenin ergimesi
- Kontrollü soğuma
- Çevreye enerji kaybı

Doğal olarak kontrollü soğutmada enerji girdisi yoktur. Genelde oluşturulan bir soğutma devresi (su soğutma/soğutma kulesi gibi) yardımıyla soğutma yapmaktadır.

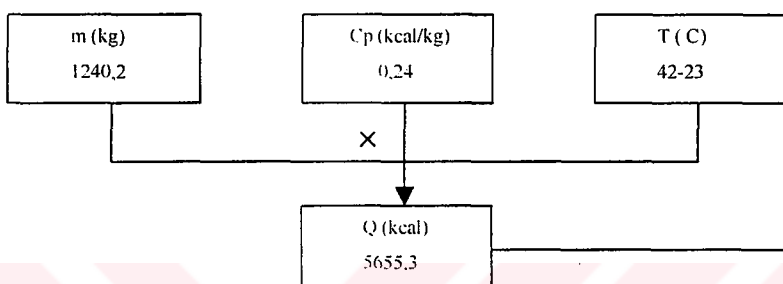
Program su soğutma devreli opsiyona göre yazılmıştır ve hesapların bir bölümü soğutma kulesi dengelerinden yararlanılarak gerçekleştirilmiştir.

Sabit Veriler**OTOKLAV**

Cam Arabası Gideri

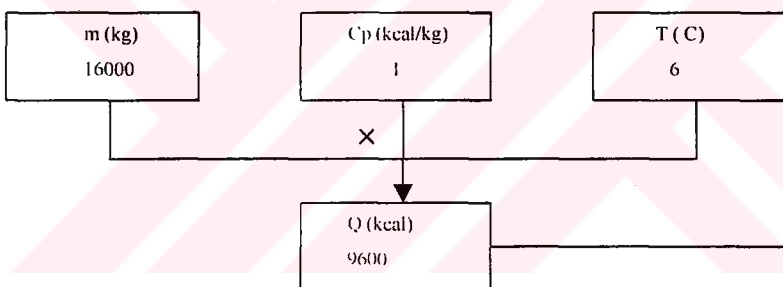


Havaya Verilen Enerji



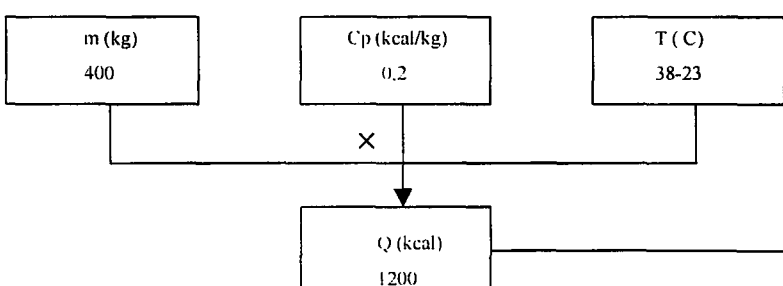
+

Soğutma Suyuna Verilen Enerji



+

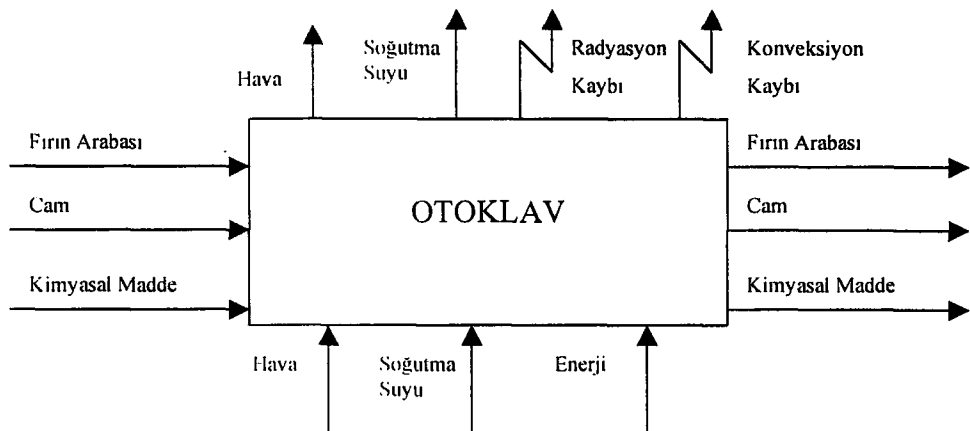
PVB Isınmasına Verilen Enerji



+

↓

Şekil 7.3 Otoklav akış şeması



Şekil 7.4 Otoklava giren/çıkan madde ve enerjiler

Reaksiyon sonucunda reformerde oluşan gazların hacimsel yüzdeleri ise Çizelge 7.4' de verilmiştir. Quinnsport öncesi toplam hacim %100 sonucunu verirken, reaksiyona başlangıç durumu esas alınmıştır, quinnsportda gaza enjekte edilen su ile toplam hacim %226,7' ye ulaşmıştır.

Çizelge 7.4 Reformerde Quinnsport Öncesi ve Sonrası Oluşan Gazların Oranı

Oluşan Gazlar	Quinnsport Öncesi (%)	Quinnsport Sonrası (%)
H ₂	55,3	95,6
CO ₂	5,9	23,2
CO	10,5	0,0
H ₂ O	25,6	103,2
CH ₄	2,7	4,0
Toplam	100,0	226,7

7.4 Hidrojen Eldesi Modülü

Trakya Cam Fabrikasında reformerde metan ve su buharının reaksiyona girmesi sonucu hidrojen eldesi yöntemi kullanılır. Hemen ardından çıkan gazların üstüne quinnsport' da su enjekte edilir. Quinnsport' da, reformerdeki reaksiyondan çıkan gazlara su enjekte edilmesinin nedeni, gaz karışımında hidrojen miktarının artırılmasıdır. Bu yöntemde kullanılan reformer ve

quinnspor tek parça olarak olarak silindir şeklindedir. Daha sonraki işlemlerde enerji yönüyle dikkat çekici değildir, sadece kimyasal reaksiyonlar bakımından önemlidir. Bu yüzden bu modülde sadece bundan sonra “reformer” olarak adlandırılacak reformer ve quinnspor birlikte modellenmiştir.

Reformerin basıncı ve sıcaklığı, reaksiyonda oluşan gaz karışımını etkiler. Bu reaksiyonda oluşan gaz karışımının terkibi fabrika yetkililerinden alınmış ve literatürden (Henley E.J, Rosen M.R., 1969) doğrulanmıştır.

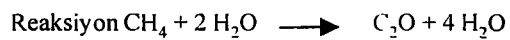
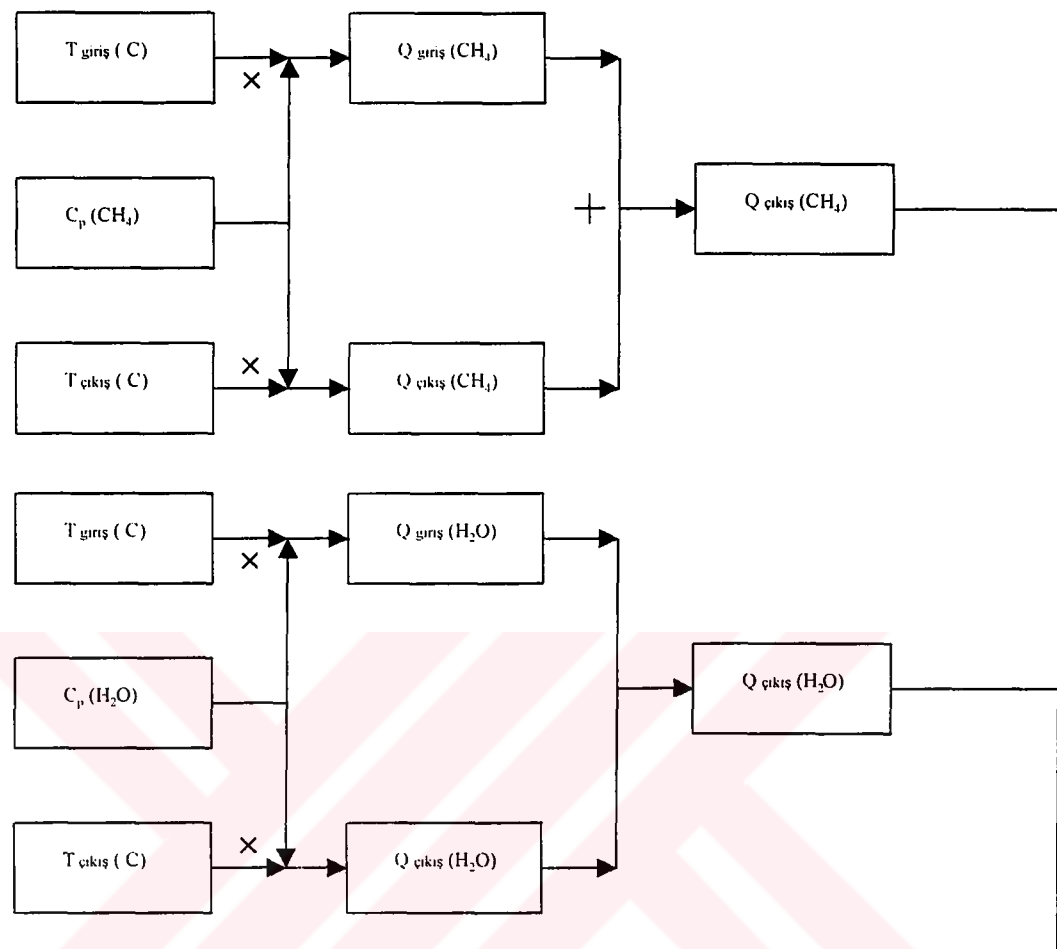
Hidrojen üretiminin akış diyagramı Şekil 7.5 den görülebilir. Bu sekilden ve Şekil 7.6' da verilen enerji dengesi diyagramından görüleceği üzere proses iki alt prosese ayrılabilir:

- Reformer reaksiyonları
- Quinnspor reaksiyonları

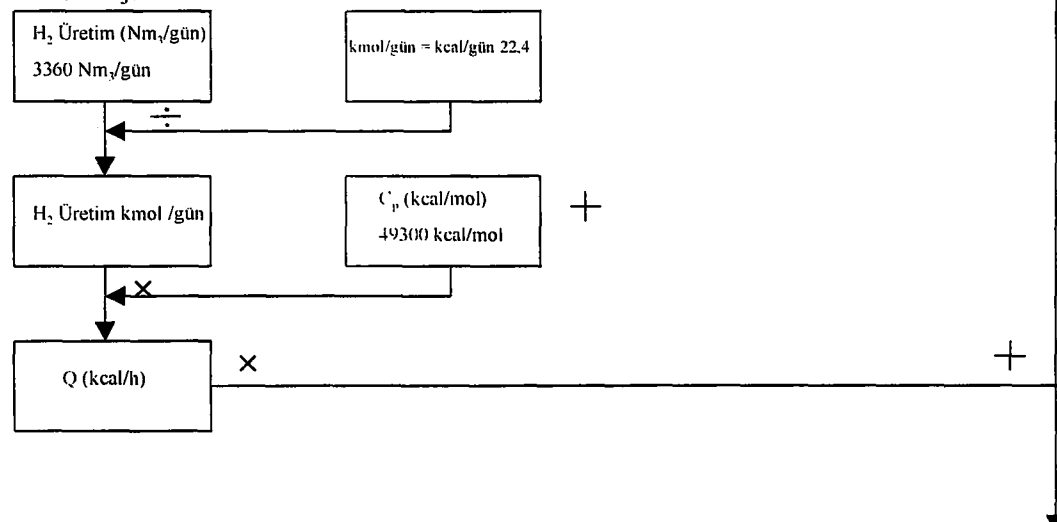
Program sadece reformerde aynı basınç ve sıcaklıkta gerçekleşen reaksiyonlar için geçerli olup, reaksiyondaki basınç ve sıcaklığın değişmesi reaksiyon ürünlerini değiştirecektir.

Reaksiyonun özelliği nedeniyle, kullanılan su miktarı teorik ihtiyacın 3,05 katıdır.

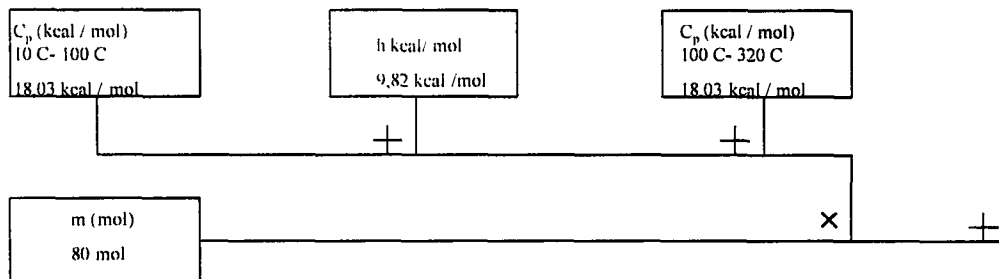
ISİNMA KAYBI

H₂ ÜRETİMİ

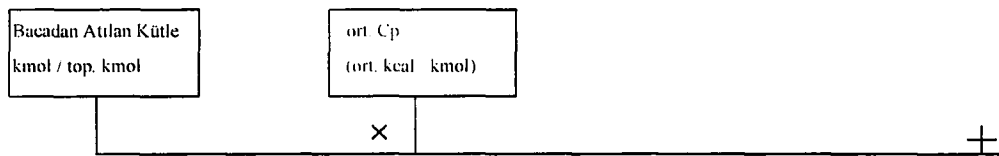
Reaksiyona Giden Enerji



Fazladan Püskürtülen Suyun Enerjisi



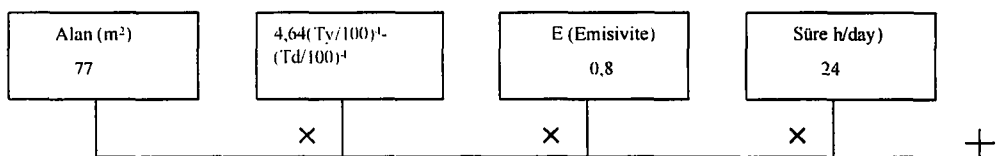
Bacadan Kaybolan Enerji



Yüzeyden Konveksiyon İle Kaybolan Enerji

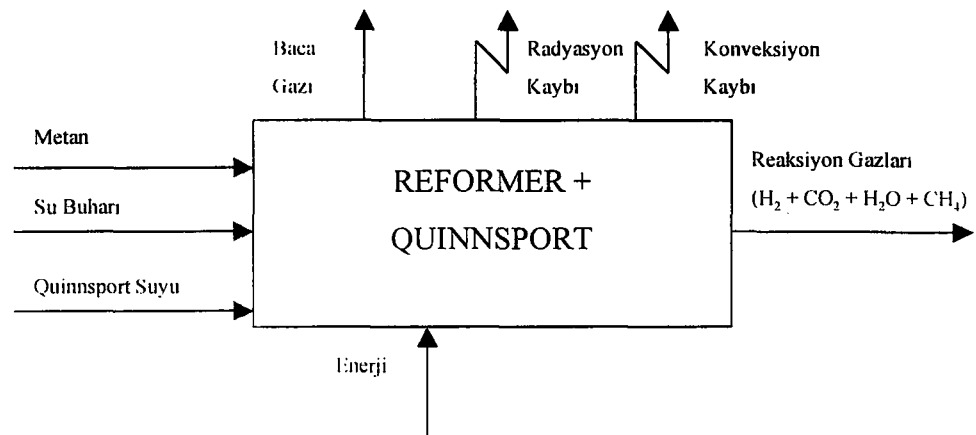


Yüzeyden Radyasyon İle Kaybolan Enerji



SONUÇ
Q (kcal/h)

Şekil 7.5 Hidrojen üretim (reformer) akış şeması



Şekil 7.6 Reformere giren/çikan madde ve enerjiler

8. DEĞERLENDİRME VE SONUÇLAR

8.1 Sonuçların ve Değerlendirmenin Tartışılması

Bir önceki bölümde ayrıntıları verilen bilgisayar programında Trakya Cam Fabrikası'nda mevcut olan

- Cam ergitme prosesi
- Otoklavda enerji tüketimi
- Hidrojen eldesi prosesi

İçin kullanılmış ve elde edilen sonuçlar, fabrikadan elde edilen tüketim değerleriyle karşılaştırılmıştır.

Genel amaçlı olarak kullanılan programın Trakya Cam Fabrikası'na uyarlanması sırasında kullanılan veriler Çizelge 8.1-8.4' de özetlenmektedir.

8.2 Cam Ergitme Fırının Sonuçları

Beyaz yüler (float) cam için gerekli harman bileşenlerinin oranları Çizelge 8.1 de gösterilmiştir. TR1 fırının çalıştığı günler incelenmiş, bunlardan 2000 yılı Mayıs ayı, 2001 yılı Ocak, Şubat ve Mart ayları Ek6'da gösterilmiştir. En yüksek kapasite ile çalışma günü 24 Mayıs 2000 günü bulunmuş, buradaki üretim olan 678,5 ton/gün üretim tam kapasite olarak kabul edilmiştir. Yarım kapasite olarak 2-2,2 mm kalınlığında cam üretilen günlerden 11 Mart 2001 tarihi seçilmiş, bu gün üretilen 498,5 ton/gün üretim yarım kapasite kabul edilmiştir. Boşta çalışma (stand-by) olarak bir grev günü olan 31 Mayıs 1991 tarihinde üretilen 418 ton/gün üretim yapılan gün seçilmiştir. Çizelge 8.1, Çizelge 8.2 ve Çizelge 8.3' de yukarıdaki değerler kullanılmıştır.

Çizelge 8.1 Beyaz yüzər (float) cam için harman bileşenlerinin oranları

Harman Bilgileri	Tam Kapasite (%)	Yarım Kapasite (%)	Boşta Çalışma (%)
CaCO_3	69,70	69,70	
Na_2CO_3	11,57	11,57	
Si_2O	38,54	38,54	
<i>Feldspat*</i>			
Si_2O	3,80	3,80	
$\text{K}_2(\text{Na}_2)\text{O}$	0,72	0,72	
Al_2O_3	0,99	0,99	
Hurda Cam	26,94	26,94	100,00
Nem (Su Buharı)	3,36	3,36	
Toplam	100,00	100,00	100,00

*¹ Felspat madeni Si_2O , $\text{K}_2(\text{Na}_2)\text{O}$, Al_2O_3 oksitlerinin belirli oranlarda karışından oluşmuştur.

Çizelge 8.2' de fırın boyutları verilmiştir. Ek7' de fırın çizimi verilmiştir.

Çizelge 8.2 Cam ergitme fırını özellikleri

Cam Ergitme Fırını Özelliği	Büyüklüğü	Birim
Fırın Boyutları	Ek7'e bakınız	Ek7'e bakınız
Toplam Konveksiyon Kayıp Alanı	1500	m^2
Fırın Yüzey Sıcaklığı	250	$^{\circ}\text{C}$
Konveksiyon katsayısı	7	$\text{kcal}/\text{hm}^2\text{K}$
<i>Toplam Radyasyon Kayıp Alanı</i>		
a) Fırın Yüzeyi	1500	m^2
b) Boşluklar	1,8	m^2
<i>Radyasyon Sıcaklığı</i>		
a) Fırın Yüzeyi	250	$^{\circ}\text{C}$
b) Boşluklar	1260	$^{\circ}\text{C}$
<i>Emmisivite</i>		
a) Fırın Yüzeyi	0,6	0,6
b) Boşluklar	0,8	0,8

Trakya Cam Fabrikası'ının cam ergitme fırınlarının tipik çalışma şartlarındaki fırın kapasiteleri Çizelge 8.3'de gösterilmiştir. Brüt üretim, cam üretilirken tampol makinalarının bozduğu yada üretim hatası görüлerek kırılarak tekrar fırına atılan bölümler dahil olmak üzere tüm üretimi kapsar.

Çizelge 8.3 Fırınlarının tipik çalışma şartlarındaki fırın kapasiteleri

	Tam Kapasite	Yarım Kapasite	Boşta Çalışma
Cam Üretimi (brüt ton/gün)	678,50	498,50	418,10
Cam Üretimi (brüt ton/saat)	28,27	20,77	17,43

Cam ergitme fırınlarının rejeneratörleri ele aldığımız sistemin dışında kaldığı için, fırına giren ve fırından çıkan kütleler sıcaklıklarını Çizelge 8.4'de gösterilmiştir.

Çizelge 8.4 Fırına giren ve çıkan kütlelerin sıcaklıkları

Giriş/Çıkan Kütleler	Sıcaklık (°C)
Harman	25
Hurda Cam (Cam Kırığı)	25
Nem	25
<i>Yakit (Doğal Gaz)</i>	
Isıtmadan Önce	25
Isıtmadan Sonra	412
<i>Hava</i>	
Isıtmadan Önce	25
Isıtmadan Sonra	412
<i>Baca Gazi</i>	
Reküperatör Girişi	940
Reküperatör Çıkışı	538
Ergimiş Cam	1125

Çizelge 8.1, 8.2, 8.3 ve 8.4' de verilen değerlere dayanarak hesaplanan üç değişik kapasitedeki kayıplar Çizelge 8.5' de gösterilmiştir. Çizelge 8.5' in alt bölümünde bu kayıp toplamının cam ergitme fırınında harcanan doğal gaz ve elektrik miktarıyla karşılaştırılmıştır. Hesaplanan enerjiyle harcanan enerjinin karşılaşılması Çizelge 8.6' da görülebilir.

Çizelge 8.5 Üç ayrı kapasitede cam ergitme fırınında ısı tüketim noktaları

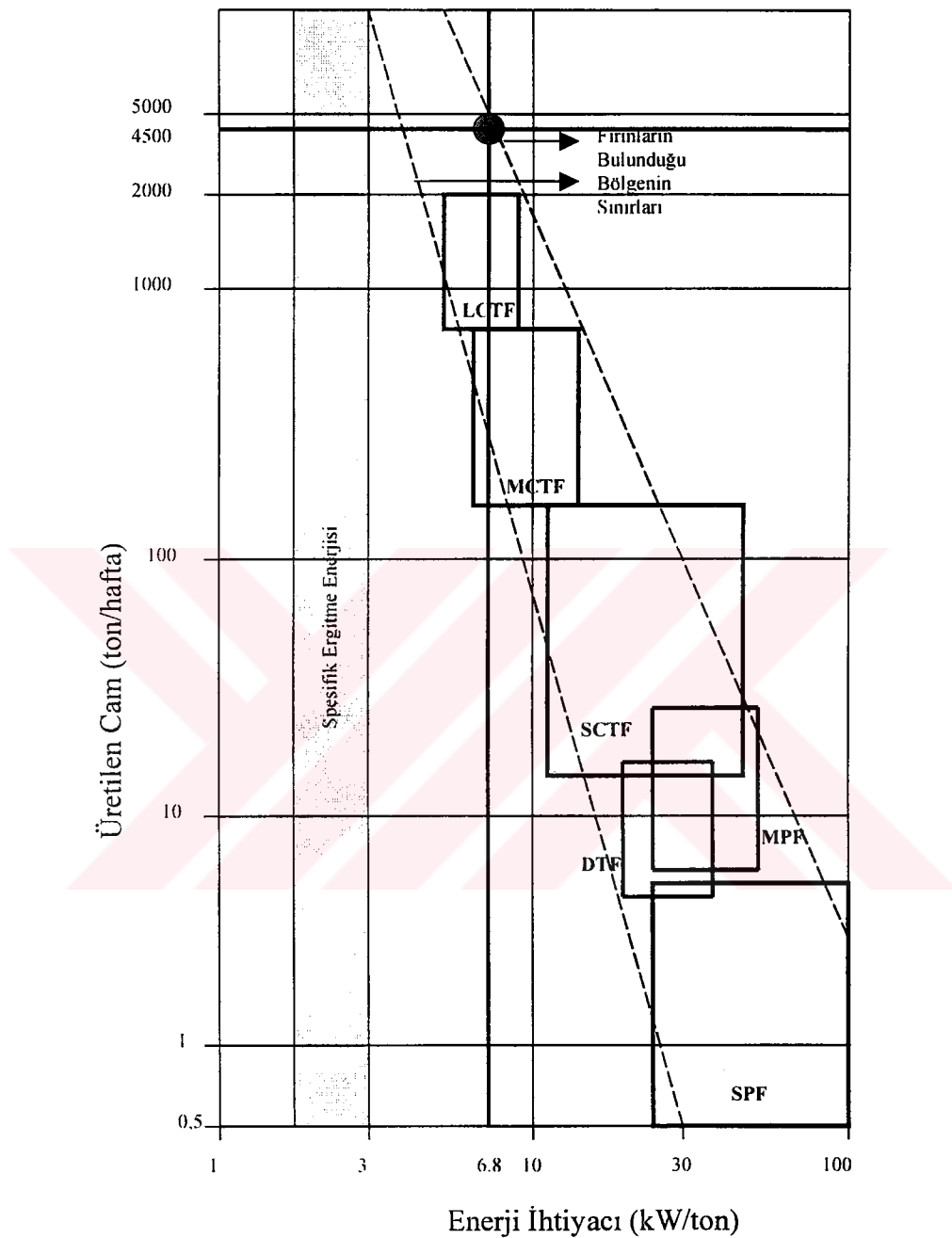
Enerji Kullanım Noktaları	Tam Kapasite		Yarım Kapasite		Boşta Çalışma	
	$\text{kJ} \times 10^6$	%	$\text{kJ} \times 10^6$	%	$\text{kJ} \times 10^6$	%
Harmanın Ergitilmesi İçin Gerekli Top. Isı	96,3	50,2	89,9	48,9	22,9	22,8
Harmanın Isınma Isısı	34,1	17,8	29,4	16,0	22,9	22,8
Harmanın Oluşum (Reaksiyon) Isısı	52,2	27,2	53,9	29,3	0,0	0,0
Harmanın Ergime Isısı	6,5	3,4	6,7	3,6	0,0	0,0
Yüzey Kayıpları	57,7	30,1	57,7	31,4	57,7	57,5
Yüzey Konveksiyon Kayıpları	41,4	21,6	41,4	22,5	41,4	43,3
Yüzey Radyasyon Kayıpları	14,4	8,3	14,4	7,8	14,4	14,4
Yüzey Boşlukları Radyasyon Kayıpları	1,9	1,0	1,9	1,0	1,9	1,9
Bacadan Atılan Enerji	37,8	19,7	36,2	19,7	19,8	19,7
Toplam Kullanılan Enerji	191,8	100,0	183,8	100,0	100,3	100,0

Çizelge 8.6'de örnek alınan fırının bilgisayar programı sonuçları ile gerçek tüketimin karşılaşılması görülebilir.

Çizelge 8.6 Fırının bilgisayar programı sonuçları ile gerçek tüketimin karşılaşılması

Fırın Enerjisi	Tam Kapasite	Yarım Kapasite	Boşta Çalışma
Hesapla Bulunan Toplam Kullanılan Enerji ($\text{kJ} \times 10^3$)	191,8	183,8	100,3
Fabrika Tarafından Ölçülen Toplam Enerji ($\text{kJ} \times 10^3$)	189,9	185,5	99,4
Hata Payı	%1,0	%(-1,3)	%0,6

Şekil 5.3' de gösterilen fırın tiplerine göre spesifik enerji tüketimi grafiğine dayanarak, örnek alınan fırının değerlerinin, fırınların spesifik enerji tüketimleri ile karşılaşılması Şekil 8.1' de gösterilmiştir. Fırının kendi boyutlarındaki fırılara göre çok enerji kullanımının nedeni, fırının float yöntemi ile düz cam elde etmesi ile, fırının yaşılanmasıdır.



Şekil 8.1 Örnek alınan fırının değerlerinin fırınların spesifik enerji tüketimleri ile karşılaştırılması

8.3 Otoklav Sonuçları

Otoklavda iki cam arasında kullanılan PVB'yi (polivinilbütilaldehit) ergitilmesini sağlamak için 135°C sıcaklık ve 10,5 bar basınçla ulaşmak gerekmektedir. Daha yüksek basınç ve sıcaklıklar camın çatlamasına yol açmaktadır, daha düşük sıcaklıklar ise işlemin uzaması ile sonuçlanmaktadır. Otoklavın özellikleri Çizelge 8.7'de gösterilmiştir.

Çizelge 8.7 Otoklav özellikleri

Otoklav Özelliği	Büyüklüğü	Birim
Otoklav Çapı	4	m
Otoklav Uzunluğu	8,5	m
Otoklav Yan Yüzey Sıcaklığı	40	$^{\circ}\text{C}$
Otoklav Kapaklarının Sıcaklığı	51	$^{\circ}\text{C}$
Otoklav Yan Yüzey Bölgesindeki Havanın Sıcaklığı	17	$^{\circ}\text{C}$
Otoklav Kapak Bölgesindeki Havanın Sıcaklığı	28	$^{\circ}\text{C}$
<i>Toplam Konveksiyon Kayıp Alanı</i>		
a) Yan Yüzeyi	105,5	m^2
b) Kapaklar	25	m^2
Konveksiyon katsayısı	7	$\text{kcal}/\text{m}^2\text{hK}$
Soğutma Suyu Miktarı	16	m^3
Soğutma Suyu Giriş/Çıkış Sıcaklık Farkı	1	$^{\circ}\text{C}$
Soğutma Kulesi Su Miktarı	110	m^3
Soğutma Kulesi Giriş/Çıkış Sıcaklık Farkı	2	$^{\circ}\text{C}$

Bir dolumda otoklavda yüklenen maddeler ve giriş-çıkış sıcaklıklarını Çizelge 8.8'de gösterilmiştir.

Çizelge 8.8 Otoklava yüklenen ve çıkan maddelerin sıcaklıkları

Giriş/Cıkan Kütler	Giriş Sıcaklığı (°C)	Giriş Sıcaklığı (°C)
Demir Cam Taşıma Arabası	23	38
Otoklav İçindeki Hava	23	42
Soğutma Suyu	$\Delta T = 6$	
PVB	23	38
Cam	23	38
Buhar/Kondensat Suyu	91	194

Otoklava giren/cıkan kütlerin özgül ısları Çizelge 8.9' da gösterilmiştir.

Çizelge 8.9 Otoklava giren/cıkan kütlerin özgül ısları

Giriş/Cıkan Kütler	Özgül Isı (kcal/kg)
Demir Cam Taşıma Arabası	0,107
Otoklav İçindeki Hava	0,240
Soğutma Suyu	1,000
PVB	0,200
Cam	0,205

Burada ısıtma amacı ile otoklava giren 10.5 bar 182°C sıcaklıkta giren doymuş kuru buharın entalpisi 664 kcal/kg, otoklavdan çıkan 65°C kondensat suyunun entalpisi 89 kcal/kg dir. Bir kilogram buharın otoklava verdiği enerji 575 kcal/kg olur.

Otoklavda başlıca üç ayrı programa çalışılır. Programlarla ilgili veriler fabrika yetkililerinden alınmıştır. Program1 (P1), Program2 (P2), Program Jumbo (PJ). Bu programla otoklava giren ve çıkan maddelerin ağırlıkları ve program süreleri Çizelge 8.10 ve Çizelge 8.11' de gösterilmiştir. Yüzey kayıpları ise soğutma ve bekleme sürelerinin tamamı alınmış; ısınma süresinin ise sadece yarısında yüzey sıcaklığı sürekli rejime girdiğinden, ısınma sıcaklığının yarısı alınarak, bu üç değer toplanmıştır.

Çizelge 8.10 Otoklav programlarında kullanılan cam ağırlıkları

Ağırlıklar (kg)	P1	P2	PJ
Cam Ağırlığı	13000	13300	21600
PVB Ağırlığı	400	400	400
Otoklavdaki Hava	1240	1240	1240

Çizelge 8.11 Otoklav programlarında kullanılan süreler

Program Bölümleri	P1 (dakika)	P2 (dakika)	PJ (dakika)
Isınma	30	40	40
Bekleme	30	40	45
Soğutma	30	55	135
Toplam	90	135	220
Yüzey Kaybı Süresi	75	115	200

Otoklav enerji hesapları sonucunda P1, P2, PJ programları için enerji harcamalarının detayı toplu olarak Çizelge 8.12'de görülebilir.

Çizelge 8.12 Otoklavda enerji tüketiminin detayı

Enerji Tüketim Noktaları	P1		P2		P3	
	$\text{kJ} \times 10^3$	%	$\text{kJ} \times 10^3$	%	$\text{kJ} \times 10^3$	%
Otoklavın İçindeki Havanın Isıtılması	23,7	1,2	23,7	0,8	23,7	0,5
Cam Taşıyan Arabanın Isıtılması	20,2	1,0	20,2	0,7	20,2	0,4
Soğutma Suyuna Olan Enerji Kaybı	401,8	19,5	401,8	14,4	401,8	8,9
Kimyasal Maddenin (PVB) Isıtılması	5,0	0,2	5,0	0,2	5,0	0,1
Camın Isıtılması	167,3	8,1	171,2	6,1	278,0	6,2
Kondensatla Atılan Enerji	202,8	9,9	274,4	9,8	477,2	10,6
Yüzey Kayipları	86,7	4,2	133,0	4,8	231,3	5,1
Soğutma Kulesi İle Atılanısı	1151,1	55,9	1765,1	63,2	3069,7	68,1
Toplam	2058,6	100	2794,4	100,0	4506,9	100,0

8.4 Hidrojen Üretim Sonuçları

Hidrojen üretimi yapılan reformerle (reformer+quinnspor) ilgili veriler Çizelge 8.13' de verilmiştir.

Çizelge 8.13 Reformer özellikleri

Reformer Özelliği	Büyüklüğü	Birim
Reformer Çapı	2,2	m
Reformer Boyu	10,0	m
Reformer Yüzey Sıcaklığı	80	°C
Ortam Sıcaklığı	10	°C
Toplam Konveksiyon Alanı	77	m ²
Konveksiyon Katsayısı	15	kcal/m ² hK
Emisivite	0,8	
Metanın Reformere Giriş Sıcaklığı	300	°C
Metanın Reformerden çıkış Sıcaklığı	320	°C
Su Buharının Reformere Giriş Sıcaklığı	460	°C
Su Buharının Reformerden çıkış Sic.	320	°C
Ekstra Suyun Reformere Giriş Sıcaklığı	10	°C
Ekstra Suyun (Buharın) Refor. çıkış Sic.	320	°C

Çizelge 8.14' de reformerde enerji tüketiminin detayı görülebilir.

Çizelge 8.14 Reformerde enerji tüketiminin detayı

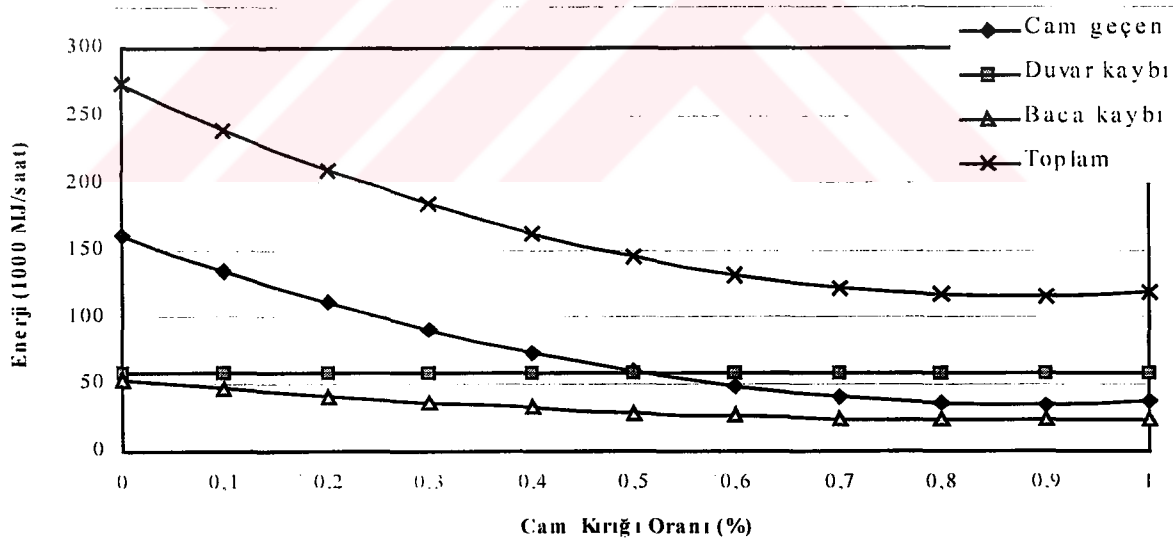
Enerji Tüketim Noktaları	Enerji Miktarı (MJ)	%
Gazların Isınması	-518,7	-1,9
Reaksiyon	7739,1	28,6
Ekstra Suyun Buharlaşması	5405,8	20,0
Baca Kaybı	3663,6	13,6
Yüzey Kaybı	10739,4	39,7
Toplam	27029,2	100,0

8.5 Bir Cam Fabrikasında Isıl Enerji Tüketimini Azaltıcı ve Enerji Verimliliğini Arttırıcı Önlemler

Geliştirilen bilgisayar programı kullanıcıyla dost bir mantıkta hazırlanmış olduğu için, çeşitli parametreler değiştirilerek enerji verimliliği üzerindeki etkileri bulunabilir. Bu bölümde enerji verimliliğini en üst düzeyde artıracabilecek önlemler özetlenmektedir.

1) Cam Kırığı Oranını Arttırmak

Şekil 8.2' de gösterildiği gibi % 100 cam kırından yada ergiterek veya % 100 hammaddeden elde edilen üzer (float) cam üretim prosesinde kullanılan enerji arasında % 230' a varan fark oluşur. Harmandaki cam kırığı oranı arttıkça fırında kullanılan enerji miktarı $273,2 \times 10^6$ kJ/h' den $118,1 \times 10^6$ kJ/h' e kadar düşer. Bu sırada TR1 fırından 678,5 ton/gün cam üretilirken nem miktarı % 4,6 dır. Harmandaki cam kırığı oranı % 25 olursa enerji tasarrufu % 28, cam kırığı oranı % 37 çıkarsa enerji tasarrufu % 38 olur (Şekil 8.2).



Şekil 8.2 Örnek alınan fırının harmanında kullanılan cam kırığı oranına göre enerji tüketimi

Üzer cam üretiminde cam kalitesini sürdürmek için beyaz cam üretiminde % 25-27 renkli cam üretiminde % 36-38 kırık cam kullanılabilir. Daha yüksek oranlarda kullanılan kırık cam miktarı cam kalitesini bozabilir. Örnek fırınların birinde yıl boyunca % 80 renksiz cam, %20 renkli cam

üretildiği ve bütün yıl boyunca % 50 tam kapasite, %50 yarım kapasite çalışıldığı kabulü ile yaklaşık olarak 17 milyon Nm³/yıl doğal gaz tasarrufu sağlanabilir. Doğal gazın fiyatının 0,2 \$/yıl olduğu kabulü ile de 3,4 milyon \$/yıl tasarruf sağlanabilir

Şekil 8.2' den de görülebileceği gibi % 88,5 oranında kullanılan cam kırığında ton başına harcanan enerji bir minimum noktası yapar. Başka bir delege firinda kullanılan enerji optimize edilir.

Ayrıca üretimin (çekilen camın) yaklaşık % 20' sinin yakınının kalitesiz çıkması sonucu kırılarak imha edilmesi ve Gölcük depremi sonucu depodaki camların kırılması sonucu Trakya Cam Fabrikası' nda yüksek miktarda kırık cam stoğu vardır. Kırık cam kullanımı enerji tüketiminde düşme ile birlikte hammadde tüketimini azaltarak da maliyetleri düşürücü etkisi olur.

2) Azot Üretirken Elde Edilen Oksijenin, Yanma Havası Oksijen Oranını Artırmakta Kullanılması

Banyoda kullanılan sıvı kalayın oksitlenmesini önlemek amacıyla kullanılan gazlardan biri olan azotun üretilmesinde yan ürün olarak oksijen elde edilir. Bu oksijen kullanılmayıp atmosfere atılmıştır. Günümüzde cam fırınlarında yanma havasında oksijen miktarını artırmaya. hatta %100 oksijenle yakma eğilimi artarken yan ürün olarak elde edilen oksijenin kullanılmayıp atmosfere atılması enerji kaybıdır. Fabrikada sıvı oksijeni gazlaştırıp, atmosfer sıcaklığına çıkarmak için gerekli ısıyı atık ısı kazanından çıkan baca gazından alabiliriz. 2800-2900 Nm³/h azot tüketildiği ve bu azotun havanın ayrıştırılmasından elde edildiği göz önüne alınırsa yaklaşık olarak $(2820/0,79) \times 0,21 = 750 \text{ Nm}^3/\text{h}$ oksijen atmosfere atılmıştır. Fırın maksimum 5354 Nm³/h metan (doğalgaz) yakmaktadır. Stokimetrik yanma hesabında 1 Nm³/h doğal gaz yaktırmak için 9,52 Nm³/h (Büyüktür, 1991) hava kullanılmaktadır. %7,5 hava fazlalık katsayı ile çalışan bir fırın yaklaşık olarak saatte $(5354 \times 9,52 \times 1,075) \approx 54800 \text{ Nm}^3$ hava kullanır. 750 Nm³/h oksijen kullanılırsa yanma havasında $(750 \times 9,52 \times 1,075) \approx 7675 \text{ Nm}^3$ daha az hava kullanılabilir. Yanma havasında oksijen oranını %26,5' i bulur. TR1' den atılan 1 kmol baca gazını ısıtmak için 14095 kJ enerji harcanır. Bu da 1 Nm³ havayı ısıtmak için 628 kJ enerji gereklidir. Bu rakam bize yaklaşık olarak 135 Nm/h lik bir doğalgaz yakıt tasarrufu sağlar. Bununla ilgili hesaplar ise;

$14095 \text{ (kJ/kmol)} / 22.4 \text{ (kmol)} \cong 629 \text{ (kJ/ Nm}^3\text{)} (1\text{m}^3 \text{ havayı ısıtmak için gerekli enerji})$
 $629 \text{ (kJ/Nm}^3\text{)} \times 7675 \text{ (m}^3/\text{h)} \cong 4827575 \text{ (kJ/h)} \text{ (bir saate tasarruf edilen havayı ısıtmak için gerekli ısı)}$
 $4827575 \text{ (kJ/h)} / 35800 \text{ (kJ/Nm}^3\text{)} \cong 135 \text{ (Nm}^3/\text{h)} \text{ olarak gösterilebilir. Doğal gazın fiyatının } 0,2\$/\text{Nm}^3 \text{ alınır ise, fabrika bu önlemden yaklaşık olarak } 230000\$/\text{yıl tasarruf sağlayabilir.}$

3) Reformer Yüzeyinin Yalıtım Malzemesi ile Kaplanması

Reformerin yüzey alanı 77m^2 dir. Dış hava sıcaklığı 10°C olduğunda reformerin ortalaması yüzey sıcaklığı 80°C ölçülümustür. Yalıtım malzemesi olarak atmosfere açık yüzeylerde kullanılabilen 5 cm kalınlığında ve ısı iletim katsayısı $0.04 \text{ J/m}^2\text{hK}$ olan İzocam Sanayi A.Ş.'nin ürettiği "İzocam Taşyunü Sanayi Şiltesi" isimli yalıtım malzemesi kullanımını esas almıştır.

Mevcut (izalasyonsuz) durumda ısı kaybı

$$Q = A \times a \times (T_{yüzey} - T_{ortam})$$

$$Q = 77 \times 17,4 \times (80 - 10)$$

$$Q \cong 93800 \text{ kJ/h dir.}$$

Reformerin iç sıcaklığı 810°C olduğu için reformerin duvar ısı iletim katsayısı

$$Q = A \times K \times (T_{ic} - T_{yüzey})$$

$$93800 = 77 \times K \times (810 - 80)$$

$$K = 1,67 \text{ kJ/m}^2\text{hK} \text{ olarak hesaplanır.}$$

İzolasyonlu durumda ise izolasyon malzemesi kullanıldığından ısı iletim katsayısı;

$$\frac{1}{K'} = \frac{1}{K} + \frac{l}{k} + \frac{1}{h}$$

$$\frac{1}{K'} = \frac{1}{1,67} + \frac{0,05}{0,04} + \frac{1}{17,4}$$

$$K' = 0,43 \text{ kJ/m}^2\text{hK olur.}$$

Yeni K' ile hesaplanan ısı kaybını bulmak için

$$\underline{Q'} = K' \times A \times (T_{ik} - T_{ortam})$$

$$Q' = 0.43 \times 77 \times (810 - 10)$$

$$Q' \cong 26500 \text{ kJ/h}$$

Yalıtımlı ve yalıtımsız durum arasındaki fark bize elde edebileceğimiz enerji tasarrufu miktarını gösterir.

$$\Delta Q = Q' - Q$$

$$\Delta Q = 93,8 - 26,5 = 67,3 \text{ MJ/h}$$

Elde edilen tasarruf hesaplanması ise metanın alt ısıl değeri olarak 802,303 MJ/kmol ve bir kmol doğal gazın $22,4 \text{ Nm}^3$ olduğu göz önüne alındığında;

$$802303 / 22,4 \cong 35,8 \text{ MJ/Nm}^3 (\text{CH}_4) \text{ bulunur.}$$

Reformeri ısitın sistemin veriminin % 85 olduğu kabul edilir ise tasarruf edilen enerji miktarı doğal gazın enerjisi ve verime bölündürse $67\ 300 / (35800 \times 0,85) \cong 2,2 \text{ Nm}^3/\text{h}$ doğal gaz tasarruf edilmiş olur.

Doğal gazın fiyatının yaklaşık olarak $0,2 \text{ \$/Nm}^3$ olduğu kabul edilirse tasarrufun maliyeti $2,2 \text{ Nm}^3/\text{h} \times 0,2 \text{ \$/Nm}^3 = 0,44 \text{ \$}$ olur. Yıllık tasarruf miktarı ise yaklaşık olarak $3800 \text{ \$/yıl}$ olur.

Yalıtım malzemesinin maliyeti ise $1,2 \text{ \$/m}$ olduğuna göre ve yaklaşık olarak %10 fire verilirse $(77\text{m}^2 \times 1,2 \text{ \$/m}^2) / 0,9 \cong 100 \text{ \$}$ civarında olur. %100 işçilik maliyeti kabul edildiğinde dahi bu önlem bir aydan kısa sürede kendini ödemektedir.

4) Fırın Radyasyonu Azaltıcı Önlemler

Fırından ışına yoluyla kayıplar iki başlıkta toplanmıştır. Birinci olarak, ortalama 250°C olan fırın yüzeyinden olan ışına kaybı, ikincisi ise ortalama 1260°C olan fırın içinde oluşan ve fırın yüzeyindeki boşluklardan yararlanan ışına kaybıdır. İkinci tür ışına kaybı, yaklaşık yarısı $250\text{mm} \times 250\text{mm}$ alanı olan 15 adet boşluktan oluşur. Bu boşluklar toplam olarak yaklaşık olarak

$0,9 \text{ m}^2$ dir. $1,8 \text{ m}^2$ olan toplam boşluğun yarısını oluşturan bu boşluklar 1880 MJ/h lik enerji kaybının da yarısına neden olur. Fırın cam seviyesi üzerinde bulunan boşluklar, fırının basıncının ayarlanması ve gerektiğinde fırına müdahale etmek amacıyla kullanılır. Bu boşluklardan, fırının pozitif basınçta çalışması nedeniyle infiltrasyon ve fırın içindeki yüksek sıcaklık nedeni ile ışma kayipları oluşur. Fırının önüne konulan yansıtıcılar boşluklardan dolayı oluşan ışma ile enerji kaybını önlemek amacıyla yansıtıcı iç bükey levhalar konulabilir. % 95' e çıkan yansıtma oranları kirlenme iç bükey yüzeylerin merkez ayarındaki kaçıklıklar gibi nedenle % 80 alınmıştır. Bu enerji kaybının yarısı olan 940 MJ/h kısmının %80 geri çevrilebilirse $940 \times 0,8 \cong 750 \text{ MJ/h}$ enerji tasaaruf edilmiş olur. Fırının % 80,3 verimle çalıştığı göz önüne alınırsa $750 \text{ MJ/h} / 0,803 \cong 940 \text{ MJ/h}$ enerjisinde doğal gaz tasarruf edilmiş olur. 1Nm^3 doğalgazın $35,8 \text{ MJ/Nm}^3$ enerji verdiği düşünülür ise ; $940 \text{ MJ/h} / 35,8 \text{ MJ/Nm}^3 = 26,3 \text{ Nm}^3/\text{h}$ doğal gaz tasarruf edilmiş olur. Doğal gazın fiyatı $0,2 \text{ \$/Nm}^3$ olarak kabul edilirse, yıllık tasarruf yaklaşık olarak $45000 \text{ \$}$ olur.

KAYNAKLAR

- Akgün F., Çoban T., (1997), "Cam Ergitme Fırınlarında Isıl Enerji Analizi", TUBİTAK-MAM Enerji Sistemleri ve Çevre Araştırma Enstitüsü, Gebze.
- Barton J.L., (1993), "Innovation in Glass Melting", Glass Technology, Vol.34, No.5, Oct.1993.
- Barton J.L. ve Merlin A., (1993), "The Glass Indusry In Europe", Ceram. Eng. Sci. Proc. 14[3-4], pp:45-55.
- Bevan G. ve Deakin A.W., (1985), "Reducing energy costs", Glass Technology, Vol.26, No.2, April 1985.
- Büyüktür A.R., (1991), "Termodinamik Cilt2 Uygulama Esasları", Uludağ Üniversitesi Basımevi, s:459-460.
- Dikeç F., (1982), "Çözümlü Metalurji Termodinamiği Proölemleri", İTÜ Metalurji Fakültesi Yayınları, Sayı:3, İTÜ Metalurji Fakültesi Ofset Atölyesi, Maçka-İstanbul.
- Donadini J.C., (1966), "Chimie Première", Classiques, Hachette.
- Doyle P.J., (1977), "Glass Making Today", British Glass Industry Research Association, Sheffield, England.
- Flanagan S.M., (1992), "The UK glass industry-the European context", Glass Technology, Vol.33, No.5, October 1992.
- Gell P.A.M., (1983), "A furnace for tomorrow in operation today", Glass Technology, Vol.25, No.3, June 1984.
- Gunther R., (1958), "Glass-Melting Tank Furnaces", Society of Glass Technology, Almanca'dan İngilizce'ye Çeviri, Sheffield, pp:5.
- Herley J.E. ve Rosen E.M., (1969), "Material and Energy Balance Computation", John Wiley&Sons, Inc NY, London, Syney, Toronto, 68-22303, S8N 471 371106, pp:254.
- Kuşcuoğlu S., Yücesoy D., Engin S., (1993), "Cam Teknolojisine Giriş I.Cilt", İstanbul (a).
- Kuşcuoğlu S., Yücesoy D., Engin S., (1993), "Cam Teknolojisine Giriş II.Cilt", İstanbul (b).
- Manring W.H. ve Baven W.C., (1964), "Processing in the Glass Industry", New York, pp:43.
- Michaux G. ve Tomas E., (1985), "Energy analysis of the glass industry in Belgium", Glass Technology, Vol.26, No.5, October 1985.
- Özkol N., (1999), "Uygulamalı Soğutma Tekniği-Güncelleştirilmiş Beşinci Baskı", Makine Mühendisleri Odası, Yayın no.115, ISBN : 395-300-3, Ankara.

Shand E.B., (1958), "Glass Engineering Handbook", Mc Graw-Hill Book Com., INC., NY, Toronto, London.

Sismey C.J., (1983), "Limitation affecting the performance of glass melting furnaces", Glass Technology, Vol.25, No.2, April 1984.

Tooley F.V., (1953), "Handbook of Glass Manufacture Volume1", Ogden Publishing Company, NY pp:57,70,71.

Tooley F.V., (1977), "Handbook of Glass Manufacture Volume1", Ogden Publishing Company, NY pp:57-68.

Topkapı Şişe Cam Sanayi A.Ş.Eğitim Müdürlüğü, "Cam Eğitim Notları"

Turton G., Argent D., (1989), "Cross Fired Multipass Regenerative Furnaces", Glass Technology, Vol.30, No.1, February1989, pp16.

Tuson G., Higdon R., Moore D., "How 100% Oxygen Firing Impacts Regenerative Melters", Glass Industry, March 1992, pp:12.



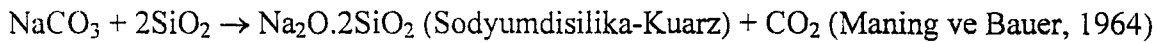
Ek1 Britanya' da Enerji Bakanlığının Cam Ergitme Fırınlarında Enerji Tasarrufu Amacı İle Aldığı Bazı Önlemler

- a) Renkli cam üreten fırınların forehearthlarının elektrikle ısıtması. Geri ödemesi 20 aydır.
- b) Beyaz flint cam üreten fırınların forehearthlarının elektrikle ısıtması
- c) Devamlı düzenli oksijen kullanan cam ergitme fırının kontrolü. Yakıt harcamalarında %4 tasarruf sağlanır, geri ödemesi 8 aydır.
- d) Soda-kireç-silis camı ergiten elektrik fırının kullanımı konusunda kurs düzenlenmesi. Bu proje küçük kapasiteli elektrikli ergiticilerin (20t/gün) kullanımını kapsar ve 55 400 GJ/yıl enerji tasarrufu sağlar. Uzun dönemdeki hedef 528 000 GJ/yıl enerji tasarrufudur. Geri ödemesi 4,3 yıldır.
- e) Cam fırını çalışma havuzunda rekuperatif ısı geri dönüşümü sisteminin uygulanması.
- f) Cam ergitme tankı çalışma havuzunun ön ısıticili brülöründe atık ısı geri dönüşüm sisteminin kullanılması. Enerji tasarrufu 8 700 GJ/yıldır ve kendini sekiz ayda amorti eder.
- g) Mahal ısıtmada baca gazı ön ısıtmasının kullanılması
- h) Yeni geri dönüşüm sisteminin kullanımı konusunda kurs düzenlenmesi. Enerji tasarrufu 29 000 GJ/yıldır ve kendini iki yılda amorti eder.
- i) Cam ambalaj üretiminde mahal ısıtma için atık gaz geri dönüşüm sisteminin kullanımı konusunda kurs düzenlenmesi (Bevan ve Deakin, 1985).

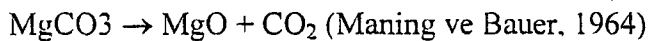
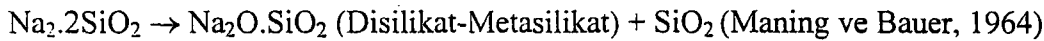
Ek2 Cam Ergitme Fırınındaki Oluşum Entalpileri ve Diğer Termofiziksel Bilgi

Kimyasal Reaksiyonlar

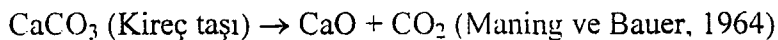
789 °C' da



837 °C' da

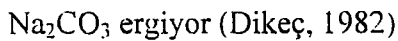


900 °C' da

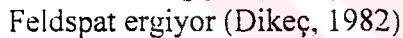
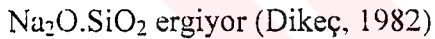


Ergime Reaksiyonları

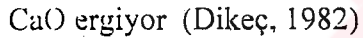
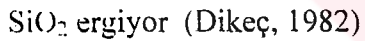
851 °C' da



1070 °C' da



1200 °C' da



Ek3 Cam Ergitme Firmasının Tam Kapasitede Çalışması Durumunda Bilgisayar Programı Çıktları

Çekilecek Brüt Cam (ton/gün)	678,5
Harmandaki Nem (%)	4,6
Harmada Cam Kırığı Oranı (%)	26,94
Harmandan Çıkan CO2 Mik. (%)	15,64

CAM ÇEŞİTLERİ

Cam Tipi	Kodu	HARMAN İfşenliği (%)										MgO (Cam Rengi vs. Metal Hare)
		Na ₂ CO ₃	CaCO ₃	SiO ₂	Fe ₂ O ₃	MnO-CaO-2CO ₂	BaSO ₄	K ₂ CO ₃	Na ₃ AlF ₆	PbO	ZnO	
Float (Düz) Cam	1	16,60	20,20	55,30	7,90	5,45	1,03	0,00	0,00	0,00	0,00	100,00
Fiat	2	4,34	18,02	56,45	6,53	4,51	0,85	1,18	0,08	14,58	0,00	100,00
Flint Ambalaj	3	16,74	19,01	56,64	7,57	5,22	0,98	1,36	0,04	0,00	0,00	100,00
Bal Rengi Ambalaj	4	15,26	19,62	55,91	9,02	6,22	1,17	1,62	0,19	0,00	0,00	100,00
Yeşil Ambalaj (Şişe vs.)	5	8,23	20,60	57,09	5,14	3,55	0,67	0,93	0,81	8,13	0,00	100,00
Borosilikat	6	0,17	0,00	68,40	14,05	9,69	1,83	2,53	0,07	0,00	0,00	100,00
Ampul (Opal) Camı	7	0,00	23,74	44,09	17,54	12,10	2,28	3,18	0,05	1,22	0,00	10,02
Kursun Oranlı Çok Kristal	8	0,00	0,00	49,40	0,50	0,35	0,07	0,09	0,02	0,00	1,09	2,25
Kursun Oranlı Az Kristal	9	0,00	0,00	52,20	0,00	0,00	0,00	0,02	0,00	0,65	28,80	0,65
Cam Elması, "A" Tipi	10	11,95	17,91	53,65	11,90	8,21	1,55	2,14	0,43	1,94	22,74	0,00
Cam Elması, "B" Tipi	11	17,15	0,00	43,09	3,13	2,16	0,41	0,56	0,25	16,16	0,00	11,46
Renkli Televizyon Tüpü	12	0,41	14,25	42,55	15,45	10,66	2,01	2,78	0,00	4,24	15,49	0,00
Aluminasilikat Camı	13	0,00	1,54	51,28	0,00	0,00	0,00	0,01	0,00	0,00	5,20	100,00
Diger	14	?	?	?	?	?	?	?	?	?	?	18,44
		?	?	?	?	?	?	?	?	?	?	7,24
Seçilen Camın Kodu	1	16,60	20,20	55,30	7,90	5,46	1,03	1,42	0,00	0,00	0,00	100,00



	Güterler Na ₂ CO ₃ + -271800	2SiO ₂ 551050	Cikartilar Na ₂ O·2SiO ₂ + -80500 18053850,8 keal/h	Ergime Isisi(kcal/kmol) PbO h-1110K(837C) h-1062K(789C) 1110	Ergime Isisi(kcal/kmol) PbO h-1110K(837C) h-1062K(789C) 1062	Enerji(kmol/h) 0,0	Oluşum Enthalpsi Top kcal/K kmol/h Top kcal/K kmol/h keal/h	Güterler MgO -282000 24260 0,000 0,0	Oluşum Enthalpsi Top kcal/K kmol/h Top kcal/K kmol/h keal/h
Toplam Cam(vh)									
Toplam Hammaadde(vh)	30,0	30,0	1110	1062 24,887+(0,515*24,777)*1000/(0,271*10000)	30955,87	28483,78	1472,19	44109,7 CaCO ₃ (vh)	30,0 100,0 2888,189
CaCO ₃ (vh)	34,4	0,0	1110	1062 33,981+(0,515*24,777)*1000/(0,271*10000)	40808,94	39007,88	1601,08	0,0 Na ₂ CO ₃	0,0 108,0 6837,843
Na ₂ CO ₃	182,8	114,0	1110	1062 13,381+(0,515*24,777)*1000/(0,271*10000)	17118,87	16284,80	834,07	85051,3 SiO ₂	114,0 60,0 0
SiO ₂								Feldspar	
Feldspar								0,0 SiO ₂	
K ₂ O	3,0	3,0	1110	1062 15,701+(0,515*24,777)*1000/(0,271*10000)	20753,87	19718,58	1035,09	3084,7 K ₂ O(Na ₂ O)O	3,0 62,0 185,3887
Al ₂ O ₃	2,5	2,6	1110	1062 25,487+(0,515*24,777)*1000/(0,271*10000)	30801,01	28456,43	1444,58	3835,0 Al ₂ O ₃	2,5 102,0 256,8815
Fe ₂ O ₃	0,0	0,0	1110	1062 31,701+(0,515*24,777)*1000/(0,271*10000)	36271,26	34657,90	1813,35	0,0 Fe ₂ O ₃	
Dolomit								Dolomit	
MgO									
CaCO ₃	0,0	0,0	1110	1062 23,801+(0,515*24,777)*1000/(0,271*10000)	37518,00	35895,60	1622,40	0,0 BaSO ₄	
BaSO ₄	0,0	0,0	1110	1062 19,181+(0,515*24,777)*1000/(0,271*10000)	37355,18	35075,58	2278,58	0,0 K ₂ CO ₃	
K ₂ CO ₃	0,0	0,0	1110	1062 52,167+(0,515*24,777)*1000/(0,271*10000)	64327,10	3329,85	0,0 Na ₃ AlF ₆		
Na ₃ AlF ₆	0,0	0,0	1110	1062 9,051+(0,515*24,777)*1000/(0,271*10000)	15988,22	13220,20	768,02	0,0 PbO	
PbO								0,0 Na ₂ B ₄ O ₇	
Na ₂ B ₄ O ₇	0,0	0,0	1110	1062 18,871+(0,515*24,777)*1000/(0,271*10000)	22239,41	21224,18	1015,23	0,0 ZnO	
ZnO	0,0	0,0	1110	1062 11,977+(0,515*24,777)*1000/(0,271*10000)	13827,28	13283,92	633,38	0,0 Al ₂ O ₃	
Al ₂ O ₃									
MgO	0,0	0,0	1110	1062 10,187+(0,515*24,777)*1000/(0,271*10000)	12371,73	11800,88	570,85	0,0 MgO	
Nam	3,38	3,38	1110	1062 7,771+(0,515*24,777)*1000/(0,271*10000)	9536,78	9058,18	477,81	1605,1 Nam(1082K-373K)	3,4 18 60,48368
Cam Kingi (Cuillet)	0,0	0,0	1110	1062 1,062+(0,515*24,777)*1000/(0,271*10000)	58848,40	56838,28	3008,12	0,0 Cam Kingi (Cuillet)	0,0 0
Na ₂ O 2SiO ₂	0,0	34,4	1110	1062 4,397+(0,515*24,777)*1000/(0,271*10000)	13241,168	12422,17452	816,00	103501,3 Na ₂ O 2SiO ₂	34,4 182 8280,054
CO ₂	34,4	34,4						21280,9 CO ₂	34,4 44 1513,42
								272289,1 (837C-788C) Toplam	18 109,83

837°C(1110K) - 900°C(1173K) 93.3 kg



	Girişler	Çıkanlar	Oluşum Entalpisı	Oluşum Entalpisı	Girişler	Çıkanlar	
	Na ₂ O · 2SiO ₂	Na ₂ O · SiO ₂	SiO ₂	SiO ₂	2K ₂ O · 3	K ₂ O · SiO ₂	
Oluşum Entalpisı	-62500	-55500	-217000	-60500	-93500	-62500	
Oluşum Entalpisı	-212000	34,4	-721530,8	0,0	-28500	0,0	
	kcal/kmol	kmol/h	kmol/h	kmol/h	kcal/kmol	kmol/h	
Top (kmol/h)	Top Son(kmol/h)	Tepkiş(K)	Tepkiş(K)	Top (kmol/h)	Top Son(kmol/h)	Tepkiş(K)	
Toplam Cam(h)	Toplam Hammaddeler(h)			h-1173K	h-1110K	Delta(h)	
CaCO ₃ (h)	30,0	30,0	1173	1110 24.88*(0.5% · 24.777)/1000+(0.277/100000)	32908,55	1850,58	2986,169402
Na ₂ CO ₃ (h)	0,0	0,0	1173	1110 33.88*(0.5% · 18.777)/1000	43422,20	40808,94	106,0 0
SiO ₂	114,0	148,4	1173	1110 13.35*(4*(0.5% · 5.185777)+(3.457/	18226,45	17118,87	1107,59 0
Feldspar							
SiO ₂	3,0	3,0	1173	1110 15.707*(0.5% · 4.777)/1000	22131,11	20753,67	1377,44 0
K ₂ (Na ₂)O	2,5	2,5	1173	1110 25.487*(0.5% · 25.777)/1000+(8.8277/100000)	32811,89	30801,01	4118,2 K ₂ (Na ₂)O 0
Al ₂ O ₃	0,0	0,0	1173	1110 31.707*(0.5% · 18.777)/1000	363394,82	36271,25	2123,67 0
Fe ₂ O ₃							
Dolomit							
Mg ₂ O ₃	0,0	0,0	1173	1110 18.627*(4*(0.5% · 18.627777)/1000)+(4.1877/10000)	31335,17	29169,69	2165,48 0
CaCO ₃							
BaSO ₄	0,0	0,0	1173	1110 33.207*(4*(0.4377777)/10000)	39847,40	37518,00	2129,40 0
K ₂ CO ₃	0,0	0,0	1173	1110 18.187*(4*(0.5% · 26.067777)/1000)	40438,22	72083,07	67657,05 0
Na ₃ AlF ₆	0,0	0,0	1173	1110 52.157*(0.5% · 8.877777)/1000	15018,62	13988,22	1030,40 0
PbO	0,0	0,0	1173	1110 8.057*(0.5% · 40.777777)/1000	23579,24	22239,41	1339,83 0
Na ₂ B ₄ O ₇	0,0	0,0	1173	1110 18.877*(0.5% · 10.777777)/1000	14762,83	13927,28	835,55 0
ZnO	0,0	0,0	1173	1110 11.877*(0.5% · 22.777777)/1000+(2.1877/10000)			
Al ₂ O ₃							
MgO	0,0	0,0	1173	1110 10.187*(0.5% · 1.7477777)/1000+(1.4877/10000)	13138,20	12380,61	757,59 0
Nam	3,38	3,38	1173	1110 7.177*(0.5% · 5.6777777)/1000+(2.8477/10000)	10171,80	8535,79	635,81 0
Cam Kırığı (Cullet)							
Na ₂ O · 2SiO ₂	34,4	0,0	1173	1110 44.387*(4*(0.5% · 16.887777)/1000)+(10.8777/10000)	63658,82	59648,40	4038,42 0
CO ₂	34,4	34,4	1173	1110 10.657*(0.5% · 1.8777777)/1000+(2.6777/10000)	13861,16332	13041,168	28204,1 CO ₂ 0
Na ₂ O · SiO ₂	0,0	34,4	1173	1110 31.147*(0.5% · 5.6777777)/1000+(6.4777/10000)	43131,68	40479,48	2852,20 91224,8 Na ₂ O · SiO ₂ 0
TOPLAM							36322,8 (B000-337C) kg/m ³ 18109,82743

900°C(1173K) - 1070°C(1343K) 87.4 kg

$$\text{CaCO}_3 \text{ (Kireç Taşı)} \longrightarrow \text{CaO} + \text{CO}_2$$

Girenler	Çıkanlar			ERGİME ENERJİSİ			Pbo	Ergime Isisi/(kcal/kmol)			Kmaf/h	Enerji/(kWh)
	CaCO ₃	CaO	CO ₂	-151600	-94050	Toplam Cam(h)		6600	0,0	0,0		
Oluşum Entalpisı Oluşum Entalpisı	-288400	42750	30,0	1280370,969	kcal/h							
Toplam Cam(h)												
Toplam Hammaddeler(h)												
CaCO ₃	0,0	0,0	0,0	1273	1173 24.98T+(0.55.247T)Y/1000+(8.207Y/100000)	h-1243K	1273	1173	Delta(h)	Dh*molar Sayısı (kcal/h)	Toplam Cam(h)	0,0
Na2CO ₃	0,0	0,0	0,0	1273	1173 33.98T+(0.55.187T)Y/1000					0,0 CaCO ₃ (h)	Toplam Hammaddeler(h)	0,0
SiO ₂	148,4	148,4	148,4	1273	1173 13.38T+(0.55.887T)Y/1000+(3.457T)	20014,52	18226,45	1788,06		0,0 Na2CO ₃	106,0	148,4 8901,397
Feldspar										0,0 Feldspar	60,0	
SiO ₂										0,0 SiO ₂	0,0	0,0
K ₂ Na ₂ O	3,0	3,0	1273	1173 15.70T+(0.55.477T)Y/1000	24361,53	22131,11	2230,42			6868,5 K ₂ Na ₂ O	62,0	3,0 185.3667
Al ₂ O ₃	2,5	2,5	1273	1173 25.48T+(0.55.257T)Y/1000+(8.827T)Y/100000	35879,66	32811,89	3087,77			7719,4 Al ₂ O ₃	102,0	2,5 256,6615
Fe ₂ O ₃	0,0	0,0	1273	1173 23.49T+(0.55.16.087T)Y/1000+(3.557T)Y/100000	44536,15	39878,41	4557,74					
Dolomit												
Mg ₂ CO ₃	0,0	0,0	0,0	1273	1173 16.62T+(0.55.13.807T)Y/1000+(14.187T)Y/100000	34884,91	31335,17	3549,74				
CaCO ₃												
BaSO ₄	0,0	0,0	0,0	1273	1173 33.80T+(0.55.207T)Y/100000	43027,40	39847,40	3380,00				
K ₂ CO ₃	0,0	0,0	0,0	1273	1173 18.19T+(0.55.20.087T)Y/1000	45544,36	40438,22	5106,14				
Na ₃ AlF ₆	0,0	0,0	0,0	1273	1173 52.15T+(0.55.15.887T)Y/1000	79237,74	72983,07	7154,68				
Pbo	0,0	0,0	0,0	1273	1173 8.05T+(0.55.9.407T)Y/1000	16706,34	15018,62	1687,72				
Na ₂ B ₄ O ₇	0,0	0,0	0,0	1273	1173 16.67T+(0.55.2.107T)Y/1000	25723,07	23579,24	2143,83				
ZnO	0,0	0,0	0,0	1273	1173 11.18T+(0.55.1.227T)Y/1000+(12.187T)Y/100000	16099,03	14762,83	1336,21				
Al ₂ O ₃												
MgO												
Nem	3,361	3,36	34,4	1273	1173 10.18T+(0.55.1.747T)Y/1000+(1.487T)Y/100000	11201,69	13147,58	1221,42		0,0	18	0,0 0
Cam Kiridi (Cullet)												
Na ₂ O. SiO ₂	34,4	34,4	30,0	1273	1173 31.14T+(0.55.2.557T)Y/1000+(8.477T)Y/100000	47419,76	43131,68	4288,08		3461,9 Nem(1052K-373K)	122	0,0 0
CaO	30,0	30,0	64,4	1273	1173 11.88T+(0.55.1.087T)Y/1000+(1.687T)Y/100000	15180,32132	13861,15332	1319,17		147492,4 Na ₂ O. SiO ₂	58	34,4 4198,3
CO ₂	64,4	64,4		1273	1173 16.55T+(0.55.2.167T)Y/1000+(2.047T)Y/100000	15180,32132	13861,15332	1319,17		84598,7 CO ₂	58	30,0 167,866
										555037 (1070C-1000C) İstin	64,4 283,743	
										TOPLAN	18049,33	

am Enerji (kcal)					
4210502 (789C-25C)	Isınma Enerjisi+SuyunBuharlaşması				
0 NaB4O7	Ergime Isisi				
18953881 Na2O.2SiO2	Oluşum Enerjisi				
0 MgO	Oluşum Enerjisi				
272288 (837C-789C)	Isınma Enerjisi				
0 PbO	Ergime Isisi				
-7291931 Na2O.SiO2	Oluşum Enerjisi				
0 K2O.SiO2	Oluşum Enerjisi				
353253 (900C-837C)	Isınma Enerjisi				
1280871 CaO	Oluşum Enerjisi				
555037 (1000C-900C)	Isınma Enerjisi				
367109 (1070C-1000C)	Isınma Enerjisi				
429949 Na2O.SiO2	Ergime Enerjisi				
65424 Al2O3	Ergime Enerjisi				
569276 CaO	Ergime Enerjisi				
534084 SiO2	Ergime Enerjisi				
0 Fe2O3	Ergime Enerjisi				
0 BaO	Oluşum Enerjisi				
0 BaO	Ergime Enerjisi				
K2(Na2)O	Ergime Enerjisi				
313522 (1125C-1070C)	Isınma Enerjisi				
2386738 Cam Kunğı (cullet)	Isınma Enerjisi				
22999981 TOPLAM (kcal)				7616 Cam Kunğı (kg)	
96,3 TOPLAM (kJ*10E6/h)					
35,4 Isınma Isisi (kJ*10E6)	%				
54,2 Oluşum Isisi (kJ*10E6)	36,8				
6,7 Ergime Isisi (kJ*10E6)	56,3				
	7,0				
Stand By (yüzey kay.)					
9889425 Konveksiyon(kcal)					
3447945 Radyasyon(Finn Alanı)(kcal)	Alan (m2)	h (kcal/hm2K)	Yüzey Sic (C)	Dis Sic (C)	
	1500	7	250	25	
451128 Radyasyon(Delikler)(kcal)	Alan (m2)	Stefen-Bolzman(kJ)	Yüzey Sic (K)	Dis Sic (K)	Emissivite
	1500	5,68	523	293	0,6
			5,23	2,93	
	1,8	5,68	1533	293	0,8
			15,33	2,93	
13788498 TOPLAM (kcal)					
57,7 Toplam StBy (kJ*10E6/h)					
37,8 Badan Atilan Enerji(kJ*10E6)					
191,8 Yakıt Enerjisi(kJ*10E6/h)					
239,03 Yakıt Harcaması (kmol/h)		158673 Baca Kaybı (kJ/kmol)			
5354,3 Yakıt Harcaması (Nm3/h)		802303 Yakıt(kJ/kmol)			
5302,0 Olması Gerekken(Nm3/h)		0,803 Verim			
1,0 Hata Payı (%)		450 Baca Sıcaklığı			

Çekilecek Brüt Cam (ton/gün)	498,5
Harmandaki Nem (%)	4,6
Harmada Cam Kırığı Oranı (%)	15
Harmandan Çıkan CO2 Mik. (%)	15,62

CAM ÇEŞİTLERİ

Kodu	HARMAN (İçeriği) (%)	
	Na ₂ CO ₃	SiO ₂
1	16,60	20,20
Float (Düz) Cam	55,30	7,80
Flat	4,34	18,02
Flint Ambalaj	16,74	56,45
Bal Rengi Ambalaj	15,28	18,62
Yeşil Ambalaj (Şişe vs.)	6,23	20,50
Borosilikat	0,17	0,00
Ampul (Opal) Camı	7,00	23,74
Kurşun Oran Çok Küstüklü	8,00	49,40
Kurşun Oran Az Küstüklü	9,00	0,00
Cam Elyah, "A" Tipi	11,95	17,91
Cam Elyah, "F" Tipi	17,15	0,00
Renkli Televizyon Topası	12,04	14,26
Alüminasilikat Camı	13,00	1,54
Dünger	14	?
Seçilen Camın Kodu	1	16,60

Kodu	HARMAN (İçeriği) (%)	
	SiO ₂	Fe ₂ O ₃
1	5,45	1,03
2	4,51	0,85
Flat	6,53	1,18
Flint Ambalaj	5,22	0,98
Bal Rengi Ambalaj	6,22	1,17
Yeşil Ambalaj (Şişe vs.)	5,14	3,55
Borosilikat	0,67	0,93
Ampul (Opal) Camı	14,05	8,69
Kurşun Oran Çok Küstüklü	17,54	12,10
Kurşun Oran Az Küstüklü	0,35	0,35
Cam Elyah, "A" Tipi	0,50	0,00
Cam Elyah, "F" Tipi	52,20	0,00
Renkli Televizyon Topası	11,90	8,21
Alüminasilikat Camı	43,09	3,13
Dünger	12,04	14,26
?	1,54	51,29
Seçilen Camın Kodu	1	16,60

25°C(289K) -789°C(1062K)100kg

Cam Tipi	Kodu	HARMANİdentişti (%)	NazCO3	ECO2	Fatsat	SIZ	AÇO	F203 Dolomit	BASO4	Tritu(N) Topuklu (hacim/kadem)	K2CO3	Na2APS	P60	Ka2Al3	ZnO	Al2O3	MgO Fasit kemiği % kam kemiği	
Sıçanlı Camın Kodu	1	100.00	20.20	65.30	7.80	5.54	1.21	0.00	0.00	22.130 (kadem)	2648.78	7076.72	21007.05	846607.77	CaCO3(OH)	Topak Hamurda(OH)	Topak Çimento(OH)	
Harmada (%) Harmam + Cam Kırğızı Harmam + Cam Kırğızı Çakılar Cam (Raporlu) Harmam (0%) Aşağıda(OH) Topuklu(OH) 22.130 (kadem)																		
Topak Çimento(OH)	100.00	81.08	Chlor F622 (aktion)	81.08	13.45	423.73	17.945	100.0	26.8	1062	268 74.89±0.51% (KT710000)	2648.78	7076.72	21007.05	846607.77	CaCO3(OH)	Topak Hamurda(OH)	Topak Çimento(OH)
CaCO3(OH)	10.00	13.45		13.45	13.45	2.979	2.979	106.0	34.2	1062	268 33.89±0.5% (KT710000)	38057.59	28891.93	16285.04	87881.44	MgCO3	Topak Hamurda(OH)	Topak Çimento(OH)
NazCO3	20.20	19.38		18.38	18.38	3.625	3.625	106.0	191.7	1062	268 13.30±0.3% (KT710000)	18294.90	12154.18	22020.05	87122.54	Fe2O3	Topak Hamurda(OH)	Topak Çimento(OH)
K2O2	65.30	65.30		44.84	44.84	9.924	10.802	60.0										
Fatsat	6.41																	
Sez	4.42																	
KOH%	0.80																	
AÇO%	11.50																	
ACC%	1.16																	
F203	0.00																	
Dolomit	0.00																	
MgCO3	0.00																	
CaCO3	4.74																	
SiO2	4.79																	
BaSO4	0.00																	
K2CO3	0.00																	
Na3AlF6	0.00																	
PhO	0.00																	
Ni2BaO7	0.00																	
ZnO	0.00																	
A2O3	0.00																	
MgO	0.00																	
MgCO3 (kemik)	0.00																	
Nanh (kemik)	3.91																	
Ruhbetir Enerjisi																		
Ebileni Lümenesi																		
Cam Kırığı (Cilede)																		
İ-102(2)78°C h288(245) Dışlı(OH) h-102(2)78°C h288(245) Dışlı(OH) (205)																		
Sez	15.90	15.90																
Sez																		
TGP/PLM																		

789°C(1062K) - 837°C(1110K) 93,3kg



	Grenter Na ₂ CO ₃ + -271800 551050	2SiO ₂ -434000 34,187	Ciklanilar Na ₂ O·2SiO ₂ + CO ₂ -80500 18844413,6	Ergime Enerjisi P _{DQ}	Ergime Isisi(kcal/kmol) 6800 0,0	Enerji(kmol/h)	Oluşum Endepsi	Grenter Mg ₂ CO ₃ -262000 24250	Çikanlar MgO -143700 0,0	CO ₂ -84050 0,0 kcal/h
	Top (kmal/h)	Top Son(kmol/h)	Teknik(K)	Teknik(K)	Top (kmal/h)	1062	1110	1062	1062	1062
Toplam Cam(vh)										
Toplam Hammaddeler(vh)										
CaCO ₃ (vh)	28,8	28,8	1082 24,801<0,65<24°T>Y1000<4,2/T>Y10000	1110	30855,87	28483,78	1472,18	43855,50	Toplam Cam(vh)	29,8
Na ₂ CO ₃	34,2	0,0	1082 33,981<0,55<18°T>Y1000	1110	40898,94	39007,88	1801,06	0,0	Toplam Hammaddeler(vh)	108,0
SiO ₂	181,7	113,3	1082 13,381<0,55<18°T>Y1000	1110	16284,80	17118,87	834,07	94502,4 SiO ₂		0
Feldspar								0,0	Feldspar	0,0
SiO ₂								0,0	SiO ₂	0
K ₂ (Na ₂)O	3,0	3,0	1062 16,701<0,55<6,4°T>Y1000	1110	20753,67	19718,58	1035,08	3078,8 K ₂ (Na ₂)O		0,0
Al ₂ O ₃	2,5	2,5	1082 26,481<0,55<26°T>Y1000	1110	30801,01	28486,43	1444,58	3614,0 Al ₂ O ₃		0,0
Fe ₂ O ₃	0,0	0,0	1082 31,701<0,55<1,8°T>Y1000	1110	38271,25	34867,90	1813,35	0,0 Fe ₂ O ₃		0,0
Dolomit									Dolomit	
MgCO ₃										
CaCO ₃	0,0	0,0	1082 33,801<0,45<26°T>Y10000	1110	37518,00	35895,60	1622,40	0,0 CaCO ₃		
BaSO ₄	0,0	0,0	1082 19,181<0,55<28,05°T>Y1000	1110	37355,18	35075,59	2279,58	0,0 BaSO ₄		
K ₂ CO ₃	0,0	0,0	1082 52,181<0,55<18,85°T>Y1000	1110	68165,16	64327,10	5329,35	0,0 K ₂ CO ₃		
Na ₃ AlF ₆	0,0	0,0	1082 8,681<0,55<18,85°T>Y1000	1110	13988,22	13220,20	768,02	0,0 Na ₃ AlF ₆		
PbO	0,0	0,0	1082 8,681<0,55<18,85°T>Y1000	1110	22239,41	21224,18	1015,23	0,0 PbO		
Na ₂ B ₄ O ₇	0,0	0,0	1082 18,877<0,55<18,877°T>Y10000	1110	13927,28	13283,92	633,36	0,0 Na ₂ B ₄ O ₇		
ZnO	0,0	0,0	1082 11,877<0,55<22,777°T>Y10000	1110	12371,73	11860,88	670,85	0,0 ZnO		
Al ₂ O ₃	0,0	0,0	1082 10,181<0,55<1,74°T>Y10000	1110	9535,78	9058,18	477,81	1867,4 Al ₂ O ₃		
MgO								Na(1062K-373K)		
Nem	3,81	3,81	1082 7,177<0,55<2,88°T>Y10000	1110	59648,40	56639,28	3069,12	0,0 Nem(1062K-373K)	3,8	
Cam Krif(Çüllet)	0,0	0,0	1082 44,381<0,55<18,88°T>Y10000	1110	13041,168	12422,17152	619,00	0,0 Cam Krif(Çüllet)	0,0	
Na ₂ O·2SiO ₂	0,0	34,2	1082 10,561<0,55<2,18°T>Y10000	1110				Na ₂ O·2SiO ₂	34,2	
CO ₂	34,2	34,2	1082 44,381<0,55<2,18°T>Y10000	1110				CO ₂	44	
								TOPLAM	34,2	
								[31°C-789°C] Toplam	18015,49	

837°C(1110K) - 900°C(1173K) 93,3 kg



Girenler Na ₂ O · 2SiO ₂	Çıkanlar Na ₂ O · SiO ₂	2KCO ₃	SiO ₂	K ₂ O · SiO ₂	Cıkanlar	
					Oluşum Entalpisi kcal/kmol	Oluşum Entalpisi kcal/kmol
Oluşum Entalpisi Oluşum Entalpisi kcal/kmol	-60500 -212000 kcal/h	-93500 -26500 kcal/h	-86500 0,0 kcal/h	-62500 0,0 kcal/h	28,8 0,0 28,8	28,8 0,0 28,8
Top (kcal/h)	Top Son(kmol/h)	Tepkiş(K)	Tepkiş(K)	Delta(h)	Dh*molSayısı (kcal/h)	Toplam Cam(h)
Toplam Cam(h)	Toplam Hammaddeler(h)	h-1173K	h-1110K	h-1110K	Toplam Cam(h)	Toplam Hammaddeler(h)
Toplam Hammaddeler(h)	CaCO ₃ (h)	29,8 0,0 113,3	29,8 0,0 147,5	1173 1173 1173	32906,55 43422,20 18226,45	30855,97 40808,94 17118,87
CaCO ₃ (h)	Na ₂ CO ₃	0,0	0,0	1110 33,887*(0,5% 1877)*10000	100,0	100,0
Na ₂ CO ₃	SiO ₂	0,0	0,0	1110 13,387*(0,5% 6577)*14,457	100,0	100,0
SiO ₂	Feldspar	0,0	0,0	1110 15,707*(0,5% 4,477)*1000	100,0	100,0
K ₂ (Na ₂)O	A ₁ ZO ₃	3,0 2,5 0,0	3,0 2,5 0,0	1110 25,487*(0,5% 2577)*100000	62,0 470,8 0,0	62,0 3,0 0,0
A ₁ ZO ₃	Fe ₂ O ₃	0,0	0,0	1110 31,707*(0,5% 7,7077)*1000	36271,25	2123,67
Fe ₂ O ₃	Dolomit	0,0	0,0	1110 18,877*(0,5% 13,887)*100000	28169,69	2165,48
Dolomit	MgCO ₃	0,0	0,0	1110 33,887*(0,5% 28,6877)*10000	37355,18	0,0
MgCO ₃	CaCO ₃	0,0	0,0	1110 16,187*(0,5% 18,4377)*10000	3083,06	0,0
CaCO ₃	BaSO ₄	0,0	0,0	1110 52,187*(0,5% 15,8877)*1000	67657,05	0,0
BaSO ₄	K ₂ CO ₃	0,0	0,0	1110 8,037*(0,5% 4,0777)*1000	13988,62	1030,40
K ₂ CO ₃	Na ₃ AlF ₆	0,0	0,0	1110 18,877*(0,5% 2,0777)*1000	23579,24	0,0
Na ₃ AlF ₆	PbO	0,0	0,0	1110 11,877*(0,5% 2,22777)*100000	14762,83	1339,83
PbO	Na ₂ BrO ₇	0,0	0,0	1110 31,147*(0,5% 8,8077)*100000	13927,28	0,0
Na ₂ BrO ₇	ZnO	0,0	0,0	1110 16,187*(0,5% 1,7477)*100000	835,65	0,0
ZnO	Al ₂ O ₃	0,0	0,0	1110 16,187*(0,5% 1,4877)*100000	13138,20	12380,61
Al ₂ O ₃	MgO	0,0	0,0	1110 7,177*(0,5% 2,8677)*100000	757,59	0,0
MgO	Nem	3,91	3,91	1110 7,177*(0,5% 2,8677)*100000	835,81	2468,0
Nem	Cam Kırığı (Cullet)	0,0	0,0	10171,60	835,79	18,0
Cam Kırığı (Cullet)	Na ₂ O · 2SiO ₂	34,2	0,0	1110 44,387*(0,5% 18,8877)*100000	59648,40	0,0
Na ₂ O · 2SiO ₂	CO ₂	34,2	34,2	1110 10,557*(0,5% 2,1877)*100000	13861,15332	182,0
CO ₂	Na ₂ O · SiO ₂	0,0	34,2	1110 31,147*(0,5% 8,8077)*100000	43131,88	0,0
Na ₂ O · SiO ₂	TOPLAM	0,0	0,0	1110 31,147*(0,5% 8,8077)*100000	40479,48	2852,20
TOPLAM					381674,8	4172,08688
						18015,4866

1070°C(1343K) - 1425°C(1693K) 87.4 kg

ERGİME Na2O.SiO₂, CaO, Al2O₃, SiO₂, Çam Kırığı

ERGİME ENERJİLERİ	Cikarilar
Na2O.SiO ₂ ve K2O.SiO ₂	Emetif(molar)
Al2O ₃	12600 34,2 427495,1
CaO	2,6 65045,7
SiO ₂	18600 29,6 565398,8
	36000 147,5 536998,8
	33000 0,0 0,0
	0,0 0,0
	13600 0,0 0,0
BaO	0,0 0,0
	1589590,3

Top (kmol/h)	Top Sivri(kmol/h)	Tekir(K)	Tıknır(K)	η (kaçak/kmol)	h-1693K	h-1343K	Detph(h)	Dh'naSiSayısı
Toplam Çam(h)								
Toplam Hammadde(h)								
CaCO ₃	0,0	1693	1343 24,987+0,875,24(TTY1000)+(6,207/TY1000)		49800,82	38273,78	11527,03	100,0 0,0 0
Na2CO ₃	0,0	1693	1343 22,987+0,875,18(TTY1000)		64951,72	50306,59	11615,13	106,0 0,0 0
SiO ₂	147,5	147,5	1343 12,337+0,9348(TTY1000)+Q,467		27926,24	21288,06	6338,18	97913,17 5102 60,0 147,5 8849,886
Feldspar						0,00	0,0	0,0 Feldspar
SiO ₂	3,0	1693	1343 16,707+0,976,4(TTY1000)		34318,97	25685,95	8364,02	24862,2 K2(娜2)O 62,0 3,0 0,0 0
K2(娜2)O	2,6	1693	1343 28,481+0,875,24(TTY1000)+(8,927/TY1000)		49228,42	38052,39	11176,02	27959,7 Al2O ₃ 162,0 2,5 184,2863
Al2O ₃	0,0	1693	1343 23,487+0,918,86(TTY1000)+(13,567/TY1000)		656850,80	47534,02	1716,78	0,0 Fe2O ₃ 255,1785
Fe2O ₃								Dolomit
Dolomit								0,0 MgCO ₃
MgCO ₃	0,0	1693	1343 11,537+0,913,9E-7(TTY1000)+(14,167/TY1000)		61300,78	37451,84	13848,94	CaCO ₃
CaCO ₃	0,0	1693	1343 33,907+0,8439(TTY1000)		57723,40	45393,40	11830,00	0,0 BaSO ₄
BaSO ₄	0,0	1693	1343 18,187+0,928,86(TTY1000)		68935,88	49273,72	20562,18	0,0 K2CO ₃
K2CO ₃	0,0	1693	1343 9,347		158126,20	125436,20	32880,00	0,0 Na3AlF ₆
Na3AlF ₆	0,0	1693	1343 8,687+(0,874,TY1000)		24493,65	17525,83	5567,82	0,0 PbO
PbO	0,0	1693	1343 18,677+0,912,18(TTY1000)		34956,47	27236,24	7720,23	0,0 Na2BaO ₇
Na2BaO ₇	0,0	1693	1343 11,977+0,918,22(TTY1000)+(2,167/TY1000)		21844,32	17041,64	4802,89	0,0 ZnO
ZnO	0,0	1693	1343 16,187+0,917,17(TTY1000)+(1,487/TY1000)		19729,38	16261,66	4176,72	0,0 Al2O ₃
Al2O ₃	0,0	1693	1343 10,187+0,918,18(TTY1000)+(2,047/TY1000)		15807,61	11937,98	3,869,63	0,0 MgO
MgO								Nem
Nem	3,81	1693	1343 7,177+0,924,9E-7(TTY1000)+(2,807/TY1000)		72460,40	57480,40	14980,00	15130,2 Nem(1062K-373K) 18 3,9 70,38
Çam Kırığı (Ca,Mg)	34,2	1693	1343 42,07		20856,69892	16116,59	4840,11	612275,3 Na2O.SiO ₂ 122 0,0 0
Na2O.SiO ₂	28,8	1693	1343 11,887+0,918,18(TTY1000)-(1,586/TY1000)		20856,69892	16116,59	30970,00	144181,4 CaO 56 28,8 1688,177 17832,47 428179,2
CaO	64,0	1693	1343 10,887+0,921,88(TTY1000)-(2,047/TY1000)		20856,69892	16116,59	4840,11	30970,00 CO2 44 56,0 2816,391 0,166276
CO2 %si								TOPLAM 2013241 (1126CC-1070C) 167h CO2 %si 0,166276

Toplam Enerji (kcal)

4191773 (789C-25C)
 0 Na₄O7
 18844414 Na₂O.2SiO₂
 0 MgO
 270987 (837C-789C)
 0 PbO
 -7249824 Na₂O.SiO₂
 0 K₂O.SiO₂
 351575 (900C-837C)
 1273475 CaO
 552417 (1000C-900C)
 365408 (1070C-1000C)
 427466 Na₂O.SiO₂
 65046 Al₂O₃
 565989 CaO
 531000 SiO₂
 0 Fe₂O₃
 0 BaO
 0 BaO
 K₂(Na₂)O
 312052 (1125C-1070C)
 976368 Cam Kirığı (cullet)

21478145 TOPLAM (kcal)
89,9 TOPLAM (kJ*10E6/h)

29,4 Isınma Enerjisi (kJ*10E6)
 53,9 Oluşum Enerjisi (kJ*10E6)
 6,7 Ergime Enerjisi (kJ*10E6)

Stand By (yüzey kay.)
 9889425 Konveksiyon(kcal)

3447945 Radyasyon(Firin Alanı)(kcal)

451128 Radyasyon(Delikler)(kcal)

13788498 TOPLAM (kcal)
57,7 Toplam St.By (kJ*10E6/h)

36,2 Bacadan Atılan Enerji(kJ*10E6)

183,8 Yakıt Enerjisi(kJ*10E6/h)

229,14 Yakıt Harcaması (kmol/h)
 5132,8 Yakıt Harcaması (Nm3/h)
 5180,0 Olması Gereken(Nm3/h)
 -0,9 Hata Payı (%)

Isınma Enerjisi+Suyun Buharlaşması
 Ergime Isisi
 Oluşum Enerjisi
 Oluşum Enerjisi
 Isınma Enerjisi
 Ergime Isisi
 Oluşum Enerjisi
 Oluşum Enerjisi
 Isınma Enerjisi
 Isınma Enerjisi
 Ergime Enerjisi
 Ergime Enerjisi
 Ergime Enerjisi
 Ergime Enerjisi
 Ergime Enerjisi
 Ergime Enerjisi
 Ergime Enerjisi
 Ergime Enerjisi
 Ergime Enerjisi
 Isınma Enerjisi
 Isınma Enerjisi
 3116 Cam Kirığı (kg)

Feldsparın 1200C erimesi mantığı ile

%
 32,7
 59,9
 7,4

Alan (m ²)	h (kcal/hm ² K)	Yüzey Sic (C)	Dış Sic (C)
1500	7	250	25

Alan (m ²)	Stefen-Bolzman(kJ)	Yüzey Sic (K)	Dış Sic (K)	Emissivite
1500	5,68	523	293	0,6
		5,23	2,93	
1,8	5,68	1533	293	0,8
		15,33	2,93	

156673 Baca Kaybı (kJ/kmol)

802303 Yakıt(kJ/kmol)
 0,803 Verim

450 Baca Sıcaklığı

Çekilecek Brüt Cam (ton/gün)	418,1
Harmandaki Nem (%)	0
Harmada Cam Kırığı Oranı (%)	100
Harmandan Çıkan CO2 Mik. (%)	0

SAM ÇEŞİTLERİ

Cam Tipi	Kodu	HARMAN [İçeriği (%)										Harman Toplamı							
		Na2CO3	MgO	Al2O3	ZnO	PhO	Na2B4O7	K2CO3	NaAlIf6	BaSO4	Fe2O3	MgO-CaO-2CaO	SiO2	K2Na2O	SiO2	Felspat	SiO2	Na2Mn2O	MgO
Floating (Düz) Cam	1	16,60	20,20	55,30	7,90	5,45	1,03	0,00	0,00	0,00	1,42	0,00	1,18	0,00	0,00	0,00	0,00	0,00	100,00
Filtat	2	4,34	18,02	56,45	6,53	4,51	0,85	0,00	0,00	0,00	1,45	0,00	1,18	0,00	0,00	0,00	0,00	0,00	100,00
İç Rengi Ambalaj	3	16,74	18,01	56,64	7,57	5,22	0,98	1,36	0,04	0,00	1,46	0,00	1,18	0,00	0,00	0,00	0,00	0,00	100,00
İçli Rengi Ambalaj (Şişe vs.)	4	15,26	19,62	55,91	9,02	6,22	1,17	1,62	0,19	0,00	1,47	0,00	1,17	0,00	0,00	0,00	0,00	0,00	100,00
Dorostılıklı Cam	5	8,23	20,60	57,09	5,14	3,55	0,67	0,93	0,81	0,00	1,48	0,00	8,13	0,00	0,00	0,00	0,00	0,00	100,00
Ampul (Opal) Cam	6	0,17	0,00	68,40	14,05	9,69	1,83	2,53	0,07	0,00	1,49	0,00	2,53	0,00	0,00	0,00	0,00	0,00	100,00
Kurşun Oranı Çok Kristal	7	0,00	23,74	44,09	17,54	12,10	2,28	3,16	0,05	0,00	1,50	0,00	1,22	0,00	0,00	0,00	1,09	2,25	0,00
Kurşun Oranı Az Kristal	8	0,00	0,00	49,40	0,50	0,35	0,07	0,09	0,02	0,00	1,51	0,00	0,65	0,00	0,00	0,00	0,65	0,00	100,00
Cam Elyafı, "A" Tipi	9	0,00	0,00	52,20	0,00	0,00	0,00	0,00	0,02	0,00	1,52	0,00	1,94	0,00	0,00	0,00	0,00	0,00	100,00
Cam Elyafı, "F" Tipi	10	11,95	17,91	53,66	11,90	8,21	1,55	2,14	0,43	0,00	1,53	0,00	3,54	0,00	0,00	0,00	0,62	0,00	100,00
Denklik Televizyon Tipi	11	17,15	0,00	43,08	3,13	2,16	0,41	0,56	0,25	0,00	16,16	0,00	16,16	0,00	0,00	0,00	0,46	0,00	11,46
Aluminasilikat Cam	12	0,41	14,25	42,55	15,45	10,66	2,01	2,78	0,00	0,00	15,46	0,00	4,24	0,00	0,00	0,00	7,61	0,00	100,00
Diger	13	0,00	1,54	51,29	0,00	0,00	0,00	0,00	0,01	0,00	16,28	0,00	0,00	0,00	0,00	0,00	5,20	0,00	100,00
	14																	16,44	7,24

25°C(289K) -789°C(1062K)100kg

Cam Tipi Seri& Camin Kodu	Kodu	HARMAN (dardılı (%) ciçeksiz)	Na2CO3	BaCO3	BaO2	Pbo2	SiO2	Al2O3	Fe2O3 Dolomit	BaSO4	Toplam Karbonat (molar%)	Na3AlF6	K2CO3	Na2CaO4	PbO	Na2BaO7	ZnO	Al2O3	Na2O Zımi Reaksiyonlu (%)	
Toplam Çamdu	Harmaned (%) Harman + Cam Karb	Stabiliten Cam Basitlik (%)	Harman (%d) Aprikotlu Top. Adetleri) metr Agregat (kg/m²)	0,000 (kg/m²)	0,000 (kg/m²)	0,000 (kg/m²)	0,000 (kg/m²)	0,000 (kg/m²)	0,000 (kg/m²)	0,000 (kg/m²)	0,000 (kg/m²)	0,000 (kg/m²)	0,000 (kg/m²)	0,000 (kg/m²)	0,000 (kg/m²)	0,000 (kg/m²)	0,000 (kg/m²)	0,000 (kg/m²)	0,000 (kg/m²)	
Toplam Hammedede(%))	100,00	100,00	419,10	0,00	0,00	0,00	0,00	0,00	0,00	0,00	0,00	0,000	0,000	0,000	0,000	0,000	0,000	0,000	0,000	
CeCO3(h)	16,50	0,50	Cham CO2 Giderici (%)	100,00	0,00	0,00	0,00	0,00	0,00	0,00	0,00	0,000	0,000	0,000	0,000	0,000	0,000	0,000	0,000	0,000
SiCO3	20,20	0,50	EDV(h)	0,00	0,00	0,00	0,00	0,00	0,00	0,00	0,00	0,000	0,000	0,000	0,000	0,000	0,000	0,000	0,000	0,000
SiO2	65,30	0,50		0,00	0,00	0,00	0,00	0,00	0,00	0,00	0,000	0,000	0,000	0,000	0,000	0,000	0,000	0,000	0,000	0,000
Feldspat	7,50	0,50		0,00	0,00	0,00	0,00	0,00	0,00	0,00	0,000	0,000	0,000	0,000	0,000	0,000	0,000	0,000	0,000	0,000
zcr	89,00	0,50		0,00	0,00	0,00	0,00	0,00	0,00	0,00	0,000	0,000	0,000	0,000	0,000	0,000	0,000	0,000	0,000	0,000
Chaco	11,50	0,50		0,00	0,00	0,00	0,00	0,00	0,00	0,00	0,000	0,000	0,000	0,000	0,000	0,000	0,000	0,000	0,000	0,000
Fe2O3	0,50	0,50		0,00	0,00	0,00	0,00	0,00	0,00	0,00	0,000	0,000	0,000	0,000	0,000	0,000	0,000	0,000	0,000	0,000
Dolomit	0,50	0,50		0,00	0,00	0,00	0,00	0,00	0,00	0,00	0,000	0,000	0,000	0,000	0,000	0,000	0,000	0,000	0,000	0,000
Na2CO3	45,74	0,50		0,00	0,00	0,00	0,00	0,00	0,00	0,00	0,000	0,000	0,000	0,000	0,000	0,000	0,000	0,000	0,000	0,000
BaSO4	0,50	0,50		0,00	0,00	0,00	0,00	0,00	0,00	0,00	0,000	0,000	0,000	0,000	0,000	0,000	0,000	0,000	0,000	0,000
K2CO3	0,50	0,50		0,00	0,00	0,00	0,00	0,00	0,00	0,00	0,000	0,000	0,000	0,000	0,000	0,000	0,000	0,000	0,000	0,000
Na3AlF6	0,50	0,50		0,00	0,00	0,00	0,00	0,00	0,00	0,00	0,000	0,000	0,000	0,000	0,000	0,000	0,000	0,000	0,000	0,000
Pbo2	0,00	0,00		0,00	0,00	0,00	0,00	0,00	0,00	0,00	0,000	0,000	0,000	0,000	0,000	0,000	0,000	0,000	0,000	0,000
Na2BaO7	0,00	0,00		0,00	0,00	0,00	0,00	0,00	0,00	0,00	0,000	0,000	0,000	0,000	0,000	0,000	0,000	0,000	0,000	0,000
ZnO	0,00	0,00		0,00	0,00	0,00	0,00	0,00	0,00	0,00	0,000	0,000	0,000	0,000	0,000	0,000	0,000	0,000	0,000	0,000
A2O3	0,00	0,00		0,00	0,00	0,00	0,00	0,00	0,00	0,00	0,000	0,000	0,000	0,000	0,000	0,000	0,000	0,000	0,000	0,000
MgO	0,00	0,00		0,00	0,00	0,00	0,00	0,00	0,00	0,00	0,000	0,000	0,000	0,000	0,000	0,000	0,000	0,000	0,000	0,000
MgO/MgCO3 (dm)	0,00	0,00		0,00	0,00	0,00	0,00	0,00	0,00	0,00	0,000	0,000	0,000	0,000	0,000	0,000	0,000	0,000	0,000	0,000
Natürf.kumur	0,00	0,00		0,00	0,00	0,00	0,00	0,00	0,00	0,00	0,000	0,000	0,000	0,000	0,000	0,000	0,000	0,000	0,000	0,000
Rübenkum.Ferjinisi	0,00	0,00		0,00	0,00	0,00	0,00	0,00	0,00	0,00	0,000	0,000	0,000	0,000	0,000	0,000	0,000	0,000	0,000	0,000
Çam Kirğız (Çilek)	100,00	100,00		0,000	0,000	0,000	0,000	0,000	0,000	0,000	0,000	0,000	0,000	0,000	0,000	0,000	0,000	0,000	0,000	

Toplam Çamdu
(%)

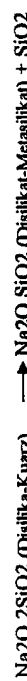
TOPLAM
Cam Kirğız
(Çilek)

$789^{\circ}\text{C}(1062\text{K}) - 837^{\circ}\text{C}(1110\text{K})$ 93.3kg



	Girenler	Çıkanlar	Eğime Isisi(kcal/kmol)	Enerji(kJ/mol/h)	Çıkanlar	Girenler	Oluşum Entalpi	Oluşum Entalpi	Çıkanlar
Oluşum Entalpi	$\text{Na}_2\text{CO}_3 +$ -271600	2SiO_2	-334000	0,0	$\text{Na}_2\text{O} \cdot 2\text{SiO}_2 +$ CO_2	-80500	0,0	-143700	MgO
Oluşum Entalpi	551050	0,000	0,0	0,0			24250	0,000	CO_2
	Top kcal/kmol	kcal/h					Top kcal/kmol/h		
Top (kmo/h)	Top Son(kmo/h)	Trükis(K)	1110	1062					
Toplam Cam(h)					h-1110K(837°C) h-1062K(786°C)	1062			
Toplam Hammaddeler(h)					1110				
CaCO ₃ (th)	0,0	0,0	1110	1062	24,887+0,65,24,77D(1000)+(-27D)100000	30956,97	29483,78	1472,19	Toplam Cam(h)
Na ₂ CO ₃	0,0	0,0	1110	1062	33,861+0,65,18777X1000	40508,94	39607,98	1801,06	Toplam Hammaddeler(h)
SiO ₂	0,0	0,0	1110	1062	13,387+0,31,88777+3,467	17118,37	16228,80	834,07	
Feldspar									
SiO ₂	0,0	0,0	1110	1062	16,707+0,65,17777X1000	20753,97	19718,58	1035,09	
K ₂ (Na ₂)O	0,0	0,0	1110	1062	26,487+0,64,28777X1000+(-6,82777X1000)	30890,101	28456,43	1444,58	
Al ₂ O ₃	0,0	0,0	1110	1062	31,707+0,65,178777X1000	36271,25	34657,90	1613,35	
Fe ₂ O ₃									
Dolomit									
MgCO ₃									
CaCO ₃	0,0	0,0	1110	1062	33,807+0,65,17777X10000	37618,00	35695,80	1672,40	
BaSO ₄	0,0	0,0	1110	1062	19,187+0,65,22,68777X1000	37355,18	35075,98	2279,68	
K ₂ CO ₃	0,0	0,0	1110	1062	62,157+0,1,16,86777X1000	67657,05	64327,10	3328,85	
Na ₃ AlF ₆	0,0	0,0	1110	1062	9,081+0,6,40777X1000	13988,22	13220,20	768,02	
PbO	0,0	0,0	1110	1062	18,377+0,62,107777X1000	22239,41	21224,18	1015,23	
Na ₂ Be ₄ O ₇	0,0	0,0	1110	1062	11,977+0,65,1,22777X10000+(-2,16777X10000)	13927,28	13293,92	633,38	
ZnO	0,0	0,0	1110	1062	10,187+0,65,1,74777X10000+(-1,48777X10000)	12371,73	11800,88	570,85	
Al ₂ O ₃	0,0	0,0	1110	1062	7,177+0,65,2,68777X1000+(-2,84777X10000)	8535,78	9056,18	477,81	
MgO									
Nem	0,00	0,00	1110	1062	4,381+0,65,18,88777X10000+(-10,87777X10000)	59846,40	66639,28	3009,12	
Cam Kırığı(Cullet)	0,0	0,0	1110	1062	44,381+0,65,2,16777X10000+(-2,64777X10000)	13041,168	12422,1752	618,00	
Na ₂ SiO ₂	0,0	0,0	1110	1062	10,657+0,65,2,16777X10000+(-2,64777X10000)				TOPLAM
CO ₂									0,0 (837C-786C) kg

837°C(1110K) - 900°C(1173K) 93.3 kg



Girenler Na ₂ O · 2SiO ₂	Çıkanlar			Girenler 2KCO ₃	Çıkanlar K ₂ O · SiO ₂
	Oluşum Entalpisı -80500	Cıkanlar Na ₂ O · SiO ₂	SiO ₂		
Oluşum Entalpisı kcal/kmol	-212000	0,0	-217000	-83500	-80500
Top (kcal/h)	Top Son(kmol/h)	Tepkiş(K)	Tepkiş(K)	Top (kcal/h)	Top (kcal/h)
Toplam Cam(h)				h-1173K	h-1110K
Toplam Hammadde(h)				h-1173	h-1110
CaCO ₃ (h)	0,0	0,0	1173	32866,55	30855,97
Na ₂ CO ₃	0,0	0,0	1173	43422,20	40908,94
SiO ₂	0,0	0,0	1173	18226,45	17118,87
Feldspar					
SiO ₂	0,0	0,0	1173	22131,11	20753,87
K ₂ (Na ₂)O	0,0	0,0	1173	32811,89	30801,01
Al ₂ O ₃	0,0	0,0	1173	38344,92	36271,25
Fe ₂ O ₃	0,0	0,0	1173	2123,67	0,0
Dolomit					
Mg ₂ O ₃	0,0	0,0	1173	31335,17	29169,88
CaO					
BaSO ₄	0,0	0,0	1173	37518,00	37518,40
K ₂ CO ₃	0,0	0,0	1173	31726,22	30835,16
Na ₃ AlF ₆	0,0	0,0	1173	72083,07	67657,05
PbO	0,0	0,0	1173	15018,62	13888,22
Na ₂ BeO ₂	0,0	0,0	1173	23579,24	22239,41
ZnO	0,0	0,0	1173	14782,83	1338,83
Al ₂ O ₃	0,0	0,0	1173	8355,55	0,0
MgO	0,0	0,0	1173	12380,81	757,59
Nem	0,00	0,00	1173	13138,20	
Cam Kingi (Cullet)					
Na ₂ O · 2SiO ₂	0,0	0,0	1173	1110 11,177+ $(0,5+2,55+7,77+11,487)$ 10000	10171,60
CO ₂	0,0	0,0	1173	1110 14,387+ $(0,5+1,6+8,77+11,487)$ 10000	63868,82
Na ₂ O · SiO ₂	0,0	0,0	1173	1110 11,557+ $(0,5+2,16+7,77+12,847)$ 10000	13861,1532
				43131,68	40479,48
					TOPLAM
					0,0 [990G-837G] İçin

900°C(1173K) - 1070°C(1343K) 87.4 kg



Girişler	Cıkanlar	CO ₂	ENGINE ENERJİSİ	PbO	Ergime Isisi/(kcal/kmol)	kmol/h	Enerji/(kmol/h)
					0,0	6800	0,0
Oluşum Entalpisı	-288400	-42750	-151600	-94050	0	0,0	0,0
Oluşum Entalpisı	42750	kcal/kmol	kmol/h	kcal/h			
Top (kmal/h)	Top San(kmol/h)	Tekis(K)	Tekis(K)				
Top (kmal/h)	Top San(kmol/h)	Tekis(K)	Tekis(K)				
Toplam Cam(l/h)							
Toplam Hammaade(l/h)							
CaCO ₃	0,0	0,0	1273	1173 24,98T*(0,5*5,24TT)*1000*(8,27T)*100000	36045,40	32906,55	3138,86
Na2CO ₃	0,0	0,0	1273	1173 33,98T*(0,5*5,18TT)*1000	47453,71	4342,20	4031,51
SiO ₂	0,0	0,0	1273	1173 13,38T*(0,5*3,08TT)*3,45T	20014,52	18226,45	1788,06
Feldspar							
SiO ₂							
K2(Na2)O	0,0	0,0	1273	1173 18,70T*(0,5*5,47TT)*1000	24361,53	22131,11	2230,42
Al2O ₃	0,0	0,0	1273	1173 25,68T*(0,5*4,25TT)*1000*(8,82T)*100000	35679,66	32811,89	3067,77
Fe2O ₃	0,0	0,0	1273	1173 23,46T*(0,5*18,68TT)*1000*(3,57T)*100000	44536,15	39978,41	4557,74
Dolomit							
MgCO ₃	0,0	0,0	1273	1173 18,82T*(0,5*13,80TT)*1000*(14,18T)*100000	34884,91	31335,17	3549,74
caco ₃	0,0	0,0	1273	1173 33,80T*(0,43T)*100000	43027,40	39647,40	3380,00
BaSO ₄	0,0	0,0	1273	1173 18,19T*(0,5*26,08TT)*1000	45544,36	40438,22	5106,14
K ₂ CO ₃	0,0	0,0	1273	1173 52,16T*(0,5*18,86TT)*1000	79237,74	72083,07	7154,68
Na3AlF ₆	0,0	0,0	1273	1173 9,05T*(0,5*8,10TT)*1000	16706,34	15018,62	1687,72
PbO	0,0	0,0	1273	1173 18,87T*(0,5*2,10TT)*1000	25723,07	23579,24	2143,83
Na2BaO ₇	0,0	0,0	1273	1173 11,87T*(0,5*1,22TT)*1000*(2,16T)*100000	16099,03	14762,83	1336,21
ZnO							
Al2O ₃	0,0	0,0	1273	1173 10,18T*(0,5*1,74TT)*1000*(1,48T)*100000	14369,00	13147,58	1221,42
MgO	0,0	0,0	1273	1173 7,11T*(0,5*2,58TT)*1000*(2,84T)*100000	11201,69	10171,60	1030,09
Nem	0,000	0,00	1273	1173 31,14T*(0,5*9,86TT)*1000*(16,47T)*100000	47419,76	43131,68	4288,08
Cam Kingi (Cullet)							
Na2O SiO ₂	0,0	0,0	1273	1173 11,88T*(0,5*1,08TT)*1000*(1,18,04T)*100000	15180,32132	13861,15332	1319,17
CaO	0,0	0,0	1273	1173 10,65T*(0,5*2,18TT)*1000*(2,04T)*100000	15180,32132	13861,15332	1319,17
CO ₂	0,0	0,0					
TOPLAM							
0 (1070°C-1000°C) leriin							

Girenler CaCO3 -288400 42750 kcal/kmol	Çıkanlar CaO -151600 0 kcal/h	CO2 -94050 0 kcal/h	Oluşum Entalpisı Oluşum Entalpisı kcal/kmol	Top (kmol/h) Top Son(k.Teknik(K)) T(sıh)(K) h(kcal/kmol)	h-1343K 1343 h-1273K 1273 Delta(h) Dh*molSayısı (kcal/h) Toplam Cam(th) Toplam Hammaddede(th)	Delta(h) Dh*molSayısı (kcal/h) Toplam Cam(th) Toplam Hammaddede(th)
Toplam Cam(th)	Toplam Hammaddede(th)	Toplam Hammaddede(th)	Toplam Hammaddede(th)	Toplam Cam(th)	Toplam Cam(th)	Toplam Cam(th)
CaCO3	0,0	0,0	0,0	1273 24,88T*(0,5*3,24*T/Ty1000)+(6,2/Ty100000)	38273,78	36045,40 2228,38
Na2CO3	0,0	0,0	0,0	1273 33,88T*(0,5*5,18*T/Ty1000)	50306,59	0,0 CaCO3(th)
SiO2	0,0	0,0	0,0	1273 13,38T*(0,5*3,98*T/Ty1000)+(3,45/T)	21288,08	0,0 Na2CO3 0,0 SiO2
Feldspar						0,0 Feldspar
SiO2	0,0	0,0	0,0	1273 15,70T*(0,5*5,4*T/Ty1000)	25954,95	0,0 SiO2
K2[Na2]O	0,0	0,0	0,0	1273 25,48T*(0,5*4,26*T/Ty1000)+(8,82/Ty10000)+(6,82/Ty100000)	38052,39	0,0 K2[Na2]O
Al2O3	0,0	0,0	0,0	1273 23,46T*(0,5*18,08*T/Ty1000)-(3,55/Ty100000)	47834,02	0,0 Al2O3
Fe2O3	0,0	0,0	0,0	1273 18,62T*(0,5*13,80*T/Ty1000)-(4,18/Ty100000)	37451,84	62,0 0,0 102,0 0,0
Dolomit	0,0	0,0	0,0			
MgCO3						
CaCO3	0,0	0,0	0,0	1273 33,88T*(0,43*T/Ty10000)	45393,40	0,0
BaSO4	0,0	0,0	0,0	1273 18,19T*(0,5*28,08*T/Ty1000)	49273,72	0,0
K2CO3	0,0	0,0	0,0	1273 93,47	125436,20	3729,35 6538,00
Na3AlF6	0,0	0,0	0,0			
PbO	0,0	0,0	0,0	1273 8,05T+(0,5*8,40*T/Ty1000)	17925,83	0,0
Na2Ba4O7	0,0	0,0	0,0	1273 18,87T*(0,5*2,10*T/Ty1000)	27236,24	129,48 1513,18
ZnO	0,0	0,0	0,0	1273 11,87T*(0,5*1,22*T/Ty1000)+(2,18/Ty10000)	17041,64	0,0
Al2O3	0,0	0,0	0,0			
MgO	0,0	0,0	0,0	1273 10,18T*(0,5*1,74*T/Ty1000)+(1,48/Ty10000)	15240,91	18,0,0 0,0
Nem	0,00	0,00	0,00	1273 7,17T*(0,5*2,68*T/Ty1000)+(2,84/Ty10000)	11937,98	11201,89 738,29 0,0 Nem(1062K-373K)
Cam Kirığı (Cullet)	0,0	0,0	0,0	1273 31,14T*(0,5*9,80*T/Ty1000)+(8,47/Ty10000)	50478,54	0,0 Cam Kirığı (Cullet)
Na2O.SiO2	0,0	0,0	0,0	1273 11,88T*(0,5*1,08*T/Ty1000)+(1,86/Ty10000)	16116,59092	0,0 Na2O.SiO2
CaO	0,0	0,0	0,0	1273 10,56T*(0,5*2,18*T/Ty1000)+(2,04/Ty10000)	16116,59092	58,0,0 44,0,0
CO2						0 (1070C-1000C) lı ln TOP LAM

1070°C(1343K) - 1425°C(1693K) 87.4 kg

ERGIME Na2O.SiO2, CaO, Al2O3, SiO2, Cam Kırıltı

ERGIME ENERJİSİ	Top (kmol/h)	Top Son(kmol/h)	T _ç (K) T _{fin} (K)	η(kcal/kmol)	h-1693K	h-1343K	Dəhət(h)	D _{mod/Sayı}
Mənslikat	Na2O.SiO2 ve K2O.SiO2	Engin İstis(kcal/kmol)	kmol/h	Etəri(kmol/h)	0,0	1693	1343	(kcal/h)
A2O3	12650	0,0	0,0	0,0	0,0	49800,62	38273,78	11527,03
CaO	26000	0,0	0,0	0,0	0,0	64951,72	53306,58	0,0
SiO2	19000	0,0	0,0	0,0	0,0	14845,13	0,0	0,0
BaO	3650	0,0	0,0	0,0	0,0	66348,18	0,0	0,0
BaO	33000	0,0	0,0	0,0	0,0	27926,24	21288,08	0,0
BeO	0,0	0,0	0,0	0,0	0,0	0,0	0,0	0,0
BeO	13800	0,0	0,0	0,0	0,0	49228,42	38052,38	0,0
CaO	0,0	0,0	0,0	0,0	0,0	55650,80	47534,02	0,0
CaCO3	0,0	0,0	0,0	0,0	0,0	34318,97	25654,95	0,0
Na2CO3	0,0	0,0	0,0	0,0	0,0	49228,42	38052,38	0,0
SiO2	1343	11,307(+0,5,+3,687+1,81777)/10000	1343 26,561(+0,5,+3,487+1,81777)/10000	1343 11,307(+0,5,+3,687+1,81777)/10000	1343 15,107(+0,5,+4,+17777)/10000	34318,97	25654,95	0,0
Feldspar	0,0	0,0	0,0	0,0	0,0	49228,42	38052,38	0,0
SiO2	0,0	0,0	0,0	0,0	0,0	55650,80	47534,02	0,0
K2(Na2O)	0,0	0,0	0,0	0,0	0,0	66348,18	0,0	0,0
Al2O3	0,0	0,0	0,0	0,0	0,0	27926,24	21288,08	0,0
Fe2O3	0,0	0,0	0,0	0,0	0,0	0,0	0,0	0,0
Doğal Hərəkəti	0,0	0,0	0,0	0,0	0,0	0,0	0,0	0,0
CaCO3	0,0	0,0	0,0	0,0	0,0	51300,78	37451,84	13846,94
CaCO3	0,0	0,0	0,0	0,0	0,0	51223,40	45393,40	11830,00
BaSO4	0,0	0,0	0,0	0,0	0,0	66835,89	49273,72	20582,18
K2CO3	0,0	0,0	0,0	0,0	0,0	158126,125436,62	32690,00	0,0
Na3AlF6	0,0	0,0	0,0	0,0	0,0	24493,65	17925,63	6567,82
PbO	0,0	0,0	0,0	0,0	0,0	343956,47	27236,24	7720,23
Na2BaO7	0,0	0,0	0,0	0,0	0,0	21844,32	1704,164	0,0
ZnO	0,0	0,0	0,0	0,0	0,0	19728,38	15251,86	476,72
Al2O3	0,0	0,0	0,0	0,0	0,0	15807,61	11937,98	3469,63
MgO	0,0	0,0	0,0	0,0	0,0	0,0	0,0	0,0
Nem Cam Kırıltı (C _{4,641})	0,0	0,0	0,0	0,0	0,0	72460,40	57480,40	14980,00
Na2SiO3	0,0	0,0	0,0	0,0	0,0	20956,898982	16116,59	4840,11
CaO	0,0	0,0	0,0	0,0	0,0	20956,898982	16116,59	4840,11
CO2	0,0	0,0	0,0	0,0	0,0	0	0	0,0
						TOP LAM	TOP LAM	#DIV/0!

Enerji (kcal)

0 (789C-25C)	Isınma Enerjisi+SuyunBuharlaşması
0 NaB4O7	Ergime Isisi
0 Na2O.2SiO2	Oluşum Enerjisi
0 MgO	Oluşum Enerjisi
0 (837C-789C)	Isınma Enerjisi
0 PbO	Ergime Isisi
0 Na2O.SiO2	Oluşum Enerjisi
0 K2O.SiO2	Oluşum Enerjisi
0 (900C-837C)	Isınma Enerjisi
0 CaO	Oluşum Enerjisi
0 (1000C-900C)	Isınma Enerjisi
0 (1070C-1000C)	Isınma Enerjisi
0 Na2O.SiO2	Ergime Enerjisi
0 Al2O3	Ergime Enerjisi
0 CaO	Ergime Enerjisi
0 SiO2	Ergime Enerjisi
0 Fe2O3	Ergime Enerjisi
0 BaO	Oluşum Enerjisi
0 BaO	Ergime Enerjisi
K2(Na2)O	Ergime Enerjisi
0 (1125C-1070C)	Isınma Enerjisi
5459306 Cam Kırığı (cullet)	Isınma Enerjisi
5459306 TOPLAM (kcal)	17421 Cam Kırığı (kg)
22,9 TOPLAM (kJ*10E6/h)	

22,9 Isınma Isisi (kJ*10E6)
 0 Oluşum Isisi (kJ*10E6)
 0 Ergime Isisi (kJ*10E6)

Stand By (yüzey kay.)
 9889425 Konveksiyon(kcal)

3447945 Radyasyon(Fırın Alanı)(kcal)

451128 Radyasyon(Delikler)(kcal)

13788498 TOPLAM (kcal)

57,7 Toplam St.By (kJ*10E6/h)

19,8 Bacadan Atılan Enerji(kJ*10E6)

100,3 Yakıt Enerjisi(kJ*10E6/h)

125,06 Yakıt Harcaması (kmol/h)
 2801,4 Yakıt Harcaması (Nm3/h)
 2660,0 Olması Gereken(Nm3/h)
 5,0 Hata Payı (%)

Isınma Enerjisi+SuyunBuharlaşması
 Ergime Isisi
 Oluşum Enerjisi
 Oluşum Enerjisi
 Isınma Enerjisi
 Ergime Isisi
 Oluşum Enerjisi
 Oluşum Enerjisi
 Isınma Enerjisi
 Oluşum Enerjisi
 Isınma Enerjisi
 Isınma Enerjisi
 Ergime Enerjisi
 Ergime Enerjisi
 Ergime Enerjisi
 Ergime Enerjisi
 Ergime Enerjisi
 Ergime Enerjisi
 Isınma Enerjisi
 Isınma Enerjisi
 Isınma Enerjisi
 Isınma Enerjisi

Feldspatt 1200C erimesi mantığı ile

%
 100,0
 0,0
 0,0

Alan (m2)	h (kcal/hm2K)	Yüzey Sic (C)	Dis Sic (C)
1500	7	250	25

Alan (m2)	Stefen-Bolzman(kJ)	Yüzey Sic (K)	Dis Sic (K)	Emissivite
1500	5,68	523	293	0,6
		5,23	2,93	
1,8	5,68	1533	293	0,8
		15,33	2,93	

158673 Baca Kaybı (kJ/kmol)

802303 Yakıt(kJ/kmol)
 0,803 Verim

450 Baca Sicaklığı

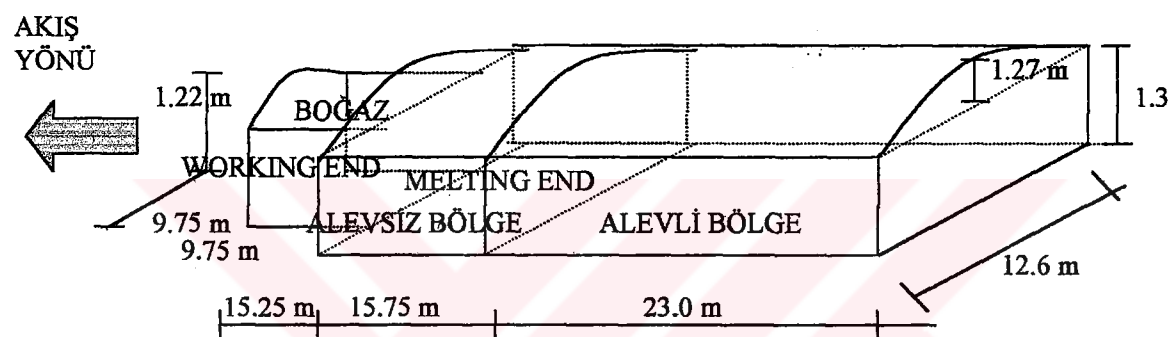
Y

TARIH	BC	HY	KST	CK	OY	Y ₁	Y ₂	Y ₃	Y ₄	Y ₅	Y ₆	YH	LO ₁	LO ₂	2000
21.05.2000	675,5	0,25	58,7	25,78	150,77	1230	1210	850	960	730	256	54800	1449	1505	1449
22.05.2000	676,7	0,24	77,2	25,97	151,29	1234	1214	854	964	734	253	55008	1446	1502	1446
23.05.2000	665,8	0,25	70,0	26,14	153,45	1229	1209	849	959	729	233	54733	1446	1501	1446
24.05.2000	630,5	0,18	52,3	25,90	160,42	1197	1177	927	697	269	52958	1447	1501	1447	1447
25.05.2000	621,7	0,12	35,2	25,99	161,28	1166	1146	786	896	666	338	51260	1447	1511	1447
26.05.2000	627,8	0,11	44,0	26,12	159,07	1157	1137	777	887	657	372	50733	1444	1502	1444
27.05.2000	625,5	0,10	44,3	26,20	159,60	1163	1143	783	893	663	376	51058	1440	1501	1440
28.05.2000	678,0	0,09	36,8	26,04	158,49	1159	1139	779	889	659	340	50850	1449	1503	1449
29.05.2000	579,2	0,11	43,6	25,35	167,78	1120	1100	740	850	630	354	48808	1441	1510	1441
10.05.2000	499,7	0,09	40,8	26,14	186,56	1070	1050	690	800	570	245	46000	1450	1510	1450
11.05.2000	503,8	0,09	54,8	25,85	184,61	1071	1051	691	801	571	260	46042	1448	1523	1448
12.05.2000	519,3	0,11	49,9	26,95	179,93	1079	1059	699	809	579	279	46425	1455	1525	1455
13.05.2000	593,0	0,10	38,3	27,56	164,26	1128	1108	748	858	628	317	49183	1449	1516	1449
14.05.2000	625,7	0,10	35,4	26,87	158,54	1159	1139	779	889	659	318	50850	1448	1506	1448
15.05.2000	629,7	0,11	41,4	27,21	157,95	1166	1146	786	896	666	331	51258	1443	1502	1443
16.05.2000	655,3	0,19	54,9	27,04	153,88	1199	1179	819	929	699	306	53083	1448	1501	1448
17.05.2000	673,0	0,18	50,5	26,92	151,17	1219	1199	839	949	719	299	54150	1452	1501	1452
18.05.2000	677,5	0,19	58,9	26,79	150,57	1229	1209	849	959	729	263	54750	1447	1504	1447
19.05.2000	675,2	0,31	65,1	27,3	151,11	1229	1209	849	959	729	277	54750	1459	1511	1459
20.05.2000	678,2	0,23	55,4	27,16	149,08	1223	1203	843	953	723	290	54375	1453	1501	1453
21.05.2000	677,5	0,23	52,0	26,79	149,81	1227	1207	847	957	727	287	54608	1450	1511	1450
22.05.2000	675,8	0,29	63,7	27,01	150,76	1232	1212	852	962	732	257	55133	1448	1510	1448
23.05.2000	676,3	0,32	59,7	27,11	150,12	1228	1208	848	958	728	266	55150	1446	1511	1446
24.05.2000	678,5	0,34	65,1	26,94	151,59	1234	1214	854	964	734	302	55450	1445	1510	1445
25.05.2000	673,8	0,38	46,5	25,48	153,04	1237	1217	857	967	739	317	55609	1440	1514	1440
26.05.2000	652,3	0,37	62,3	24,93	153,82	1225	1205	845	955	725	296	55000	1451	1511	1451
27.05.2000	641,0	0,47	65,4	25,12	157,67	1213	1193	833	943	713	278	54317	1451	1518	1451
28.05.2000	641,3	0,48	64,8	24,90	157,52	1216	1196	836	946	716	273	54467	1455	1514	1455
29.05.2000	642,5	0,39	51,1	24,85	156,98	1215	1195	835	945	715	277	54450	1455	1514	1455
30.05.2000	639,3	0,41	58,9	25,34	158,07	1213	1193	833	943	713	318	54300	1449	1511	1449
31.05.2000	641,7	0,44	59,8	25,04	157,49	1209	1189	829	939	709	292	54108	1449	1511	1449

Σ_{e}

L_3	L_4	L_5	L_6	K_1	K_2	K_3	K_4	K_5	K_6	K_7	K_8	K_9	K_{10}	K_{11}
1556	1587	1565	1516	1400	1466	1528				1526	1467	1384	1389	983
1555	1587	1563	1512	1397	1466	1527				1526	1463	1380	979	979
1561	1586	1564	1508	1400	1467	1527				1528	1467	1382	1335	975
1562	1582	1557	1509	1399	1469	1530				1525	1469	1384	1338	976
1560	1581	1555	1514	1397	1468	1528				1524	1473	1387	1341	980
1555	1557	1557	1516	1393	1460	1523				1521	1474	1386	1340	980
1554	1558	1558	1512	1391	1459	1523				1519	1473	1385	1339	980
1553	1578	1559	1516	1398	1462	1524				1520	1471	1386	1341	981
1554	1576	1555	1514	1401	1467	1531				1517	1471	1387	1344	980
1563	1575	1552	1508	1407	1476	1538				1509	1462	1385	1342	982
1563	1574	1552	1508	1409	1477	1537				1509	1461	1384	1340	985
1562	1576	1552	1503	1408	1475	1538				1512	1463	1384	1340	987
1560	1581	1554	1514	1405	1467	1531				1520	1469	1386	1342	986
1558	1579	1552	1514	1402	1462	1524				1519	1468	1383	1338	982
1552	1578	1550	1513	1394	1459	1524				1517	1466	1382	1338	980
1553	1581	1554	1514	1397	1461	1523				1521	1466	1381	1336	979
1555	1583	1563	1510	1394	1457	1520				1520	1464	1379	1334	979
1555	1584	1557	1511	1400	1458	1521				1521	1462	1378	1333	979
1556	1586	1559	1509	1406	1461	1524				1518	1462	1378	1333	978
1560	1586	1555	1507	1404	1458	1521				1516	1461	1377	1333	979
1550	1583	1553	1506	1398	1460	1522				1517	1460	1377	1332	979
1557	1586	1555	1510	1402	1464	1526				1521	1461	1378	1332	980
1558	1587	1560	1514	1399	1464	1523				1523	1463	1378	1332	980
1562	1587	1562	1508	1394	1459	1518				1524	1466	1380	1332	979
1556	1587	1561	1512	1397	1462	1521				1521	1461	1378	1334	982
1564	1588	1562	1511	1399	1466	1525				1526	1470	1384	1336	987
1564	1586	1558	1509	1399	1465	1524				1524	1466	1382	1336	987
1562	1586	1560	1512	1404	1467	1525				1519	1461	1377	1334	990
1562	1586	1562	1512	1404	1467	1529				1521	1461	1378	1334	991
1560	1587	1561	1509	1401	1465	1527				1519	1462	1379	1334	992
1560	1587	1562	1513	1403	1465	1529				1522	1464	1380	1334	993
										1524	1466	1382	1335	992

K12	T1	T2	T3	T4	T5	T6	T7	EC	DC	EB	DB
927	1180	1212	1249	1249	1169	1015	1425	1104	0,21	1,20	
924	1175	1208	1246	1248	1167	1011	1421	1100	0,20	1,24	
922	1173	1213	1247	1247	1164	1009	1420	1099	0,24	1,19	
923	1183	1223	1257	1249	1164	1008	1425	1099	0,24	1,17	
924	1190	1231	1264	1252	1168	1011	1428	1100	0,22	1,12	
924	1187	1228	1261	1253	1169	1012	1428	1100	0,26	1,20	
924	1200	1227	1261	1251	1168	1011	1428	1100	0,26	1,23	
924	1184	1227	1260	1252	1169	1012	1428	1100	0,26	1,25	
927	1235	1267	1252	1168	1011	1429	1100	0,26	1,22		
930	1261	1290	1251	1165	1008	1430	1100	0,28	1,12		
931	1261	1290	1253	1166	1009	1430	1100	0,31	1,08		
929	1260	1289	1304	1254	1168	1010	1430	1100	0,32	1,21	
925	1246	1276	1295	1256	1171	1012	1430	1100	0,31	1,21	
923	1235	1266	1285	1256	1171	1013	1426	1100	0,27	1,16	
924	1229	1260	1280	1255	1170	1013	1425	1100	0,23	1,15	
923	1224	1255	1276	1253	1170	1013	1423	1100	0,21	1,14	
923	1219	1250	1270	1249	1170	1013	1422	1100	0,24	1,11	
923	1215	1247	1268	1247	1169	1012	1420	1100	0,25	1,08	
923	1216	1249	1269	1247	1169	1012	1420	1100	0,23	1,09	
923	1215	1247	1267	1246	1168	1012	1420	1100	0,29	1,12	
923	1212	1246	1266	1245	1168	1012	1420	1100	0,32	1,18	
924	1214	1248	1266	1245	1167	1011	1420	1100	0,28	1,22	
924	1214	1249	1266	1244	1167	1010	1420	1100	0,22	1,21	
923	1213	1246	1264	1243	1166	1010	1421	1100	0,20	1,19	
924	1218	1251	1268	1246	1169	1011	1424	1102	0,31	1,10	
929	1223	1256	1273	1246	1172	1016	1424	1108	0,31	1,13	
933	1226	1259	1275	1244	1174	1020	1422	1110	0,25	1,14	
933	1230	1262	1278	1246	1175	1021	1422	1110	0,21	1,19	
933	1230	1262	1278	1246	1176	1021	1422	1110	0,23	1,26	
934	1228	1260	1277	1247	1177	1022	1422	1110	0,25	1,27	
932	1226	1259	1277	1245	1175	1020	1422	1108	0,24	1,23	

Ek7 Cam Ergitme Fırının Boyutları**TR2 Cam Ergitme Fırınlarının Boyutları**

ÖZGEÇMİŞ

Doğum tarihi	07.09.1966	
Doğum yeri	İstanbul	
Lise	1980-1983	İstanbul Fenerbahçe Lisesi
Lisans	1986-1990	İstanbul Teknik Üniversitesi Makine Fakültesi Makine Mühendisliği Bölümü
Yüksek Lisans	1991-1995	Marmara Üniversitesi Fen Bilimleri Enstitüsü İngilizce Endüstri Mühendisliği Programı
Doktora	1995-2002	Yıldız Teknik Üniversitesi Fen Bilimleri Enstitüsü Makine Müh. Anabilim Dalı, Isı Proses Programı

Çalıştığı Kurumlar

1993	Yetsan A.Ş
1994-1995	Marmara Üniversitesi Fen Bilimleri Enstitüsü Ar. Gör.
1995-2002	Yıldız Teknik Üniversitesi, Makine Mühendisliği Bölümü Araştırma Görevlisi